

本資料は 年 月 日付けて登録区分、
変更する。
2001. 6. 6

[技術情報室]

高速炉燃料リサイクル試験(17)

第12回 ホット試験

1990年2月

動力炉・核燃料開発事業団
東海事業所

本資料の全部または一部を複写・複製・転載する場合は、下記にお問い合わせください。

〒319-1184 茨城県那珂郡東海村大字村松4番地49
核燃料サイクル開発機構
技術展開部 技術協力課

Inquiries about copyright and reproduction should be addressed to:
Technical Cooperation Section,
Technology Management Division,
Japan Nuclear Cycle Development Institute
4-49 Muramatsu, Tokai-mura, Naka-gun, Ibaraki, 319-1184
Japan

© 核燃料サイクル開発機構 (Japan Nuclear Cycle Development Institute)
2001



開示制限

PNC T N8410 90-032

1990年2月



高速炉燃料リサイクル試験(17)

第12回ホット試験

実施責任者

岸本 洋一郎** , 都所 昭雄***

報告責任者

大西 紘一****

報告者

山本 隆一***** , 安聰 宏*****

大竹 茂***** , 仁科 博*

豊田 修* , 佐藤 学*

山田 雅人***** , 岩崎 伊佐央*

算用子 裕孝* , 田村 一*

要旨

(期間) 1988年3月29日 ~ 1988年8月12日

(目的)

高速炉使用済燃料の高Pu富化度の溶解に関する基礎データを取得する事を主目的に行うものであり、抽出に関してはRET-Fの基本フローの確認をするために行うものである。

(要旨)

本報告書は、高レベル放射性物質研究施設(CPF)のA系列において、燃焼度、Pu富化度燃料の溶解を主として実施した第12回ホット試験の結果を取りまとめたものである。

試験には、平均燃焼度94, 000 Mwd/t 冷却日数1, 488日(昭和63年4月1日現在) Phenix照射済燃料棒3本を用いて実施した。

(結果)

- (1) 剪断工程における⁸⁵Krの放出はORIGEN値に対し47.05%であった。
- (2) バスケット充填での溶解試験では初期硝酸濃度5.1M、温度100~107°C、加熱時間25時間(濃縮モード1時間を含む)の条件下で約7時間でほぼ全量溶解

終了した。

- (3) 小型溶解試験の連続溶解を模擬し各パラメータをふり行った結果として、①硝酸濃度5Mでの溶解速度は8. 6 g/cm²・h、7Mでは13. 5 g/cm²・hであった。②燃焼度80000 Mwd/tでの溶解速度は7. 5 g/cm²・h、94, 000 Mwd/tでは7. 6 g/cm²・h、108, 000 Mwd/tでは8. 8 g/cm²・hであった。③溶解温度を93°Cでの溶解速度は4. 0 g/cm²・h、95°Cでは、7. 4 g/cm²・h、108°Cでは、7. 6 g/cm²・hであった。又、アレニウスの式により活性化エネルギーを求めるとき4 Kcal/molであった。
- (4) 不溶解性残渣の回収では、回収残渣として4. 2 g 燃料総重量に対し0. 78%であった。
- (5) 抽出工程の共除染及び分配試験では、RETFの基本フローの確証を主目的に行った結果として、①溶媒の飽和度を59. 2%から68. 5%にあげるとTotal 1 (γ) のDFは、 1.7×10^6 から 2.1×10^6 になった。②溶媒の飽和度を59. 2%から68. 5%へあげるとフィード液より水相廃液へのロス率はウランで0. 35%から0. 49%になった。又、プルトニウムでは、0. 01%から0. 02%へなった。③HAN単独による分配試験でのプルトニウムプロダクト中のウラン濃度は12. 3 g/lであり、ウランの除染係数は6. 0 ウランプロダクト中のプルトニウム濃度は $< 0.05 \times 10^{-3}$ g/l、プルトニウムの除染係数は $> 2.4 \times 10^5$ であった。④アクチノイド元素(Np、Am、Cm)の挙動を見るとフィード液濃度を100%とすると水相廃液へ46. 7%プルトニウムプロダクト中に14. 1%、ウランプロダクト中へは、<1. 7%検出された。

(結論)

小型溶解試験では、硝酸の濃度が高い程、溶解性は良く速く終了する。また燃焼度別でみると、高燃焼度程、溶解性は良くわずかに速く溶解する。また温度が高い程、溶解性は良く速く終了する。

共除染、分配工程におけるウラン、プルトニウム抽出試験での溶媒の飽和度を高くすると除染係数は上昇する。またウラン、プルトニウムのロス率も上昇する。HAN単独でもプルトニウムとウランの分配は可能である。

-
- * (現在) プロセス分析開発室
** (〃) 技術開発推進部
*** (〃) 放射線管理第一課
**** (〃) 本社 核燃料サイクル技術開発部
***** (〃) 機器材料開発室
***** (〃) プラント設計開発室
***** (〃) 三菱重工業(株)
***** (〃) 再処理工場化学処理一課

目 次

1 . まえがき	1
2 . 試験工程実績及び試験従事者	2
3 . 対象燃料	2
4 . 試験の方法と結果	3
4. 1 剪断	3
4. 2 溶解	4
4. 3 プレナム部浸漬試験	7
4. 4 小型溶解	8
4. 5 不溶解性残渣の洗浄及び回収	12
4. 6 共除染, 分配	14
4. 7 転換	16
5 . まとめ	17

表 リスト

表 2 - 1	ホット試験スケジュール	18
表 2 - 2	ホット試験従事者	19
表 3 - 1	燃料仕様	21
表 3 - 2	核分裂生成物質量	22
表 3 - 3	U, Puの同位体重量(3ピン当たり)	23
表 4 - 1 - 1	剪断条件	26
表 4 - 1 - 2	剪断区分表	27
表 4 - 1 - 3	剪断時の ⁸⁵ Krガスモニタリング	28
表 4 - 1 - 4	ハル及び燃料重量	35
表 4 - 2 - 1	溶解条件	36
表 4 - 2 - 2	溶解工程運転監視記録(1)	37
表 4 - 2 - 3	溶解工程運転監視記録(2)	38
表 4 - 2 - 4	溶解工程〔分析結果一覧表〕	43
表 4 - 2 - 5	溶解率算出方法	44
表 4 - 2 - 6	溶解率	45
表 4 - 2 - 7	計算データ	53
表 4 - 2 - 8	溶解槽内の硝酸量	54
表 4 - 2 - 9	溶解液密度変化	56
表 4 - 2 - 10	溶解槽内のPu(VI)の量	58
表 4 - 3 - 1	プレナム部浸漬試験条件	62
表 4 - 3 - 2	プレナム部浸漬試験〔分析結果一覧表〕	63
表 4 - 4 - 1	小型溶解試験条件及び結果	64
表 4 - 5 - 1	洗浄条件	77
表 4 - 5 - 2	溶解液、洗浄液の多段ろ過量	78
表 4 - 5 - 3	残渣常温洗浄	79
表 4 - 5 - 4	溶解槽洗浄工程〔分析結果一覧表〕	81
表 4 - 5 - 5	溶解槽洗浄係数	82
表 4 - 5 - 6	清澄工程〔分析結果一覧表〕	83
表 4 - 5 - 7	残渣常温洗浄における溶出量	84
表 4 - 5 - 8	残渣常温洗浄(3N, HNO ₃)におけるU溶出量	85
表 4 - 5 - 9	残渣常温洗浄(3N, HNO ₃)におけるPu溶出量	86
表 4 - 5 - 10	残渣常温洗浄(3N, HNO ₃)における ¹⁰⁶ Ru溶出量	87

表 4 - 5 - 1 1 残渣常温洗浄(3N, HNO ₃)における ¹²⁵ Sb溶出量	88
表 4 - 5 - 1 2 残渣常温洗浄(3N, HNO ₃)における ¹³⁴ Cs溶出量	89
表 4 - 5 - 1 3 残渣常温洗浄(3N, HNO ₃)における ¹⁴⁴ Ce ¹⁴⁴ Pr溶出量	90
表 4 - 5 - 1 4 残渣常温洗浄(3N, HNO ₃)における ¹⁵⁶ Eu溶出量	91
表 4 - 5 - 1 5 残渣常温洗浄(3N, HNO ₃)におけるTotal γ溶出量	92
表 4 - 5 - 1 6 残渣洗浄におけるγ核種の放射能量と割合	94
表 4 - 5 - 1 7 残渣重量	95
表 4 - 5 - 1 8 残渣割合	96
表 4 - 5 - 1 9 溶解液ろ過(濾紙) [分析結果一覧表]	97
表 4 - 5 - 2 0 溶解液ろ過濾紙上のγ核種の割合と量	98
表 4 - 5 - 2 1 不溶解性残渣成分割合	100
表 4 - 6 - 1 フィード組成	103
表 4 - 6 - 2 抽出工程 ポンプ流量監視記録 (1)	104
表 4 - 6 - 3 抽出工程 ポンプ流量監視記録 (2)	105
表 4 - 6 - 4 抽出工程 [分析結果一覧表]	114
表 4 - 6 - 5 鉱物度の違いによるDF	119
表 4 - 6 - 6 鉱物度の違いによるU, Puのロス率	120
表 4 - 6 - 7 HAN単独還元によるDFu, DFPu	121
表 4 - 6 - 8 Npの挙動	122
表 4 - 6 - 9 Am, Cmの挙動	123
表 4 - 6 - 1 0 ³ Hの挙動	124
表 4 - 7 - 1 U濃縮・転換運転記録 (1)	128
表 4 - 7 - 1 U濃縮・転換運転記録 (2)	129

図 リスト

図 3 - 1	燃料集合体の炉内配置図	20
図 3 - 2	リサイクルホット試験概略フロー図	24
図 3 - 3	燃料要素	25
図 4 - 1 - 1	燃料ピン剪断位置	29
図 4 - 1 - 2	燃料ピン軸方向燃焼度分布図	30
図 4 - 1 - 3	剪断, 溶解時のオフガス処理系統及び分析系統図	31
図 4 - 1 - 4	剪断時の ⁸⁵ Krの放出量(1本目)	32
図 4 - 1 - 5	剪断時の ⁸⁵ Krの放出量(2本目)	33
図 4 - 1 - 6	剪断時の ⁸⁵ Krの放出量(3本目)	34
図 4 - 2 - 1	溶解中の温度・密度・液量変化	39
図 4 - 2 - 2	オフガス中のアクティビティーバランス	40
図 4 - 2 - 3	溶解槽運転記録(温度)	41
図 4 - 2 - 4	溶解槽運転記録(密度, 圧力, 液位)	42
図 4 - 2 - 5	¹⁴⁴ Ceの溶解率	46
図 4 - 2 - 6	¹²⁵ Sbの溶解率	47
図 4 - 2 - 7	¹⁵⁵ Euの溶解率	48
図 4 - 2 - 8	¹⁰⁸ Ruの溶解率	49
図 4 - 2 - 9	⁹⁵ Zrの溶解率	50
図 4 - 2 - 10	¹³⁷ Csの溶解率	51
図 4 - 2 - 11	U, Puの溶解率	52
図 4 - 2 - 12	硝酸吸支	55
図 4 - 2 - 13	密度変化	57
図 4 - 2 - 14	溶解液中のPu(VI)の量	59
図 4 - 2 - 15	⁸⁵ Krの放出率	60
図 4 - 2 - 16	⁸⁵ Krの放出量	61
図 4 - 4 - 1	小型溶解試験装置概略図	65
図 4 - 4 - 2	酸濃度の影響	66
図 4 - 4 - 3	溶解速度 VS 硝酸濃度	67
図 4 - 4 - 4	燃焼度の影響(1)	68
図 4 - 4 - 5	溶解速度 VS 燃焼度	69
図 4 - 4 - 6	H, M濃度の影響	70
図 4 - 4 - 7	溶解速度 VS H, M濃度	71

図 4 - 4 - 8 温度の影響	72
図 4 - 4 - 9 溶解速度 VS 温度	73
図 4 - 4 - 10攪拌による影響	74
図 4 - 4 - 11 燃焼度の影響 (2)	75
図 4 - 5 - 1 不溶解性残渣の回収フロー図	76
図 4 - 5 - 2 溶解槽洗浄液中のU, Pu, γ 核種の濃度	80
図 4 - 5 - 3 残渣洗浄における γ 核種の放射能量と割合	93
図 4 - 5 - 4 溶解液ろ過. 濾紙上の γ 核種の割合	99
図 4 - 6 - 1 抽出工程フロー (59.2%)	101
図 4 - 6 - 2 抽出工程フロー (68.5%)	102
図 4 - 6 - 3 ミキサ・セトラ 界面観察記録 (1)	106
図 4 - 6 - 4 ミキサ・セトラ 界面観察記録 (2)	107
図 4 - 6 - 5 ミキサ・セトラ 界面観察記録 (3)	108
図 4 - 6 - 6 ミキサ・セトラ 界面観察記録 (4)	109
図 4 - 6 - 7 ミキサ・セトラ 界面観察記録 (5)	110
図 4 - 6 - 8 ミキサ・セトラ 界面観察記録 (6)	111
図 4 - 6 - 9 ミキサ・セトラ 界面観察記録 (7)	112
図 4 - 6 - 10 ミキサ・セトラ 界面観察記録 (8)	113
図 4 - 6 - 11 共除染工程 濃度プロフィール (68.5%) U, Pu, HNO ₃ , MIXSET 値	115
図 4 - 6 - 12 共除染工程 濃度プロフィール (68.5%) U, Pu, HNO ₃ 分析結果値	116
図 4 - 6 - 13 分配工程 濃度プロフィール U, Pu, HNO ₃ , MIXSET 値	117
図 4 - 6 - 14 分配工程 濃度プロフィール U, Pu, HNO ₃ 分析結果値	118
図 4 - 7 - 1 転換工程フロー図	125
図 4 - 7 - 2 マイクロ波加熱システム	126
図 4 - 7 - 3 転換中のオフガス濃度変化	127

写真リスト

写真 4 - 1	181
----------------	-----

1. まえがき

第12回ホット試験は、昭和63年3月29日に燃料をせん断し昭和63年8月12日に全工程を終了した。

今回は、フランスのフェニックス炉で照射した照射済燃料を3ピン用いて試験を実施した。

主試験の一つである小型溶解試験は第8回試験で一度実施しただけで、第9. 10. 11回試験では実施していない為、今回初めて本格的に溶解の各パラメータ毎に基礎データを取得した。

またバッチ溶解試験においても、高燃焼度の燃料ピンを使用し今回初めて硝酸濃度を5Mまであげた試験を実施し、有効な溶解基礎データを取得した。

分配・抽出試験においてはプルトニウムの還元剤の性能を評価するためにHANを単独で実施した。また分配の除染係数を把握するため溶媒の飽和度を変えて実施した。

2. 試験工程実績及び試験従事者

第12回ホット試験の実績表を、表2-1に示す。また試験従事者は、試験Grと分析Grとから成っており、これらのリストを表2-2に示す。

3. 対象燃料

試験対象燃料は、フランスのフェニックス炉で照射した燃料本数にして健全ピン3ピン平均燃焼度9.4, 000MWd/tである。

集合体の炉内配置を図3-1に示す。

燃料ピンの仕様を表3-1にまた、核分裂生成物質量を表3-2に示す。

表3-3には、U, Puの同位体重量(ORIGEN計算値)を示す。

燃料製造歴は、表3-1に示すように、機械混合後加圧成型した後1650°Cにて2時間焼結したものである。

図3-2に第12回リサイクルホット試験概略フローシートを示す。

図3-3に燃料要素を示す。

4. 試験の方法と結果

4. 1 剪断

4. 1. 1 方法

剪断条件を表4-1-1に示す。剪断位置を図4-1-1に示す。剪断区分表を表4-1-2に示す。燃料ピンの軸方向燃焼度分布図を図4-1-2に示す。剪断は下部端栓側より1片当たり3cmの長さにプレナム部まで剪断を行った。

放出オフガスについては、NaI(T1)を検出部とするKrモニタで⁸⁵Krの放出量を測定した。

1ピン目剪断後2ピン目の剪断を行った。2ピン目の燃料部を剪断中、高燃焼度の為ピンの曲りが大きく剪断機に送れなくなった為一時中断し、3ピン目を先に剪断した。剪断終了後、中断していた2ピン目を曲がり補正し剪断した。剪断終了後剪断片の秤量と観察を行った。又秤量はバッチ溶解分と小型溶解分それぞれ分けて行った。

尚、それぞれのピンの剪断開始は、⁸⁵Krがバックグラウンドに戻るのを確認した後とした。

4. 1. 2 結果

(1) オフガス分析結果

剪断、溶解時のオフガス処理系統及び分析系統図を図4-1-3に示す。

剪断時の⁸⁵Krのガスモニタリング結果を表4-1-3にまた⁸⁵Krの放出を図4-1-4～図4-1-6に示す。

表4-1-3ではせん断時における⁸⁵Krの放出をクリプトンモニタでモニタリングした結果を表している、この表からプレナム部せん断時における⁸⁵Krの放出割合は、3本の平均で約96%が放出されている。また図4-1-4では縦軸に⁸⁵Krの放出量を横軸にせん断時間を表す、この図から⁸⁵Krは下部プレナム部せん断時でほぼ全量、放出していることが判る、であることから燃料ピン剪断時に放出される⁸⁵Krのうち約96%がプレナム部剪断時に、残り約4%は燃料部剪断時に放出されたことがわかった。

(2) 剪断片の観察

写真4-1に示す。

(3) 剪断片の重量測定

剪断片及び燃料重量を表4-1-4に示す。

4. 2 溶解

小型溶解用以外の剪断片を対象に、フェニックス燃料（高燃焼度、高Pu富化度燃料）の溶解性を確認する。また溶解時に放出されるオフガス中のアクティビティーバランスを把握するため溶解工程運転中の一定時間は、従来の還流モードから濃縮モードに切り換えて運転を行う。

4. 2. 1 方法

溶解試験条件を表4-2-1に示す。燃料剪断ピンを溶解槽に装荷し初期硝酸濃度を5.1Mにて液張りし、溶解温度を沸点（100～107°C）で25時間連続運転を行う。

溶解中は、所定時間ごとに溶解液のサンプリングを行いU, Pu, FP, 硝酸濃度の測定を行う。また溶解時に放出されるオフガス中のアクティビティーバランスを把握するため一定時間（1時間）濃縮モードで運転を行う。

4. 2. 2 結果

(1) 溶解槽運転状態

初期液量3. 16l 最終液量1. 69l、溶解開始3時間経過の後（1時間）濃縮モードで0. 92l濃縮した、後停止までの25時間は、還元モードに戻し運転継続。

溶解中の温度、密度、液量の変化パターンを図4-2-1に示す。またオフガス中のアクティビティーバランスを図4-2-2に示す。

第12ランバッチ溶解での γ 核種はORIGEN値に対し約20%が見いだされた。尚、 ^{106}Ru については4%だけ見いだされた。また不溶解性残渣中には16%残存した。

今回の濃縮運転では溶解開始後3時間経過の後より約1時間行ったが、酸回収槽への γ 核種は極微量しか検出されなかった。

溶解槽電気ヒータを作動させた後、停止するまでの25時間の溶解液の密度、圧力、液位、温度を表4-2-2に示す。また図4-2-3、図4-2-4は、操作盤における監視記録を参考として示す。

(2) 溶解液の分析結果

〔溶解液中のU, Pu, FP, 硝酸濃度〕

溶解開始から終了までサンプリングした液について、U, Pu, FP, 硝酸濃度の分析結果を参考として表4-2-4に示す。このサンプリング結果を元に溶解の各データを解析した。

〔溶解率〕

今回の試験では、燃料の溶解初期値に対し 109.5 %が溶解した。
この溶解率算出方法を表 4-2-5 に示す。

U, Pu 及び FP の各々の溶解率の算出結果を表 4-2-6 に示す、また計算データを表 4-2-7 に示し、これらを図示したものを図 4-2-5～図 4-2-11 に示す。

U, Pu 及び FP の溶解率算出に当たっては、次式に依った。

$$\text{溶解率 (\%)} = \frac{(\text{プロダクト濃度}) \times (\text{溶解液量}) + \sum (\text{サンプル量} \times \text{プロダクト濃度})}{(\text{最終プロダクト量})} \times 100$$

(プロダクト濃度) : 分析値
 溶解液量 : 監視計器指示値を密度測定値で補正した値
 サンプル量 : 分析のためのサンプル量

〔溶解槽内の硝酸量〕

溶解工程における硝酸収支を表 4-2-8 に、また図示したものと図 4-2-12 に示す。

液中硝酸量 : 溶解液中に未反応分として存在する硝酸量 (分析値)
 サンプリング硝酸量 : サンプリング時に溶解液から抜き出された未反応の硝酸量
 (分析値 ; 分析誤差は前後 5 %)
 未反応硝酸量 : 経過時間における液中硝酸量と累積サンプリングの合計量
 (未反応分, 分析値)
 U 溶解消費量 : 溶解液中の U (分析値) が、溶解に際し消費された硝酸量
 (計算値)

$$3 \text{UO}_2 + 8 \text{HNO}_3 \rightarrow 3 \text{UO}_2 (\text{NO}_3)_2 + 2 \text{NO} + 4 \text{H}_2\text{O}$$

Pu 溶解消費量 : 溶解液中の Pu (分析値) が、溶解に際し消費された硝酸量
 (計算値)

$$\text{PuO}_2 + 4 \text{HNO}_3 \rightarrow \text{Pu} (\text{NO}_3)_4 + 2 \text{H}_2\text{O}$$

※ 図 4-2-12 は、溶解液中の硝酸の収支を図示したものです、図中のトータル硝酸濃度は、液中の残存硝酸量の反応によって、消費された硝酸量を加えたものである。上記反応式に基づいて、液中の U, Pu 量から算出。

トータル硝酸量は、ほぼ一定値を示しており、過去～11ランまでも同様な結果が得られている。

溶解消費量： U, Puの溶解によって消費された硝酸量合計
トータル硝酸量： 経過時点における反応分、未反応分の硝酸量合計

〔溶解密度の変化〕

密度の変化（計算値、実測値）を表4-2-9と図4-2-13に示す。また計算データを表4-2-7に示す。

〔溶解槽内のPuの変化〕

Puの酸化の状況を表す溶解槽内のPu(VI)の量(Pu^{6+}/Pu_{Total})を表4-2-12と図4-2-14に示す。

(3) オフガス分析結果

溶解液中における ^{85}Kr の放出及び放出率を図4-2-15と図4-2-16に示す。

溶解時に放出された ^{85}Kr は981.85mCiでORIGIN値に対し約11.1%であった。

4. 3 プレナム部の浸漬試験

4. 3. 1 概要

RET Fのプレナム部を含むエンドピースを、酸洗浄なしで廃棄することが計画されているので、プレナム部の核物質量を評価確認する。

4. 3. 2 方法

プレナム部浸漬試験条件を表4-3-1に示す。プレナム部の剪断片全数〔72片、
330.86g 粉末7.48gを含む〕を対象に沸騰硝酸〔3N, 300ml〕中に約4時間浸漬し、浸漬前と浸漬後の2サンプルについてU, Pu, FPの濃度を分析確認する。

4. 3. 3 結果

サンプリング結果を表4-3-2に示す。

浸漬液に濃く灰色の着色が生じており、またサンプリング結果からも見られるように核物質が混入したと思われる。

※ 核物質が混入したと思われる原因として、プレナム部をせん断する際、せん断機内に前回せん断時の、付着粉末によるクロスコンタミが考えられる。

※ サンプリングについては、微量のU, Pu, FP量を評価するのでクロスコンタミにより注意した。

4. 4 小型溶解

4. 4. 1 概要

〔連続溶解環境下においての試験〕

燃焼度ごとに区分した剪断片を対象に酸濃度、初期核物質濃度をパラメータとした、連続溶解を模擬した試験を行う。

初期核物質濃度としては、バッチ溶解による酸濃度 3 N, H. M (Heavy Metal) 濃度 200 g/l の溶解液を所定濃度に希釈して使用する。

〔バッチ溶解環境下においての試験〕

燃焼度ごとに区分した剪断片を対象に燃焼度、最終核物質濃度、及び攪拌方法をパラメータとした、バッチ溶解を模擬した試験を行う。

4. 4. 2 方法

小型溶解試験条件を表 4-4-1 に示す。小型溶解試験装置を図 4-4-1 に示す。

「連続溶解環境下においての試験手順」

- ① 小型溶解装置の組み立てを行う。
 - ② 溶解液の硝酸濃度、HM濃度の調整を行う。
 - ③ 調整溶解液を沸点 (B. P) まで加熱する。(加熱ヒータを使用)
 - ④ B. P まで達した時点で剪断片を投入し、同時に Kr モニタを起動して、オフガス中の⁸⁵Kr を測定監視する。
 - ⑤ Kr モニタでバックグラウンド (B. G) と判断したら加熱ヒータを停止し、溶解を終了とする。
 - ⑥ 溶解液のサンプリングを行う。
 - ⑦ ハルの観察、重量測定を行う。
- ※ 尚、攪拌は、いれない。

「バッチ溶解環境下においての試験手順」

- ① 小型溶解装置の組み立てを行う。
- ② 規定濃度に調整した硝酸を 100 ml 入れる。
- ③ 硝酸溶液を B. P まで加熱する。(加熱ヒータを使用)
- ④ B. P を保持出来たら攪拌を入れる。
- ⑤ 攪拌 (200 ml/min) を入れて、B. P まで達した時点で剪断片の投入と同時に Kr モニタを起動し、オフガス中の⁸⁵Kr を測定監視する。

- ⑥ Kr モニタでB, Gと判断したら加熱ヒータを停止し溶解を終了とする。
- ⑦ 溶解液のサンプリングを行う。
- ⑧ ハルの観察、重量測定を行う。

注) Phenix 燃料ではベンチスケール溶解において、UとPuの溶解速度が異なることが見出されているが、Kr 放出割合はそのほぼ平均値として検出されるので、Kr モニタによる溶解率の判断は妥当だと判断した。

4. 4. 3 結果

「連続溶解環境下においての試験」

① 酸濃度による影響

初期硝酸濃度の影響による溶解時間と溶解率との関係を図 4-4-2 に示す。

図 4-4-2 から溶解中期（50% 溶解時）における溶解速度を求め、溶解速度と酸濃度との関係を図 4-4-3 に示す。

初期硝酸濃度 5 M では、溶解速度 8.6 g/cm²h、7 M では 13.5 g/cm²h と溶解速度を比較すると 1.5 倍となり溶解酸濃度が高い程溶解時間が短縮された。

② 燃焼度による影響

燃焼度の影響による溶解時間と溶解率との関係を図 4-4-4 に示す。

図 4-4-4 から溶解中期（50% 溶解時）における溶解速度を求め、溶解速度と燃焼度との関係を図 4-4-5 に示す。

燃焼度 8.0, 0.00 MWd/t では、溶解速度 7.5 g/cm²h、9.4, 0.00 MWd/t では、7.6 g/cm²h、10.8, 0.00 MWd/t では、8.8 g/cm²h となり、燃焼度 8.0, 0.00 ~ 9.4, 0.00 MWd/t では大差変わりなく、燃焼度 10.8, 0.00 MWd/t で、わずかに溶解速度が速くなると言う結果になった。また、参考値としてブランケット部では 16.0 g/cm²h であった。

③ 核物質による影響

初期H. M 濃度の影響による溶解時間と溶解率との関係を図 4-4-6 に示す。

図 4-4-6 から溶解中期（50% 溶解時）における溶解速度を求め、溶解速度と H. M 濃度との関係を図 4-4-7 に示す。

初期H. M 濃度 0 g/l では、溶解速度 8.6 g/cm²h、12.0 g/l では、8.8 g/cm²h、26.8 g/l では、5.7 g/cm²h となり初期H. M 濃度が高くなると、溶解速度が低下する傾向がみられた。

④ 溫度による影響

溶解温度の影響による溶解時間と溶解率との関係を図4-4-8に示す。

図4-4-8から溶解中期(50%溶解時)における溶解速度を求め、溶解速度と温度との関係を図4-4-9に示す。

燃焼度80, 000MWd/t, メタル濃度120g/l, 初期酸濃度5Mにおいて溶解温度93°Cでは、溶解速度4.0g/cm²h、108°Cでは、溶解速度7.5g/cm²h。

燃焼度94, 000MWd/t, メタル濃度120g/l, 初期酸濃度5Mにおいて溶解温度95°Cでは、溶解速度7.4g/cm²h、104°Cでは、8.5g/cm²h、108°Cでは7.6g/cm²hとなり、溶解温度が高い程、溶解速度が速くなる傾向がみられた。

また、アレニウスの式により、活性化エネルギーを求めるとき約14Kcal/molであった。

$$k = A \exp(-E_a/RT)$$

「バッチ溶解環境下においての試験」

①攪拌による影響

攪拌の影響による溶解時間と溶解率との関係を図4-4-10に示す。

図4-4-10から溶解中期(50%溶解時)における溶解速度を求めた。

初期硝酸液量500ml, メタル濃度0g/l, 燃焼度108, 000MWd/tの条件下スターラ低回転では、溶解速度11.0g/cm²h、高回転では、10.8g/cm²h。

尚、参考値として、初期硝酸液量1000ml, メタル濃度0g/l, 燃焼度108, 000MWd/t、スターラ攪拌なしでは8.6g/cm²hとなり、スターラ攪拌の回転数は溶解速度には、あまり影響しないように見える。しかしスターラ攪拌を行なったものは攪拌をしないものと比べ1.5倍溶解速度が向上した。

※ 初期硝酸液量500mlの攪拌なしのデータがないため、初期硝酸液量1000mlのデータを比較参考した。

②燃焼度による影響

燃焼度の影響による溶解時間と溶解率との関係を図4-4-11に示す。

図4-4-11から溶解中期(50%溶解時)における溶解速度を求めた。

燃焼度80, 000MWd/tでは、溶解速度6.5g/cm²h、94, 000MWd/tでは、5.9g/cm²h、またプランケット部においては16.0g/cm²hとなり、この場合は燃焼度が高い程、溶解速度が遅くなった。

③ その他

連續溶解環境下（初期メタル濃度 $> 0 \text{ g/l}$ ）のものは、約4時間程で溶解が完了しているが、同一燃焼度、同一硝酸濃度のは、バッチ溶解環境下のものは4時間以上かかっている。これは、前述のようにH, M濃度がむしろ、溶解時間を延ばす方向に働くことからH, M濃度の効果でなく液量の違い（フリー硝酸の量の違い）に起因するものと考える。

※ 溶解終了の目安として ^{85}Kr の放出がBGに戻った時点とした。

4. 5 不溶解性残渣の洗浄及び回収

溶解液からの不溶解性残渣の回収には、いくつかの工程によって行われる。

- ① 溶解液の上澄み液をフィルタを通して回収するもの。（溶解濾過）
- ② 溶解液及び溶解槽洗浄液の沈降部を、数回の洗浄操作の後、自然乾燥により回収するもの。（ビーカー回収残渣）

不溶解性残渣の回収フローを図 4-5-1 に示す。

4. 5. 1 方 法

(1) 溶解槽内洗浄

溶解槽及びハルについては硝酸（0.2N）2 ℥で空気攪拌を行いながら沸点にて1時間の洗浄操作を2回繰り返し行った。洗浄条件を表 4-5-1 に示す。

(2) 溶解液濾過

溶解終了後、重力沈降槽に移し変え溶解液及び溶解槽洗浄液は、それぞれ重力沈降槽へ移し替え1日放置し、次に上澄み液を多段濾過ユニットを通して次工程である調製槽へ送った。

多段濾過ユニットのフィルタは捕集粒子径 $1.0 \mu\text{m}$, $0.6 \mu\text{m}$, $0.5 \mu\text{m}$ のガラス纖維フィルタ3段で構成されており、濾過中は濾過ビンを真空ポンプにより真空引きした。

溶解液及び溶解槽洗浄液の多段濾過量を表 4-5-2 に示す。

(3) ビーカー回収残渣

溶解液及び溶解槽洗浄液の沈降液は上澄み液移送後、小型重力沈降槽へ移送し、1日間放置し、その後上澄み液を抜き出した。この操作を3.0 N硝酸で5回、常温洗浄を行った後、沈降液をビーカーへ移し、自然乾燥させ残渣を回収した。

残渣常温洗浄を表 4-5-3 に示す。

4. 5. 2 結 果

(1) 溶解槽洗浄

溶解槽洗浄における洗浄液の分析結果を表 4-5-4 に示す。

また、Pu, U 及び γ 核種の各洗浄回数毎の溶出量を図 4-5-2 に示す。

溶解槽洗浄係数を表 4 - 5 - 5 に示す。表より洗浄効果は上がり槽内は洗浄された。

(2) 残渣洗浄

残渣洗浄における液の分析結果を表 4 - 5 - 6 に示す。また、5回の各常温洗浄毎のU, Pu及び γ 核種の溶出量一覧表を表 4 - 5 - 7 に示す。

なお、液の分析結果、液量等により溶出量算出過程を表 4 - 5 - 8 ~ 4 - 5 - 15 に示す。さらに常温洗浄の γ 核種の溶出量を、図 4 - 5 - 3 に示す。また、放射能量とその割合を表 4 - 5 - 16 に示す。残渣を硝酸 3 Nで6日間にわたり洗浄した。

U, Puについては十分な洗浄効果があった。 γ 核種については ^{125}Sb , ^{137}Cs 以外で洗浄効果があった。

不溶解性残渣の成分割合を表 4 - 5 - 21 に示す。回収残渣の残渣率は 0. 8 %であった、ORIGIN値に対する割合としては 0. 7 %であった。

(3) 残渣回収

清澄濾過時のフィルタ捕集残渣量及びビーカー回収残渣量の重量を表 4 - 5 - 17 に示す。燃料総重量に対する回収残渣重量割合を表 4 - 5 - 18 に示す。また、各濾紙の γ 分析結果を表 4 - 5 - 19 に示す。各濾紙上の γ 核種の割合を表 4 - 5 - 20 図 4 - 5 - 4 に示す。

これらの結果から、回収残渣総重量は 4. 2 g であり、燃料総重量の 0.78% であることがわかった。

4. 6 共除染、分配試験

フィード液は、H・M濃度が100 g/l, Puの割合が19%の溶液を使用した。またRET Fの基本フローの確証を主目的に以下の4点に着目し実施した。

- (1) スクラップ段における水相／有機相比(A/O)比を0.32として、飽和度の違いによる除染係数(DF)を確認するため、飽和度を59.2%(77 g/l)と68.5%(89 g/l)とに分け行った。また1AW側へのU, Puロス率も確認する。
- (2) Pu還元剤として、HAN単独で行い、その適応性を確認する。
- (3) アクチノイド元素(Np)の挙動把握を行う。
- (4) ³Hの挙動把握を行う。

4. 6. 1 方法

今回のフロー条件を図4-6-1と図4-6-2に示す、またフィード液組成を表4-6-1に示す。今回の試験では、飽和度の違いによるDFを見るため、まず飽和度59.2%(77 g/l)でフィードし、ミキサ・セトラAバンクが抽出平衡に達した後、それぞれ出口のサンプリングを行い、その後、飽和度68.5%(89 g/l)としてフィードする、停止後各バンクのサンプリングを行い濃度プロファイルを見る。

今回の試験に用いるフィード液は溶解液を、捕集粒子径1.0 μm, 0.6 μm, 0.5 μmのガラス纖維フィルタ3段でろ過し、その後酸濃度調整を行ったものであり、原子価調整及び、濃縮は実施していない。

上記に用いる溶媒(30%TBP-nドデカン)は、アルカリ洗浄を実施している。

ホットフィードの終了後は、サンプリング、バンク液張りを実施し、小型溶解に用いたH, M濃度が低い溶液を用いて押し出し運転を実施する。

押し出し運転の終了は、バンク内の着色の有無から判断し、その後各廃出液をベッセルからサンプリングを行う。

※ 飽和度の変更は、フィード液の流量を変更することにより調整した。

4. 6. 2 結果

フロー図及びポンプ流量運転実績を図4-6-1と図4-6-2に示す。またミキサ・セトラ界面観察記録を図4-6-3～図4-6-10に示す。

運転開始後の経過時間におけるドレンサンプルの分析結果を表4-6-4に示す。

(1) 共除染工程濃度プロフィール(8.9 g/l)MIXSET値を図4-6-11に示す。

分析結果を図4-6-12に示す。また、分配濃度プロフィールMIXSET値を図4-6-13に示す、図4-6-14には分析結果を示す。

飽和度68.5%(8.9 g/l)まで上昇させると、MIXSETにより、Puのアキュムレーションの発生が示唆され、試験結果においても、その傾向が見られた。

(2) 飽和度の違いによるDFを表4-6-5に示す。またU, Puのロス率を表4-6-6に示す。

飽和度が高くなれば、DFは上昇するが、U, Puのロスは増加する。

(3) HAN単独還元によるDF, U, DF, Puを表4-6-7に示す。

フロー図4-6-1と図4-6-2に示すようにUプロダクト中にPuのリークがなく、HAN単独でもU/Pu分配は可能であることが判った。

(4) Npの挙動を表4-6-8に示す。NpはHAW中に46.7%、Pu中に14.1%移行しU中には移行しなかった。

(5) Amの挙動も表4-6-8に示す。ORIGEN値から ^{238}Pu と ^{241}Am の割合は1:2でありPuプロダクト(CPu)と水相廃液(AW)を見るとORIGEN値の比とほぼ同じくCPu1:AW2となりAmは、ほぼ全量HAW中に移行した。

(6) Cmの挙動も表4-6-8に示す。についてもほぼ全量HAW中に移行した。

(7) ^3H の挙動を表4-6-10に示す。

^3H は燃料中の0.25%(ORIGEN値との比較)供給液中に残存し、そのほとんどがHAW側に移行した。

4. 7 転換

共除染、分配工程で抽出されたU液はマイクロ波により蒸発濃縮転換を行った。

Puについては、グローブボックス内の貯槽（VE-1351）に保管。

U液転換フローシート図を図4-7-1に示す。またマイクロ波システムを図4-7-2に示す。

4. 7. 1 結果

U液転換中のオフガス温度変化パターンを図4-7-3に示す。また運転記録を表4-7-1、表4-7-2に示す。

運転時間は15時間40分。転換によって得られたMOX粉末は395.85gであった。

5. まとめ

第1・2回ホット試験のせん断・溶解・抽出の結果を以下にまとめて示す。

- 1) プレナム部せん断時で約 9.6 % の ^{85}Kr が放出された、残り約 4 % は燃料部せん断時に放出した。せん断で放出した ^{85}Kr は ORIGIN 値に対し 4.5 ~ 5.0 % 放出した。
- 2) バッチ溶解試験では約 7 時間でほぼ溶解終了した。溶解時における ^{85}Kr の放出は ORIGIN 値に対し 1.1 % が放出した。オフガス中の γ 核種は ORIGIN 値に対し溶解で 2.0 % 見いだされた、酸回収槽へは極微量しか検出されなかった。
- 3) プレナム浸積試験においては、浸積前に微量の核物質が混入したと考えられた。核物質が混入した原因として、せん断時に旧チャンバーを使用した為、その際に混入したと考えられる。
- 4) 小型溶解試験においては硝酸濃度、温度、を上げると溶解速度は速くなつたまた、燃焼度が高い程、溶解速度は速くなつた。核物質濃度を上げると溶解速度は遅くなつた。
- 5) 回収残渣総重量は 4.2 g で燃料総重量の 0.78 % であった。不溶解性残渣の主な成分として Ru, Mo, Rh, Tc, Pd であった。回収残渣率は 0.8 % であり ORIGIN 値に対し 0.7 % であった。
- 6) 共除染において溶媒の飽和度上げるとプルトニウムのアキュムレーションが示唆され DF は上昇した。また U, Pu のロス率は増加した。
分配工程において HAN 単独でも U/Pu の分配は可能であった。
Np は HAW 中に 46.7 % 移行しプルトニウムプロダクト中には 14.1 % ウランプロダクト中には移行しなかった。
³H は燃料中の 0.25 % が供給液中に残存し、そのほとんどが HAW 側に移行した。

表2-1 ホット試験スケジュール

No.	項目		63年	3月	4月	5月	6月	7月	8月	
1	剪断				■					
2	プレナム浸漬試験			■						
3	溶解				■					
4	小型溶解			■		■■■■■				
5	清澄(溶解槽洗浄)						■			
6	調整						■■■■■			
7	残渣洗浄							■■■		
8	共除染 分配							■■■		
9	U濃縮 転換								■■	
備 考										

表 2-2 ホット試験従事者

Participants list hot test

試験グループ

大竹 茂	算用子 裕孝	岩崎 伊佐央 *
沢田 稔	仁科 博	田村 一 *
豊田 修	安 聰宏	松島 和美 ***
山田 雅人	佐藤 学 *	栗林 正和 ***

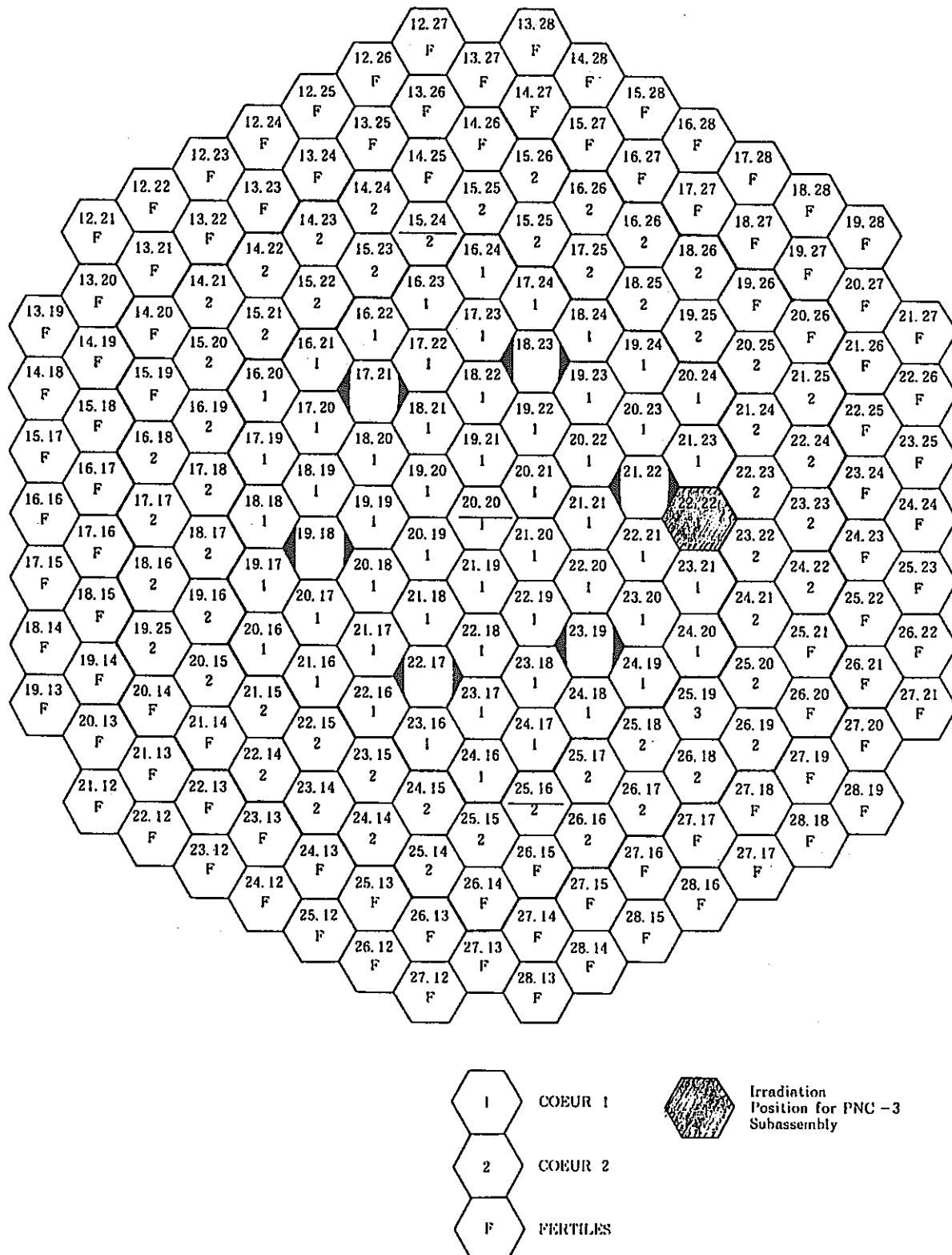
分析グループ

園部 次男	諏訪 登志雄	柴 正憲 **
大内 隆雄	篠崎 忠宏	戸田 暢史 *
後藤 浩二	飛田 修一	
石井 清登	鈴木 真司 *	

* 検査開発(株)

** 原子力技術(株)

*** 常陽産業(株)



Configuration of PHENIX Reactor Core

図 3-1 燃料集合体の炉内配置

In-reactor location of subassembly

表 3 - 1 燃料仕様

項目	仕 様	
要 素 №	Ph en i x P - 3	
ピ ン 数	3 ピ ン	
燃 焼 度	平均 9 4,000 最大 1 0 8,000 MWd/t	
核 物 質 量	6 2 8.89 (g)	P u 1 2 5.75 (g)
		N U 4 9 8.14 (g)
放 射 能	約 9 0 0 Ci	
冷 却 日 数	1 4 8 8 日 (S63.4.1 現在)	
炉 停 止 日	昭和 5 9 年 3 月 5 日	
そ の 他	ペレットデーター 混合時間（機械混合）：1 0 h r 成形圧 : 1 . 5 ~ 3 . 5 t / cm ² 焼結温度 : 1 6 5 0 °C 焼結時間 : 2 h r 焼結雰囲気 : 5 % H ₂ , 9 5 % N ₂ 焼結密度 : 8 5. 9 3 % T D PuO 富化度 : 3 0 %	

表 3 - 2 核分裂生成物質量

Elemental Constituents in Fuel Pin

Phenix P-3

94,000MWd/t(Ave)

4.0y cooling

Calculation by Origen 79

Element	g / 3pin	Nuclide.	Ci / 3pin
H	1.19×10^{-4}	H - 3	1.15×10^0
Ge	1.68×10^{-3}		
As	4.94×10^{-4}		
Se	8.53×10^{-2}		
Br	2.13×10^{-2}		
Kr	4.50×10^{-1}	Kr - 85	8.85×10^0
Rb	4.17×10^{-1}	Sr - 89	3.32×10^{-6}
Sr	9.01×10^{-1}	Sr - 90	7.30×10^1
Y	5.03×10^{-1}	Y - 90	7.30×10^1
Zr	4.77×10^0	Y - 91	3.99×10^{-5}
Nb	8.76×10^{-8}	Zr - 95	4.16×10^{-4}
Mo	5.39×10^0	Nb - 95	8.97×10^{-4}
Tc	1.40×10^0	Tc - 99	2.39×10^{-2}
Ru	4.73×10^0	Ru - 103	2.01×10^{-8}
Rh	1.59×10^0	Ru - 106	7.56×10^1
Pd	3.44×10^0	Rh - 103M	2.02×10^{-8}
Ag	3.48×10^{-1}	Rh - 106	7.56×10^1
Cd	2.22×10^{-1}	Ag - 110M	2.50×10^{-2}
In	1.88×10^{-2}		
Sn	1.89×10^{-1}	Sn - 123	5.93×10^{-3}
Sb	5.12×10^{-2}	Sb - 125	1.19×10^1
Te	9.98×10^{-1}	Te - 125M	2.90×10^0
I	5.76×10^{-1}	Te - 127	2.96×10^{-3}
Xe	7.48×10^0	Te - 127M	3.02×10^{-3}
Cs	0.42×10^0	Cs - 134	1.37×10^1
Ba	2.58×10^0	Cs - 137	1.65×10^2
La	2.01×10^0		
Ce	3.65×10^0	Ce - 144	3.60×10^1
Pr	1.94×10^0	Pr - 144	3.60×10^1
Nd	6.12×10^0	Pr - 144M	4.32×10^{-1}
Pm	1.57×10^{-1}	Pm - 147	1.45×10^2
Sm	1.74×10^0	Sm - 151	6.43×10^0
Eu	1.82×10^{-1}	Eu - 154	2.63×10^0
Gd	1.66×10^{-1}	Eu - 155	1.50×10^1
Tb	1.19×10^{-2}		
Dy	8.69×10^{-3}		
Ho	2.79×10^{-4}		
Er	8.95×10^{-5}		
Total	5.86×10^1	Total	9.00×10^0

表 3-3 U, Pu の同位体重量 (3 ピン当り)

Composition of Uranium and Plutonium in 3 pins (12 run) Phenix P-3
 Caiculation by Origen 79

	Nuclide	before Irradiation (g)	after Irradiation (g)
Core	U -234	—	—
	U -235	0.89	0.44
	U -236	—	—
	U -238	297.17	270.58
ブランケット	U -234	—	—
	U -235	0.60	0.30
	U -236	—	—
	U -238	199.48	181.62
Core + Insulator	U	498.14	452.94
Core	Pu-238	0.08	0.10
	Pu-239	98.30	79.83
	Pu-240	23.62	30.24
	Pu-241	3.23	2.68
	Pu-242	0.54	0.81
	Pu-238	—	—
	Pu-239	—	—
	Pu-240	—	—
	Pu-241	—	—
	Pu-242	—	—
Core	Pu	125.77	113.66

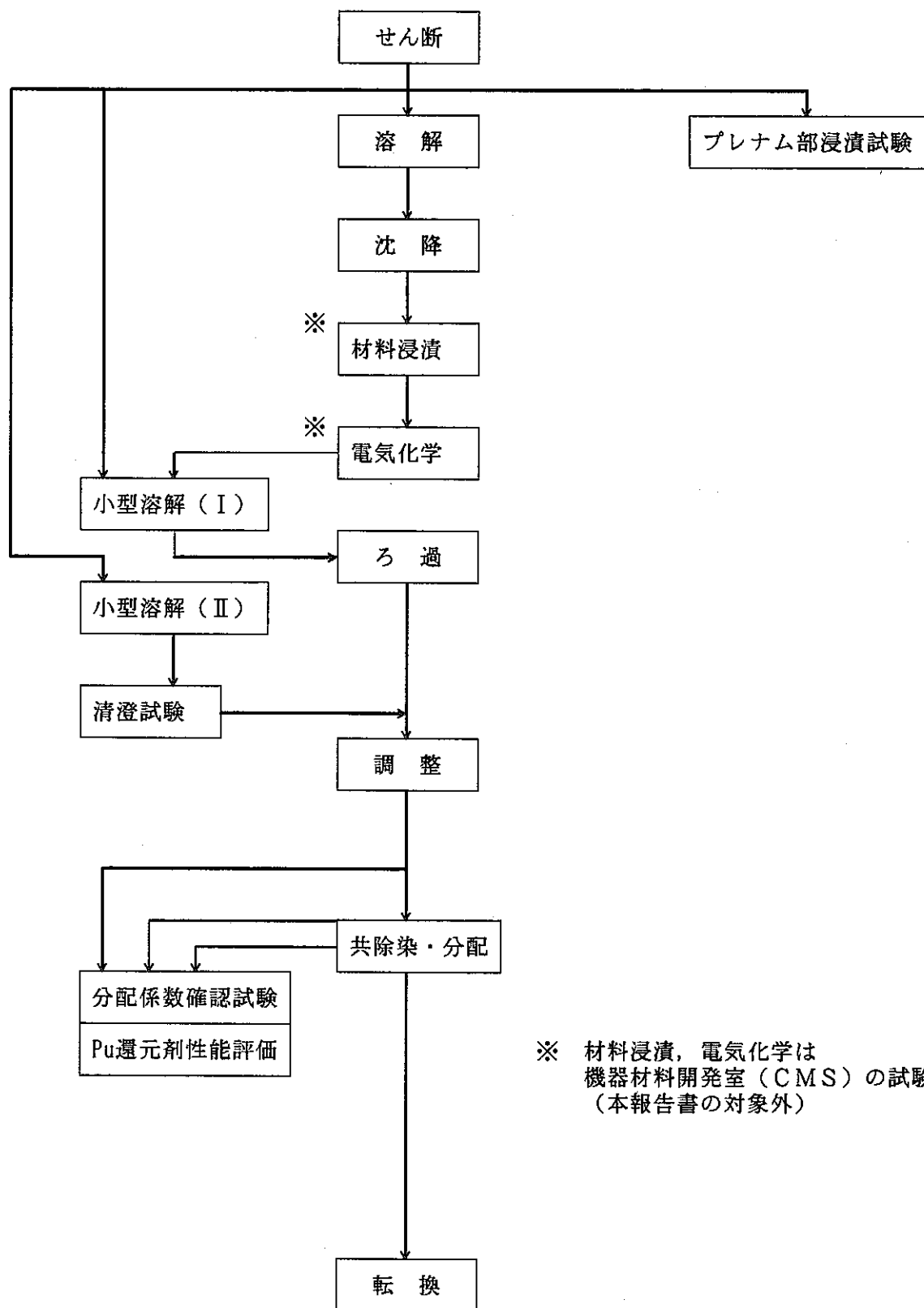


図 3 - 2 リサイクルホット試験概略フロー

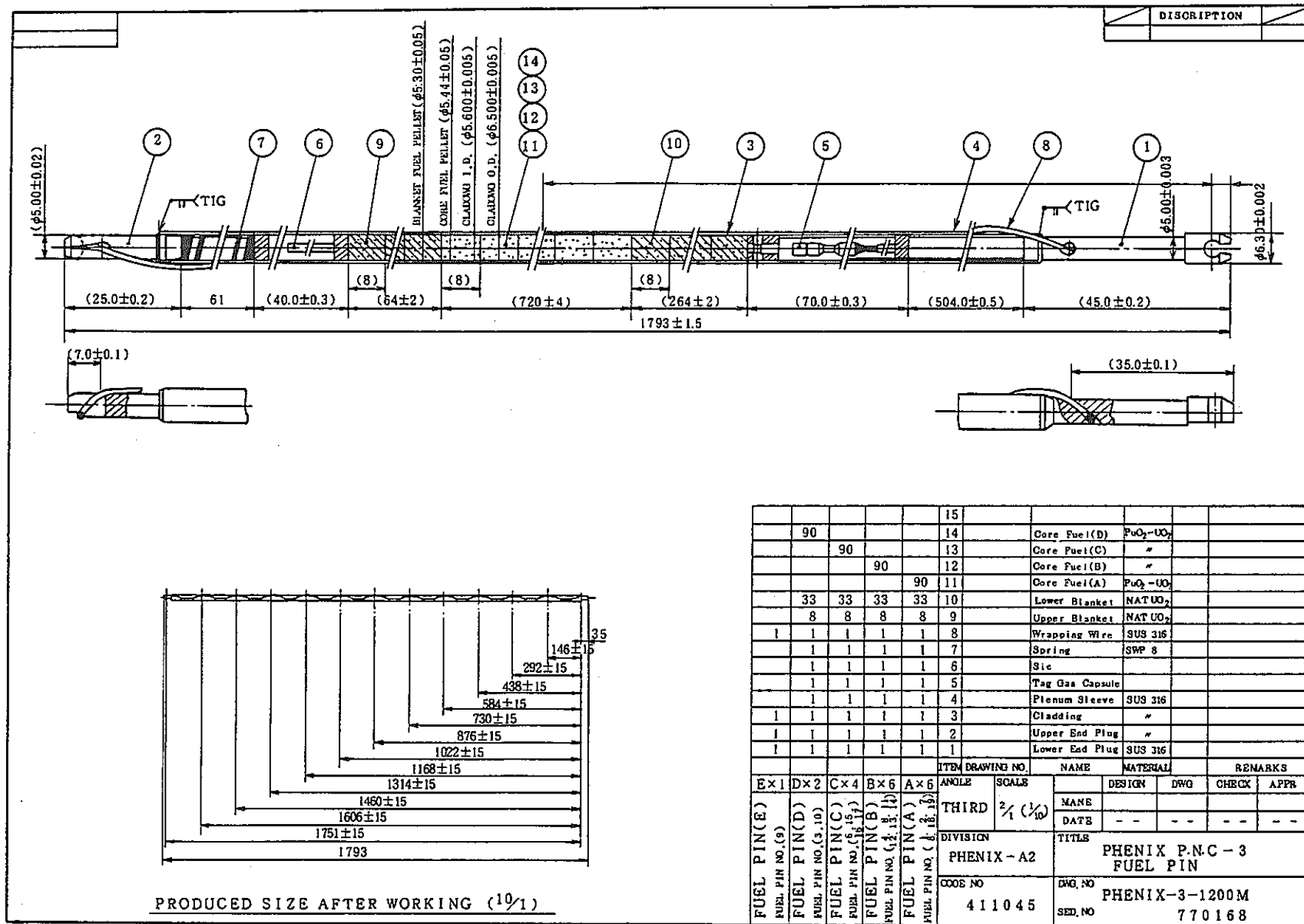


図 3-3 燃料要素

表 4 - 1 - 1 剪断条件

Shearing condition

剪断年月日		昭和 63 年 3 月 29 日		
下部端栓No	84 K-1	88 K-1	88 K-3	
剪断長さ	(3 cm)	(3 cm)	(3 cm)	
剪断方向	下部端栓側から	下部端栓側から	下部端栓側から	
剪断オフガス流量	10~20 ℓ/min	10~20 ℓ/min	10~20 ℓ/min	
測定対象	クリプトンモニター；Kr 85, 他FPガス 重量測定			
せん断片の区分				
せん断位置	せん断片数*	備考		
A プレナム部	24 (72)	せん断片を汚さぬよう新しい容器で受ける		
B 80000 MWd/t	2 (6)	} それぞれ別容器で受ける（小型溶解用）		
C 94000 MWd/t	2 (6)			
D 108000 MWd/t	4 (12)			
E その他	28 (84)	通常の容器（バスケット）で受ける		

* 片/ピソ (片/3ピソ)

表 4-1-2 せん断区分表

(単位, 片)

	せん断位置	せん断片数			合計	備考
		88K-1	84K-1	88S-3		
A	プレナム	24	24	24	72	プレナム用
B	80,000 (MWd/t)	2	2	2	6	小型 溶 解 用
C	94,000 (MWd/t)	2	2	2	6	
D	108,000 (MWd/t)	4	4	4	12	
	ブランケット	1	—	—	1	
E	その他	28	29	29	86	バスケット用

表 4-1-3 剪断時の⁸⁵Krガスモニタリング

	燃 料 部 剪 断 時			プレナム部剪断時		合 計	備 考
Kr放出量 ORIGEN値 %	ピ ン No	カウント数 (Counts)	割 合 (%)	カウント数 (Counts)	割 合 (%)	カウント数 (Counts)	放射能量 (mCi)
45.2	88K-1	30636	4.3	682421	95.7	713057	1333.7
45.8	88S-3	34615	4.7	695954	95.3	730569	1351.9
50.1	84K-1	19513	2.5	775676	97.5	795189	1478.0

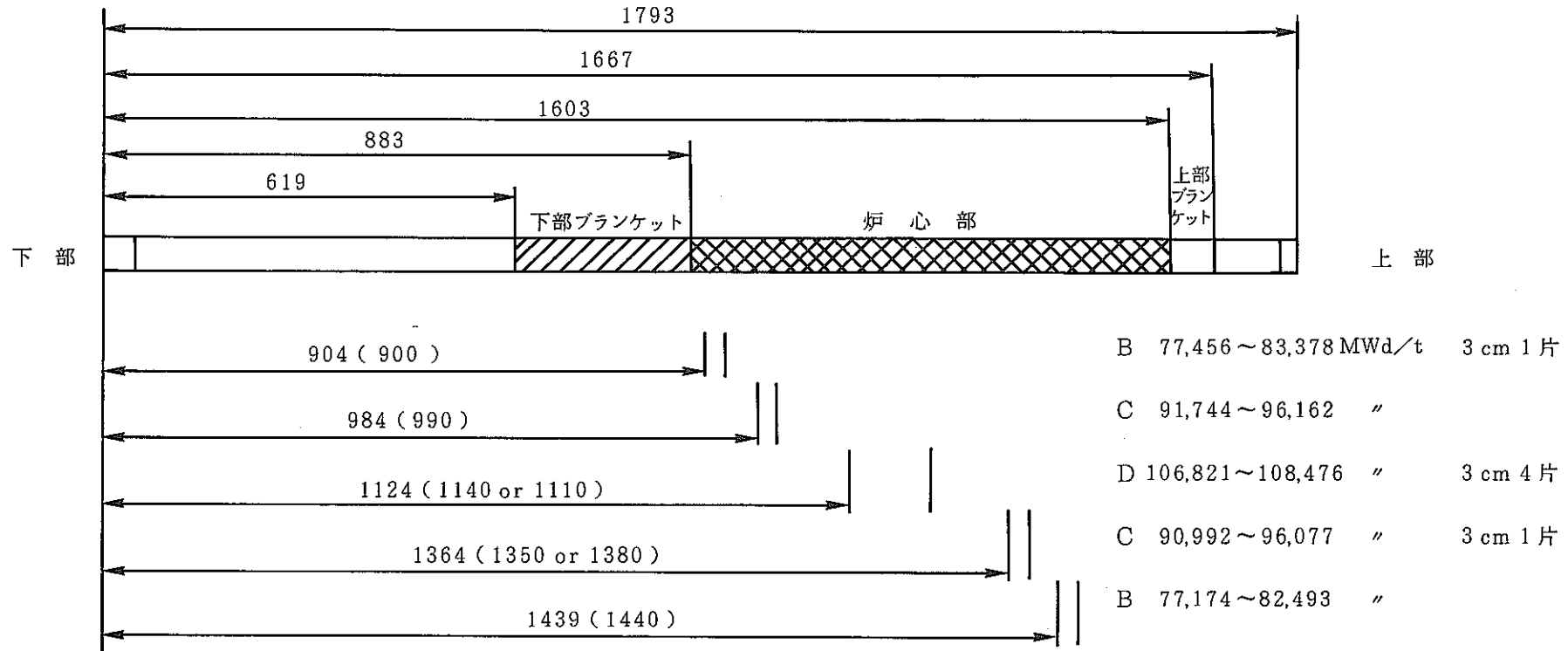


図 4-1-1 燃料ピンせん断位置

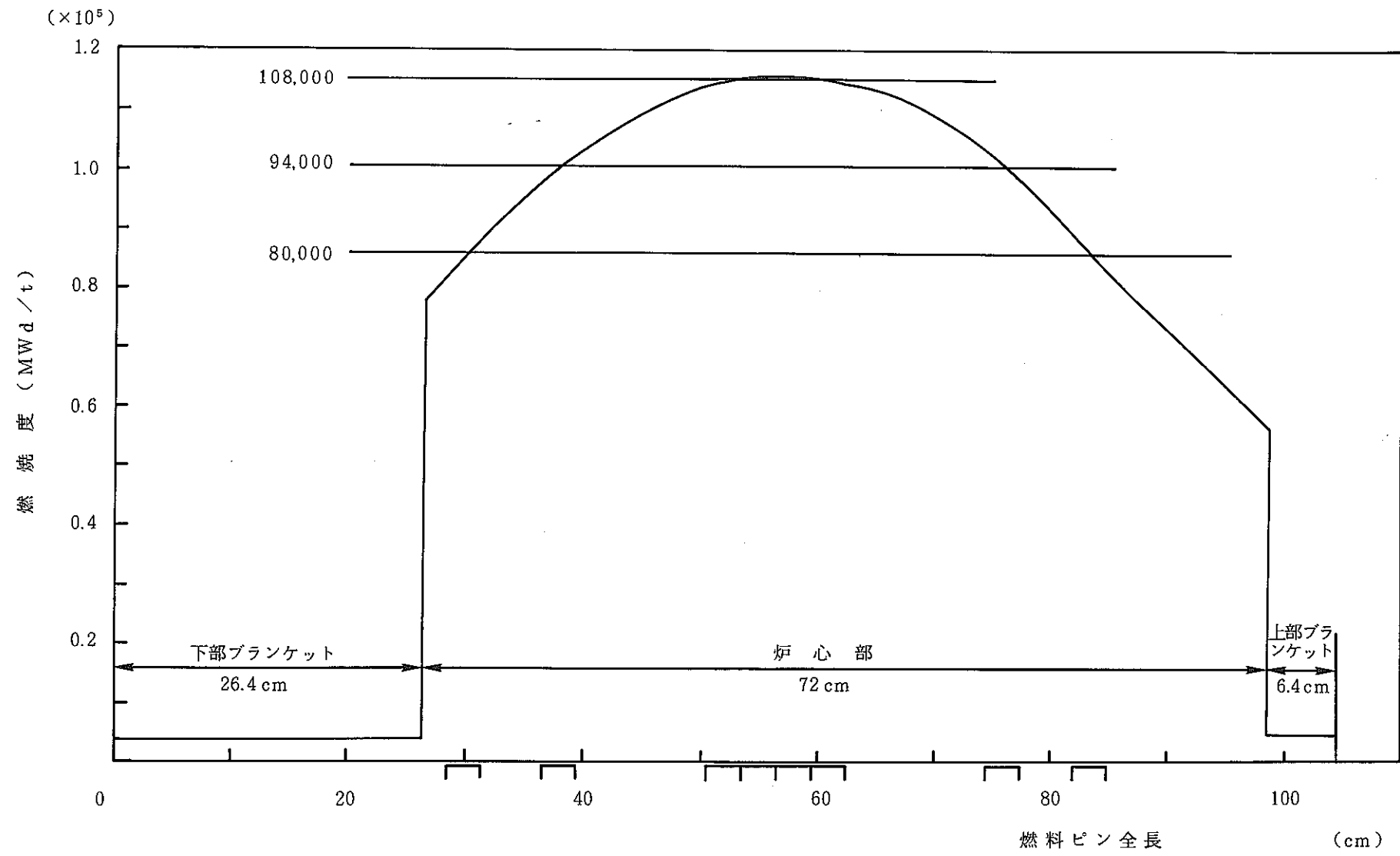


図 4-1-2 燃料ピンの軸方向燃焼度分布

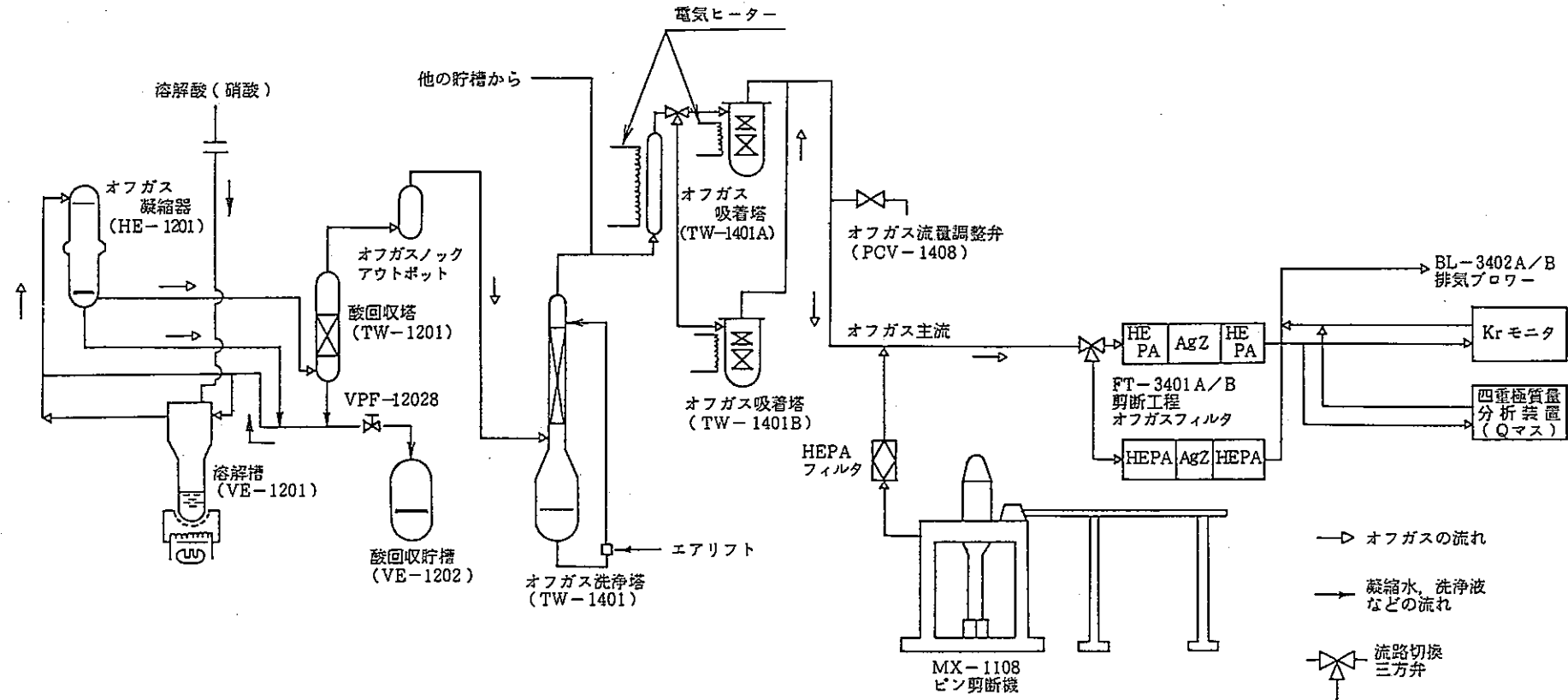


図 4-1-3 剪断溶解時のオフガス処理系統及び分析系統図

ピン No. 88 K - 1
1333, 6777 mCi

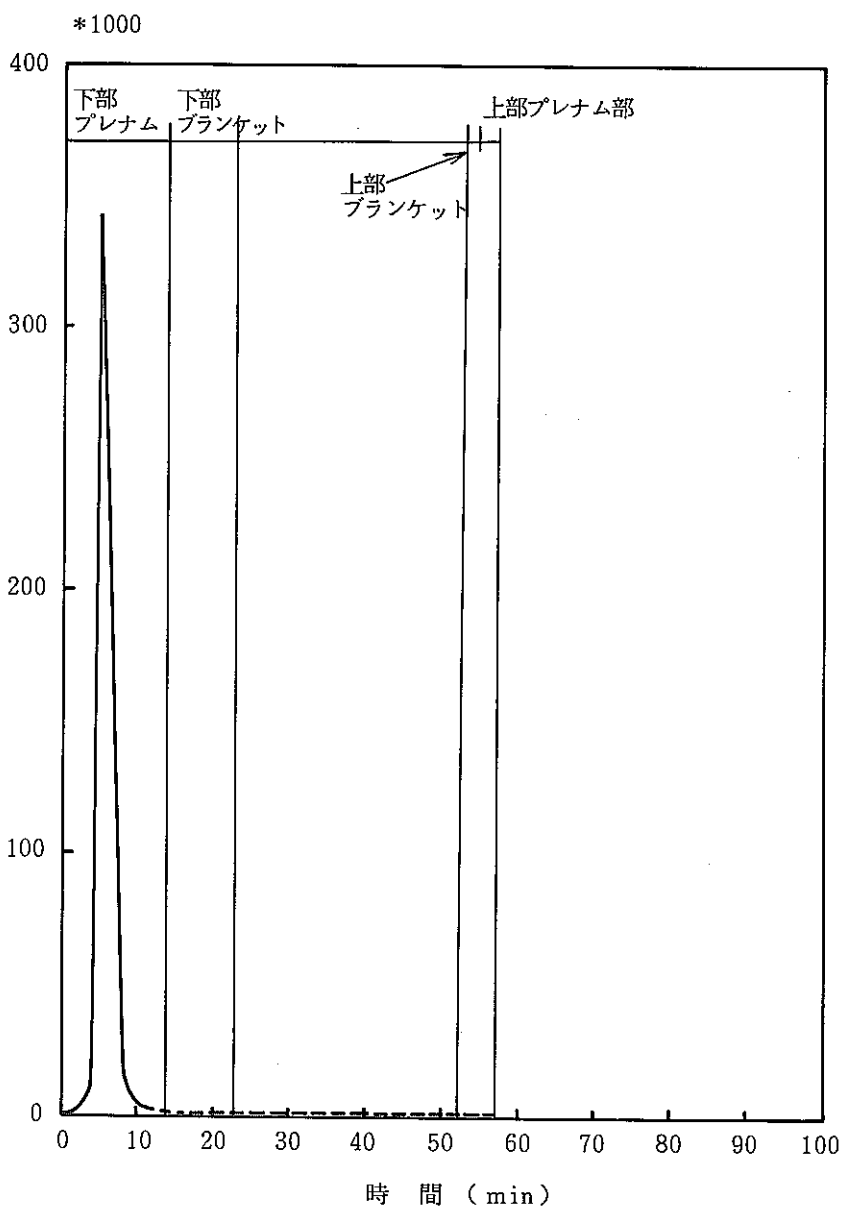


図 4 - 1 - 4 剪断時の ^{85}Kr の放出量 (1 本目)

ビン No. 88S-3
1351, 910 mCi

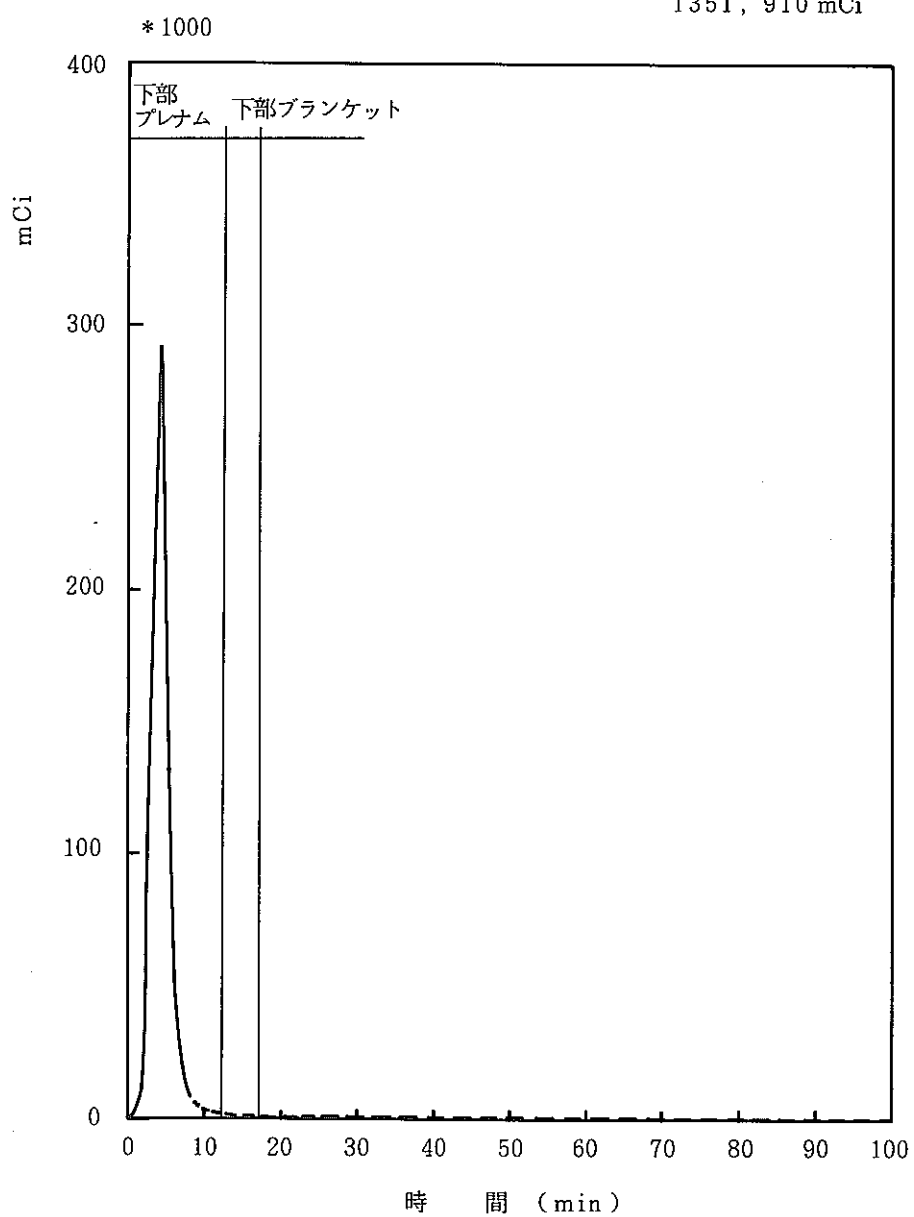


図 4-1-5 剪断時の ^{85}Kr の放出量 (2本目)

ピン No. 84 K - 1
1478, 045 mCi

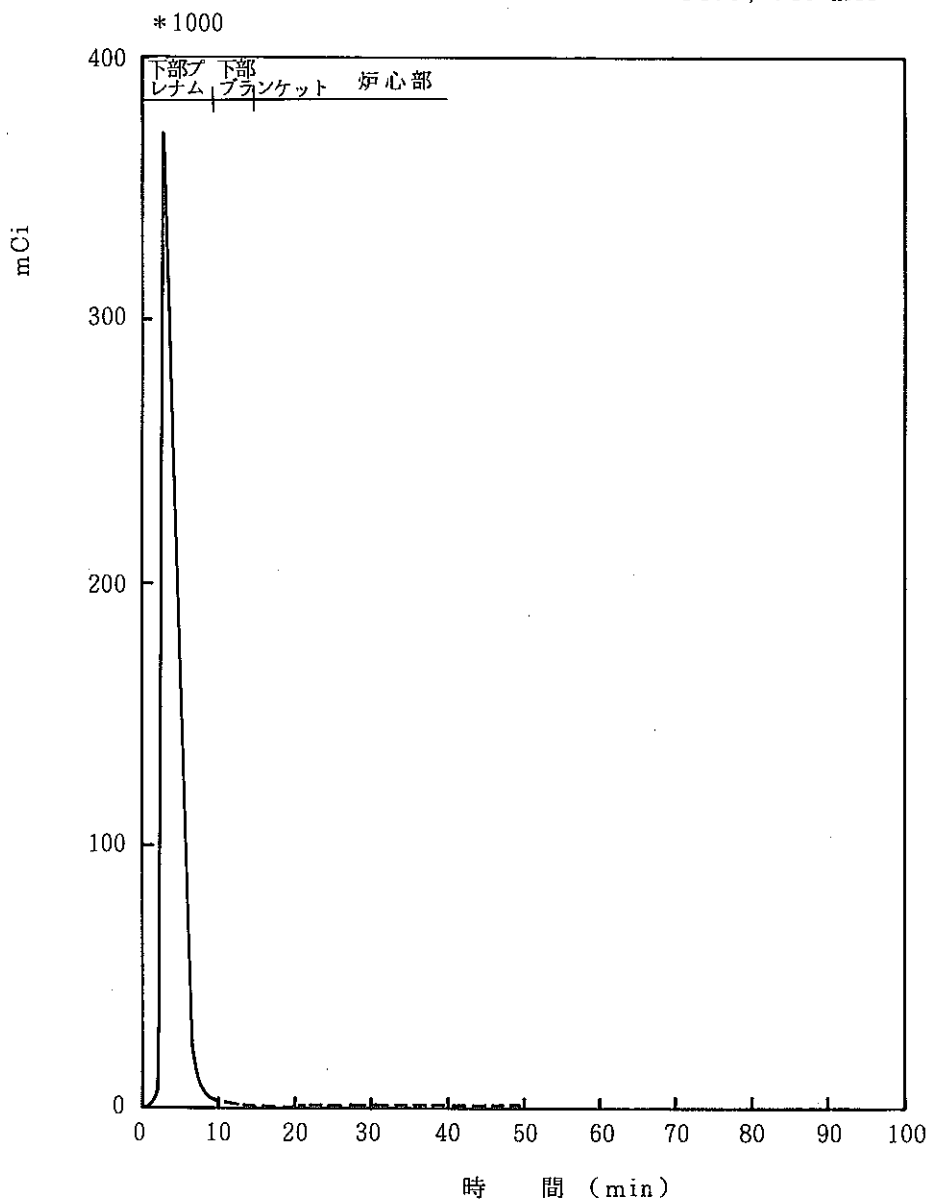


図 4-1-6 剪断時の ^{85}Kr の放出量 (3 本目)

表 4 - 1 - 4 ハル及び燃料重量

Weight of hulls and fuel

剪断片重量	720.0 (g)
ハル重量	176.9 (g)
燃料総重量	543.1 (g)

※ ハル重量は溶解後、溶け残りがないことを確認し
乾燥させた重量

表 4 - 2 - 1 溶解条件

Dissolving condition

項目	条件	備考
試験日(対象)	4月6日	
硝酸濃度	5.1 M	終了時 3.0 M
液量	2.4 ℥	終了時 2.0 ℥
温度	沸点(100~107°C)	
保持時間	25 hr	
溶解終了点の目安	密度 Krモニタ 1.2~1.26 g/cm ³ 0.3~0.4 cps	密度ほぼ一定 バックグラウンド
測定対象	Pu濃度 (0~47 g/ℓ) U濃度 (0~210 g/ℓ) 硝酸濃度 (5.1~3.0 M) Pu(VI)濃度 (0~47 g/ℓ) FP濃度 (0~ Ci/ℓ) Kr 85 等 FPガス	

表 4-2-2 溶解工程運転監視記録 [第12ラン]

昭和63年4月6~7日
Vol.1

経過時間	時刻	溶解槽 (VE-1201)					ヒータ(EH-1201)		備考
		密度 g/cc	圧力 mmAq	液位 %	液量 ℥	温度 °C	温度 °C	出力 %	
		0 0 0	0 0 1	0 0 2		0 3 4	0 8 8		データロガーチャンネル
0:00	10:30	1.149	-248	33.6	3.165 ℥	24.95	24.7	30	
0:15	10:45	1.149	-230	33.6	3.165	27.83	414.8	50	
0:30	11:00	1.146	-235	33.7	3.183	41.77	597.7	70	
0:45	11:15	1.131	-235	33.9	3.242	67.87	695.3	70	
1:00	11:30	1.111	-233	33.8	3.286	94.53	732.1	70	
1:30	12:00	1.123	-233	33.5	3.224	102.47	749.4	70	
2:00	12:30	1.149	-233	32.7	3.078	102.89	755.6	72	
2:30	13:00	1.148	-233	32.9	3.099	103.05	762.5	72	
3:00	13:30	1.159	-232	32.8	3.063	103.12	763.3	72	13:33 溶解液 濃縮
3:30	14:00	1.208	-232	29.1	2.604	104.22	765.8	72	
4:00	14:30	1.275	-233	25.3	2.145	105.55	735.5	60	濃縮運転停止
5:00	15:30	1.348	-234	24.5	1.975	104.79	650.0	40	
6:00	16:30	1.367	-237	24.5	1.950	104.36	639.3	40	
7:00	17:30	1.370	-240	24.5	1.947	104.60	643.1	40	
8:00	18:30	1.369	-238	24.2	1.923	104.69	638.8	40	
9:00	19:30	1.374	-239	24.2	1.917	104.92	643.0	40	
10:00	20:30	1.375	-240	23.8	1.883	105.10	643.2	40	※9時にチェック
11:00	21:30	1.372	-239	23.7	1.879	105.12	643.1	40	
12:00	22:30	1.386	-238	23.4	1.838	105.10	638.3	40	
13:00	23:30	1.376	-238	23.3	1.841	105.21	638.5	40	
14:00	0:30	1.381	-240	23.1	1.820	105.30	637.5	40	
15:00	1:30	1.390	-237	22.6	1.769	105.35	637.6	40	
16:00	2:30	1.394	-238	22.5	1.757	105.35	639.3	40	
17:00	3:30	1.373	-238	22.2	1.755	106.93	687.6	50	2:55 ヒータ出力 40→50up
18:00	4:30	1.372	-235	22.1	1.749	107.14	689.3	50	
19:00	5:30	1.370	-238	22.0	1.742	107.21	687.9	50	
20:00	6:30	1.371	-239	21.7	1.717	107.27	687.7	50	
21:00	7:30	1.363	-240	21.5	1.709	107.45	688.4	50	
22:00	8:30	1.350	-240	21.3	1.707	107.65	692.8	50	

表 4-2-3 溶解工程運転監視記録 [第 1 ラン]

昭和63年4月6~7日
Vol.2

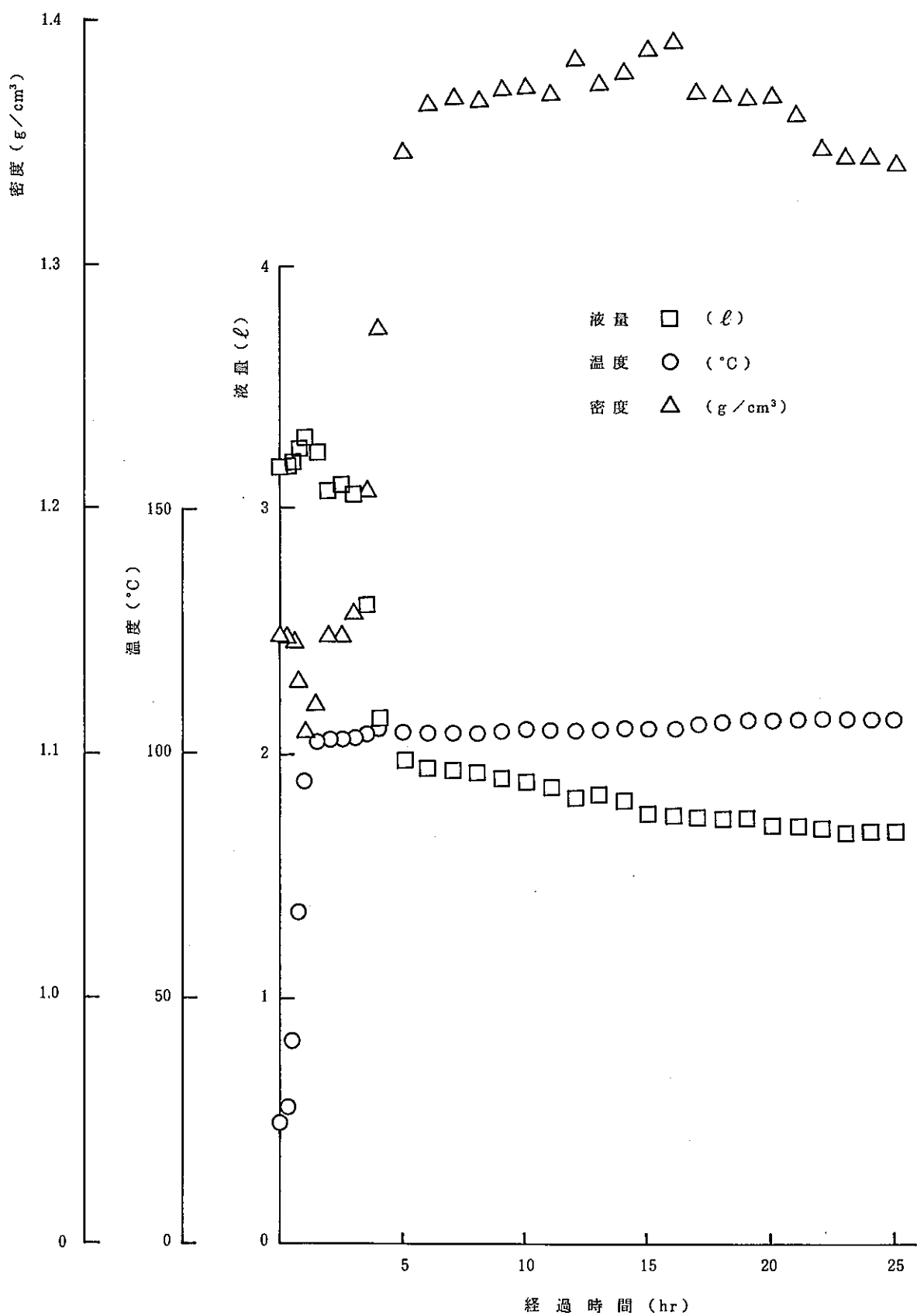
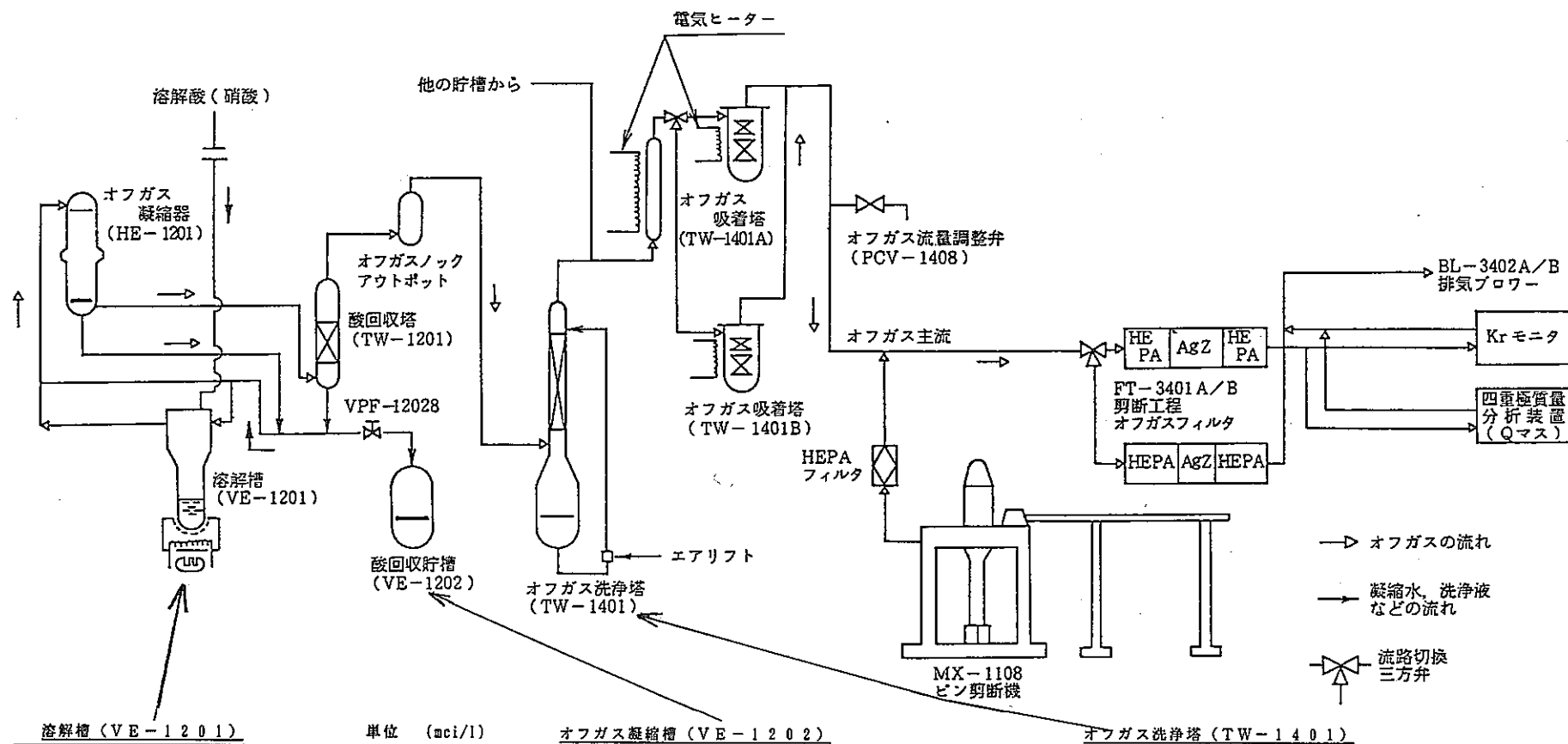


図4-2-1 溶解中の温度，密度，液量変化



溶解槽 (VE-1201)			
γ 核種	3 Hr 経過	25 Hr 経過	差
⁹⁰ Zr	2.1	2.4	0.3
⁹⁵ Nb	—	—	—
¹⁰³ Ru	—	—	—
¹⁰⁶ Ru	1.4×10^{-3}	2.0×10^{-3}	6.0×10^{-2}
¹²⁵ Sb	5.9×10^{-2}	1.5×10^{-2}	9.1×10^{-2}
¹³⁴ Cs	3.3×10^{-2}	4.2×10^{-2}	9.0×10^{-2}
¹³⁷ Cs	2.2×10^{-4}	2.9×10^{-4}	7.0×10^{-3}
¹⁴⁴ Ce	2.2×10^{-3}	6.1×10^{-3}	3.9×10^{-3}
¹⁴⁴ Pr	2.2×10^{-3}	6.1×10^{-3}	3.9×10^{-3}
¹⁵⁴ Eu	3.4×10^{-2}	1.4×10^{-2}	1.06×10^{-2}
¹⁵⁵ Eu	7.5×10^{-2}	2.7×10^{-2}	1.95×10^{-2}
Total	3.3×10^{-4}	5.3×10^{-4}	2.0×10^{-4}

オフガス凝縮槽 (VE-1202)

γ 核種	溶解前 (mci/l)	溶解後 (mci/l)	差 (mci/l)
⁹⁰ Zr	—	—	—
⁹⁵ Nb	—	—	—
¹⁰³ Ru	—	—	—
¹⁰⁶ Ru	3.7×10^{-2}	3.7×10^{-2}	—
¹²⁵ Sb	1.2×10^{-2}	4.0×10^{-2}	2.8×10^{-2}
¹³⁴ Cs	5.2×10^{-2}	1.3×10^{-1}	7.8×10^{-2}
¹³⁷ Cs	8.3×10^{-1}	1.0	1.7×10^{-1}
¹⁴⁴ Ce	1.9×10^{-1}	1.8×10^{-1}	-1.0×10^{-2}
¹⁴⁴ Pr	1.9×10^{-1}	1.8×10^{-1}	-1.0×10^{-2}
¹⁵⁴ Eu	1.1×10^{-2}	1.2×10^{-2}	1.0×10^{-3}
¹⁵⁵ Eu	5.2×10^{-2}	5.3×10^{-2}	1.0×10^{-3}
Total	1.4	1.7	0.3

オフガス洗浄塔 (TW-1401)

γ 核種	溶解前 (mci/l)	溶解後 (mci/l)	差 (mci/l)
⁹⁰ Zr	—	—	—
⁹⁵ Nb	—	—	—
¹⁰³ Ru	—	—	—
¹⁰⁶ Ru	2.2×10^{-3}	3.2×10^{-3}	1.0×10^{-3}
¹²⁵ Sb	1.8×10^{-3}	2.7×10^{-3}	9.0×10^{-4}
¹³⁴ Cs	4.3×10^{-3}	2.8×10^{-3}	-1.5×10^{-3}
¹³⁷ Cs	8.2×10^{-2}	7.3×10^{-2}	-9.0×10^{-3}
¹⁴⁴ Ce	8.7×10^{-2}	8.4×10^{-2}	-1.9×10^{-3}
¹⁴⁴ Pr	8.7×10^{-2}	8.4×10^{-2}	-7.0×10^{-3}
¹⁵⁴ Eu	—	5.8×10^{-4}	5.8×10^{-4}
¹⁵⁵ Eu	4.0×10^{-3}	3.1×10^{-3}	-9.0×10^{-4}
Total	1.1×10^{-1}	1.0×10^{-1}	-1.0×10^{-2}

図 4-2-2 オフガス中のアクティビティーバランス

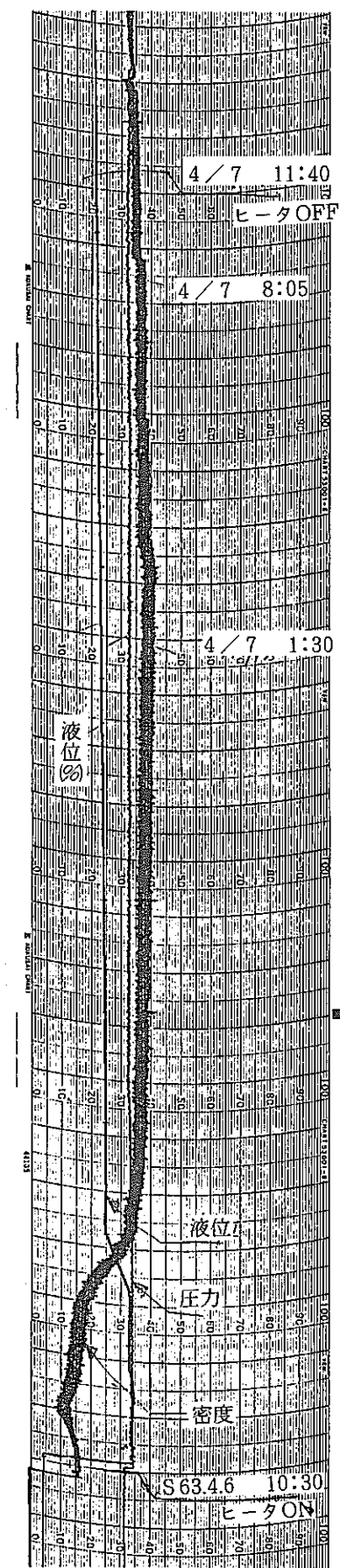


図 4-2-4 溶解槽運転記録（密度、圧力、液位）

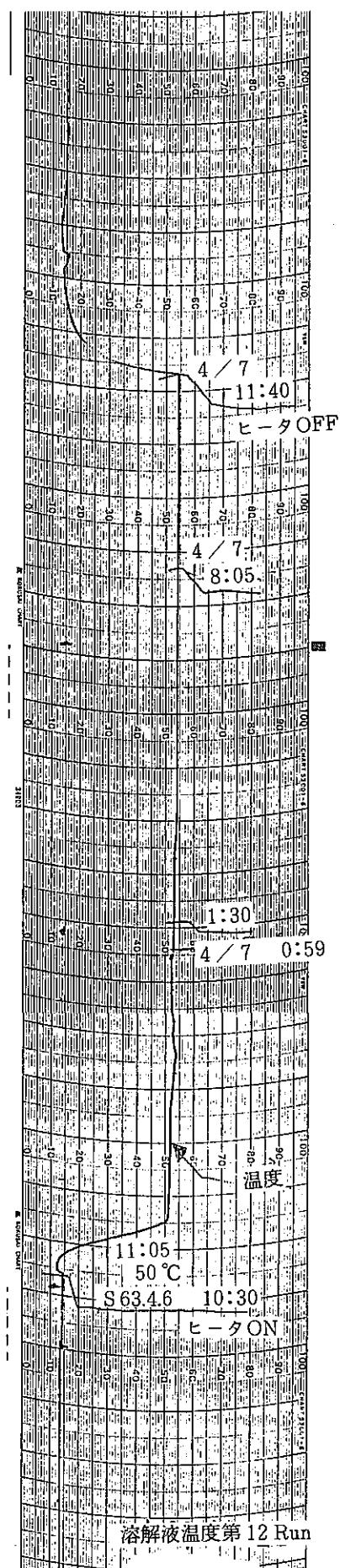


図4-2-3 溶解槽運転記録(温度)

表 4-2-4 分析結果一覧表

第12 RUN 溶解工程

サンプル 名 称	湿式分析 (g/ℓ, H ⁺ : mol/ℓ)									放射能分析 (mci/ℓ)									その他		備 考			
	U	Pu	PuIII	PuVI	H ⁺	HAN	HDZ	q	Zr ⁹⁵	Nb ⁹⁵	Ru ¹⁰⁹	Ru ¹⁰⁶	Sb ¹²⁵	Cs ¹³⁴	Cs ¹³⁷	Ce ¹⁴⁴	Pr ¹⁴⁴	Eu ¹⁵⁴	Eu ¹⁵⁵	Total γ	³ H			
D 0 0 - 1 2	0.69	70m			4.72				—	—	—	3.8	1.6 ×10	4.2 ×10 ²	1.7 ×10 ³	2.1 ×10	2.1 ×10	2.3	—	2.2 ×10 ⁹			溶解前	
D 0 1 - 1 2	28.0	2.05			4.50				—	—	—	3.1 ×10 ²	1.6 ×10 ²	1.6 ×10 ³	9.3 ×10 ³	4.0 ×10 ²	4.0 ×10 ²	4.2 ×10	1.3 ×10 ²	1.2 ×10 ⁴				1時間経過
D 0 2 - 1 2	78.1	7.73			4.16				2.3	—	—	1.3 ×10 ³	4.1 ×10 ²	2.9 ×10 ³	1.9 ×10 ⁴	4.0 ×10 ³	4.0 ×10 ³	1.9 ×10 ³	4.6 ×10 ²	2.7 ×10 ⁴				2 "
D 0 3 - 1 2	92.1	13.2			1.59	3.89			2.1	—	—	1.4 ×10 ³	5.9 ×10 ²	3.3 ×10 ³	2.2 ×10 ⁴	2.2 ×10 ³	2.2 ×10 ³	3.4 ×10 ³	7.5 ×10 ²	3.3 ×10 ⁴				3 "
D 0 4 - 1 2	155	28.4			1.15	5.08			3.1	—	—	2.3 ×10 ³	1.1 ×10 ³	5.0 ×10 ³	3.4 ×10 ⁴	3.8 ×10 ³	3.8 ×10 ³	7.1 ×10 ²	1.5 ×10 ³	5.2 ×10 ⁴				4 "
D 0 5 - 1 2	197	37.1			2.35	4.87			7.9	—	—	5.1 ×10 ³	1.4 ×10 ³	4.8 ×10 ³	3.3 ×10 ⁴	4.6 ×10 ³	4.6 ×10 ³	9.5 ×10 ²	2.0 ×10 ³	5.6 ×10 ⁴				5 "
D 0 6 - 1 2	206	41.9			11.4	4.91			—	—	—	3.5 ×10 ³	1.4 ×10 ³	4.8 ×10 ³	3.3 ×10 ⁴	5.0 ×10 ³	5.0 ×10 ³	1.1 ×10 ³	2.3 ×10 ³	5.6 ×10 ⁴				7 "
D 0 7 - 1 2	220	42.5			16.8	5.07			3.2	—	—	3.7 ×10 ³	1.4 ×10 ³	5.6 ×10 ³	3.8 ×10 ⁴	5.0 ×10 ³	5.0 ×10 ³	1.1 ×10 ³	2.3 ×10 ³	6.2 ×10 ⁴				9 "
D 0 8 - 1 2	219	44.0			21.0	4.96			—	—	—	2.4 ×10 ³	1.3 ×10 ³	5.6 ×10 ³	3.8 ×10 ⁴	5.0 ×10 ³	5.0 ×10 ³	1.1 ×10 ³	2.2 ×10 ³	6.1 ×10 ⁴				11 "
D 0 9 - 1 2	219	44.0			23.4	4.87			—	—	—	2.4 ×10 ³	1.5 ×10 ³	4.8 ×10 ³	3.3 ×10 ⁴	5.9 ×10 ³	5.9 ×10 ³	1.2 ×10 ³	2.5 ×10 ³	5.7 ×10 ⁴				13 "
D 1 0 - 1 2	221	44.2			26.1	4.88			—	—	—	2.4 ×10 ³	1.5 ×10 ³	4.7 ×10 ³	3.2 ×10 ⁴	6.0 ×10 ³	6.0 ×10 ³	1.3 ×10 ³	2.6 ×10 ³	5.6 ×10 ⁴				15 "
D 1 1 - 1 2	219	44.4			26.6	4.89			—	—	—	2.9 ×10 ³	1.5 ×10 ³	6.3 ×10 ³	4.2 ×10 ⁴	5.8 ×10 ³	5.8 ×10 ³	1.3 ×10 ³	2.5 ×10 ³	6.8 ×10 ⁴				17 "
D 1 2 - 1 2	223	44.1			29.5	4.94			5.3	—	—	2.5 ×10 ³	1.5 ×10 ³	6.5 ×10 ³	4.4 ×10 ⁴	5.8 ×10 ³	5.8 ×10 ³	1.4 ×10 ³	2.7 ×10 ³	7.0 ×10 ⁴				19 "
D 1 3 - 1 2	223	44.9			31.2	4.80			—	—	—	2.6 ×10 ³	1.6 ×10 ³	4.4 ×10 ³	3.0 ×10 ⁴	6.0 ×10 ³	6.0 ×10 ³	1.3 ×10 ³	2.8 ×10 ³	5.4 ×10 ⁴				22 "
D 1 4 - 1 2	220	48.1			31.2	5.00			1.57	2.4	—	2.0 ×10 ³	1.5 ×10 ³	4.2 ×10 ³	2.9 ×10 ⁴	6.1 ×10 ³	6.1 ×10 ³	1.4 ×10 ³	2.7 ×10 ³	5.3 ×10 ⁴	3.4 μci/ml			25 "
プロット記号	●Aq	▲Aq	○Org	△Org					○	◐	■	△	⊗	■	□	▲	▲	◐	■					

表 4-2-5 溶解率算出方法

剪断片重量	①	720.0 g
小型溶解用剪断片重量 ※1	②	198.0 g
小型溶解用剪断片 酸化物重量	酸化物 ※2	147.0 g
	メタル ※3 ⑤	129.6 g
剪断粉末重量	酸化物 ※4	41.8 g
	メタル ※3	36.9 g
ハル+溶け残り重量	③	176.9 g
溶解燃料重量	酸化物 ①-③	543.1 g
	メタル ※3	478.7 g
計算初期値	④	566.6 g
溶解計算初期値	④-⑤	437.09 g
溶解率 ※5		109.5 %

※1 剪断片 24 片の重量

※2 実測値

$$\text{※3 } \text{Pu メタル量} = \text{酸化物重量} \times 0.27 \times \frac{239}{239 + 32}$$

$$\text{U メタル量} = \text{酸化物重量} \times 0.73 \times \frac{238}{238 + 32}$$

※4 剪断粉末全量が酸化物として計算

$$\text{※5 } \frac{\text{溶解メタル量}}{\text{溶解計算初期値}} \times 100 = \text{溶解率} (\%)$$

(单位：%)

表4-2-6 溶解率

時 間	U	P u	^{95}Zr	^{137}Cs	^{144}Ce	^{106}Ru	^{155}Eu	^{125}Sb
0	0	0	0	0	0	0	0	0
1	22.55	8.13	0	55.83	11.83	26.41	8.59	18.86
2	58.13	28.31	25.36	103.36	37.78	102.41	28.10	45.73
3	68.22	48.08	43.52	120.90	60.76	108.11	45.62	64.40
4	80.67	72.48	61.87	131.19	71.40	123.42	65.80	84.00
5	96.37	89.03	81.83	119.25	81.56	259.50	80.91	101.52
7	100.55	100.20	83.68	119.21	89.60	181.58	92.09	102.45
9	105.57	100.08	87.98	136.65	88.38	185.64	89.41	98.32
11	104.14	102.52	83.75	135.40	87.22	122.60	85.81	94.24
13	103.66	102.04	93.42	115.91	100.98	122.38	95.88	101.98
15	102.39	100.36	85.53	111.13	101.70	119.79	99.19	104.51
17	100.95	100.20	89.04	143.78	97.22	141.78	94.67	101.38
19	102.60	99.54	102.38	148.09	97.26	124.30	101.39	99.78
22	100.84	98.63	81.02	102.89	98.03	124.84	102.26	103.52
25	100.00	100.00	100.00	100.00	100.00	100.00	100.00	100.00
Total	384.62	78.11	191.02	51731.16	10506.21	3659.16	4668.20	2597.68
	g	g	mci	mci	mci	mci	mci	mci

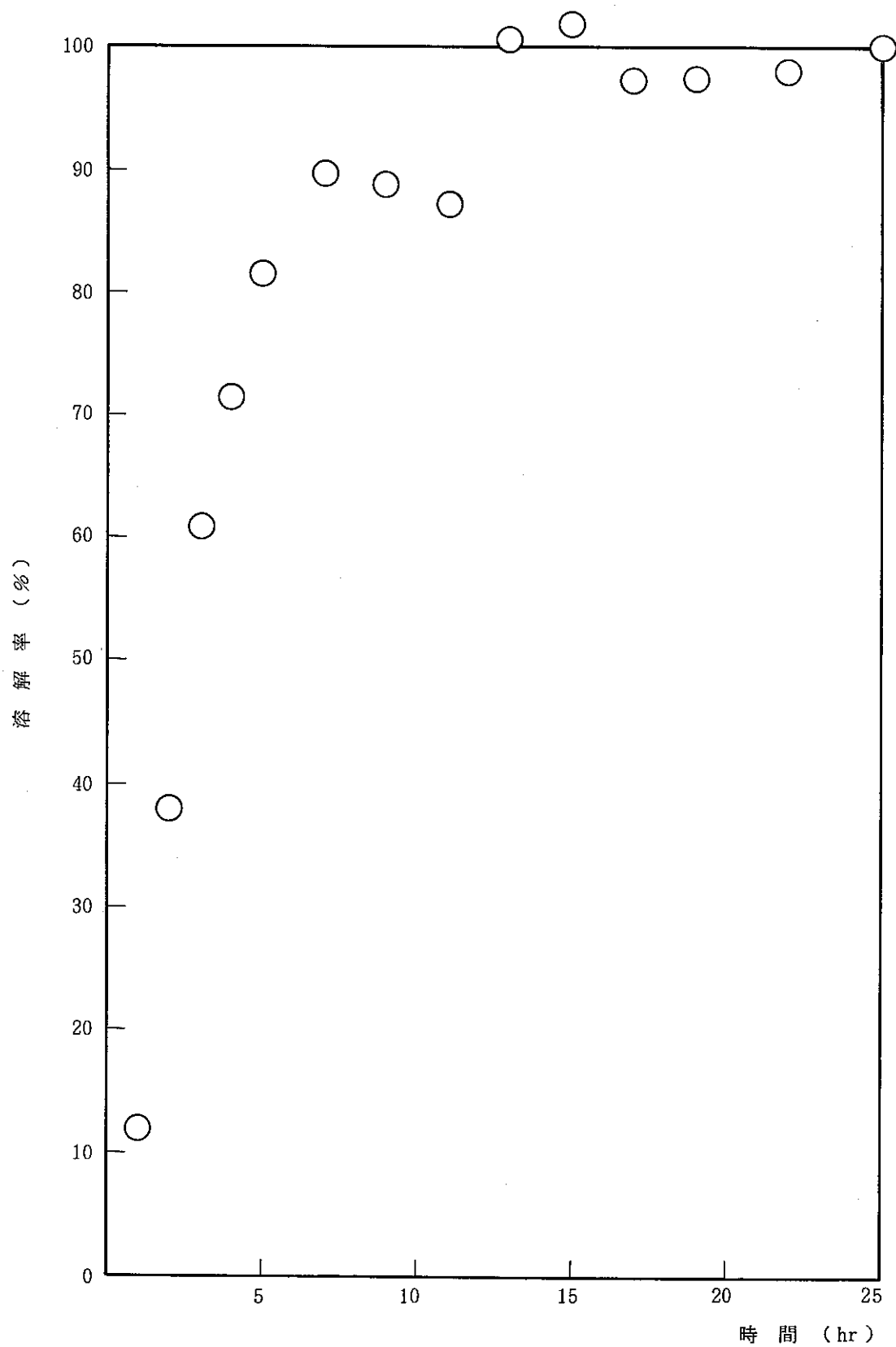


図 4-2-5 ^{144}Ce の溶解率

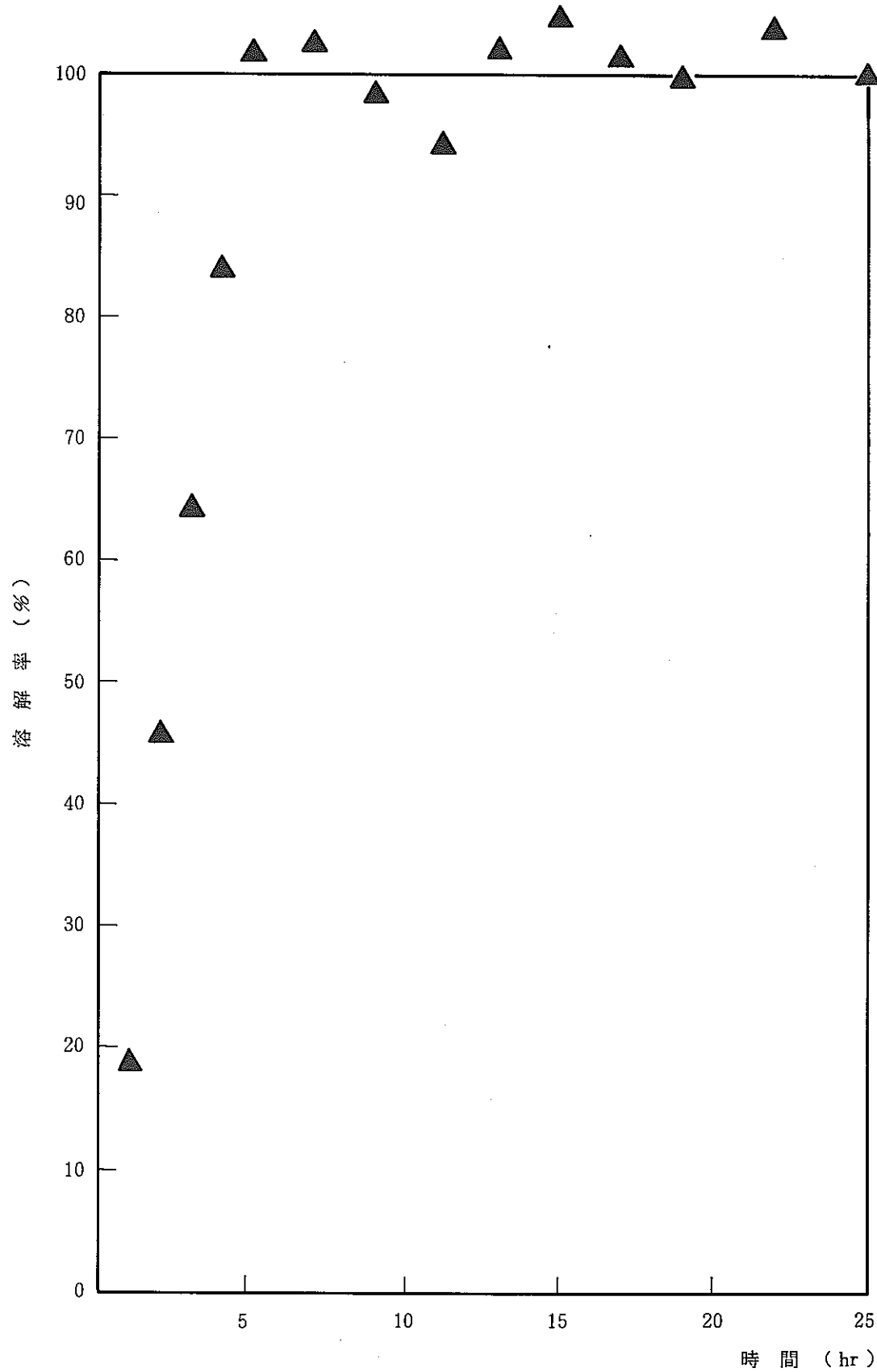


図 4-2-6 ^{125}Sb の溶解率

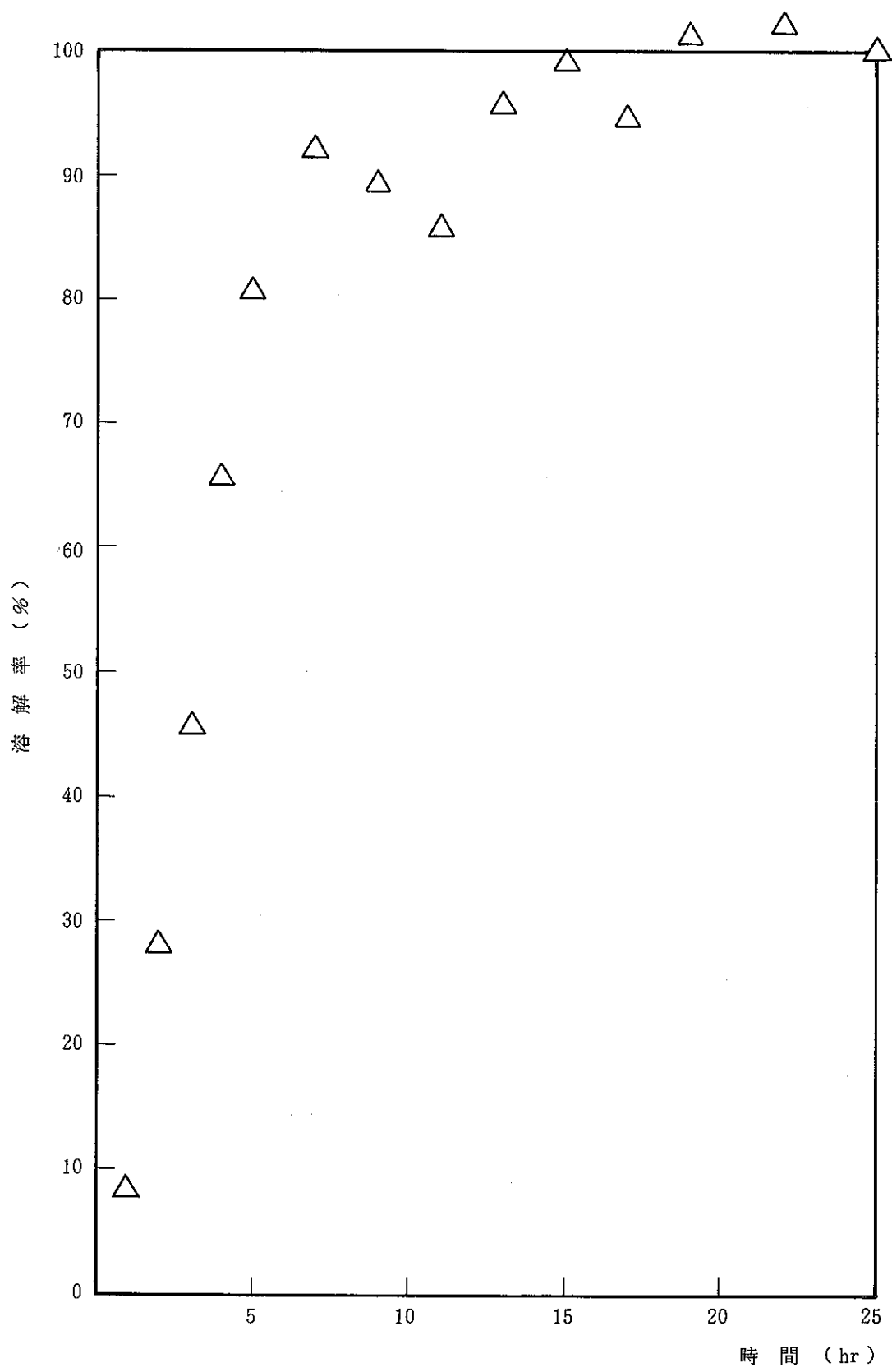


図 4-2-7 ^{155}Eu の溶解率

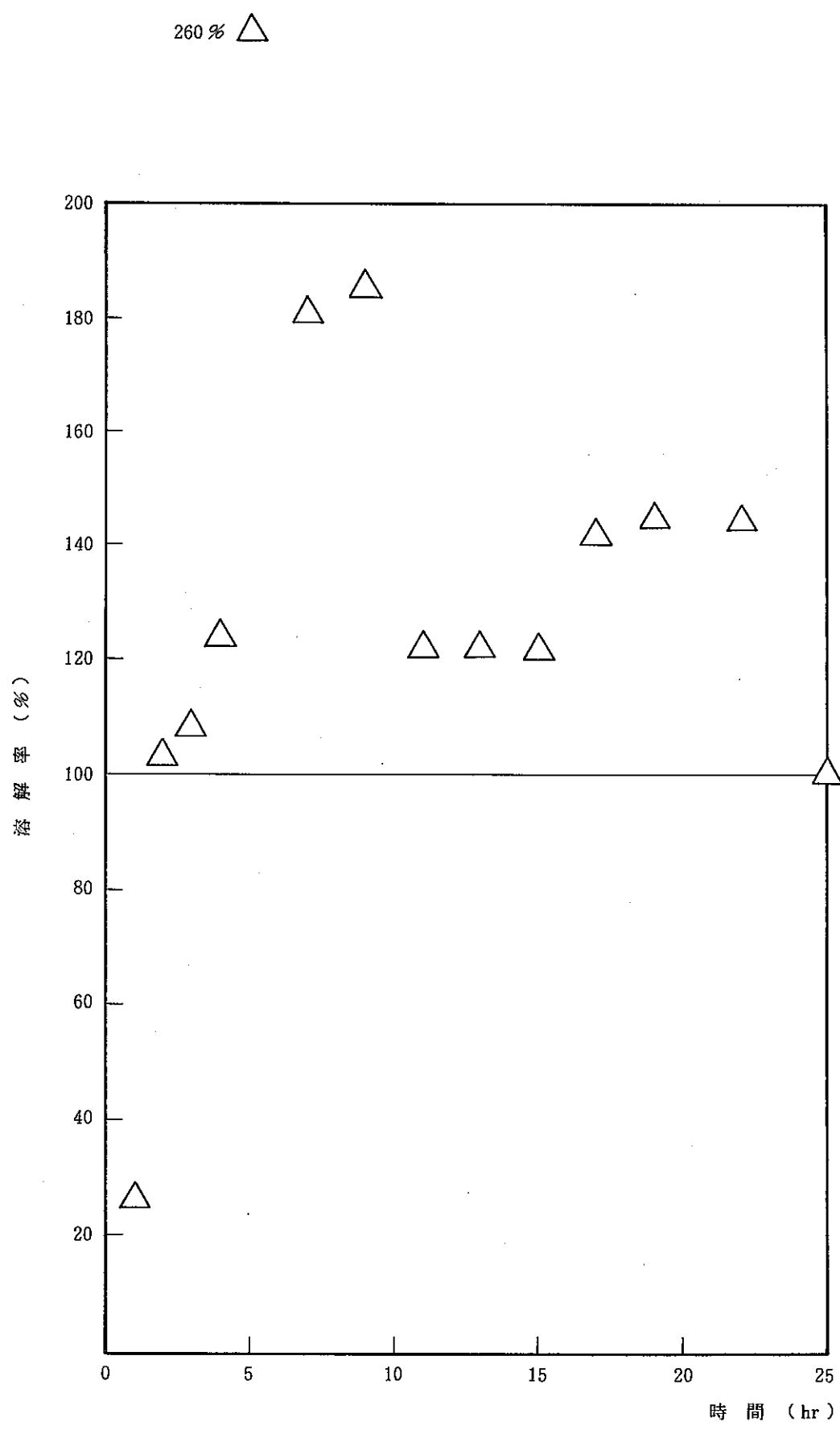


図 4 - 2 - 8 ^{106}Ru の溶解率

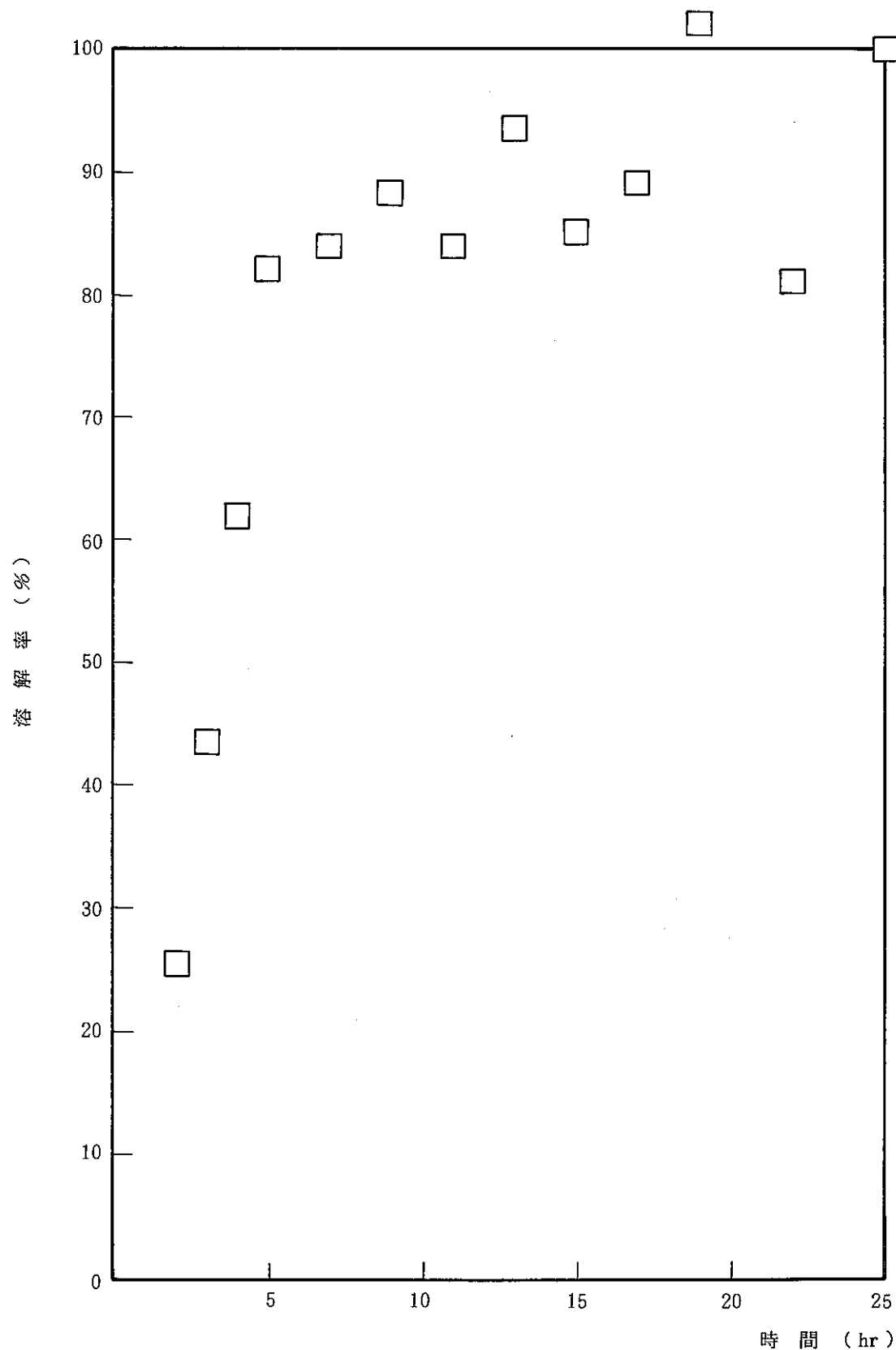


図 4 - 2 - 9 ^{95}Zr の溶解率

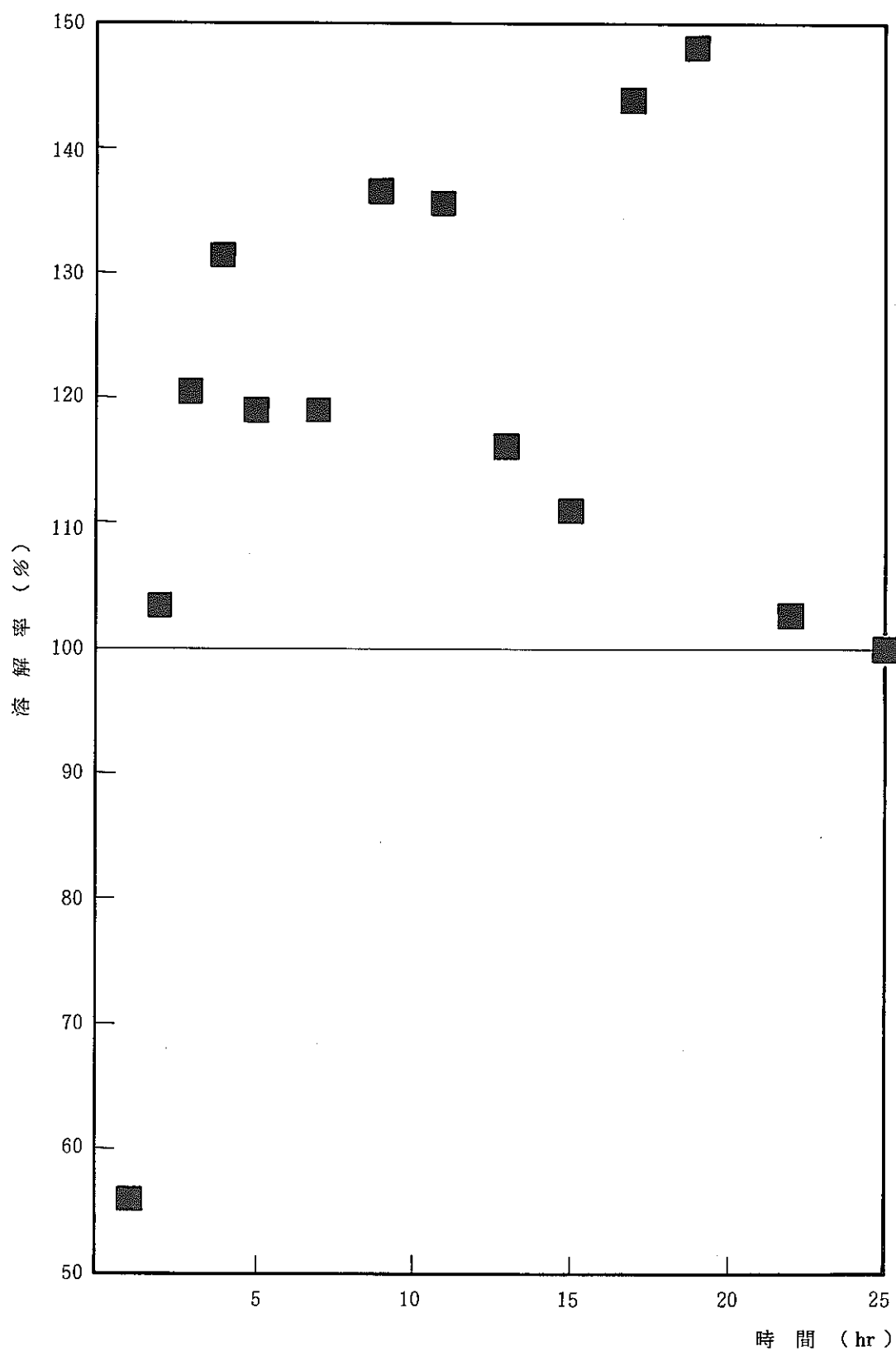


図 4-2-10 ^{137}Cs の溶解率

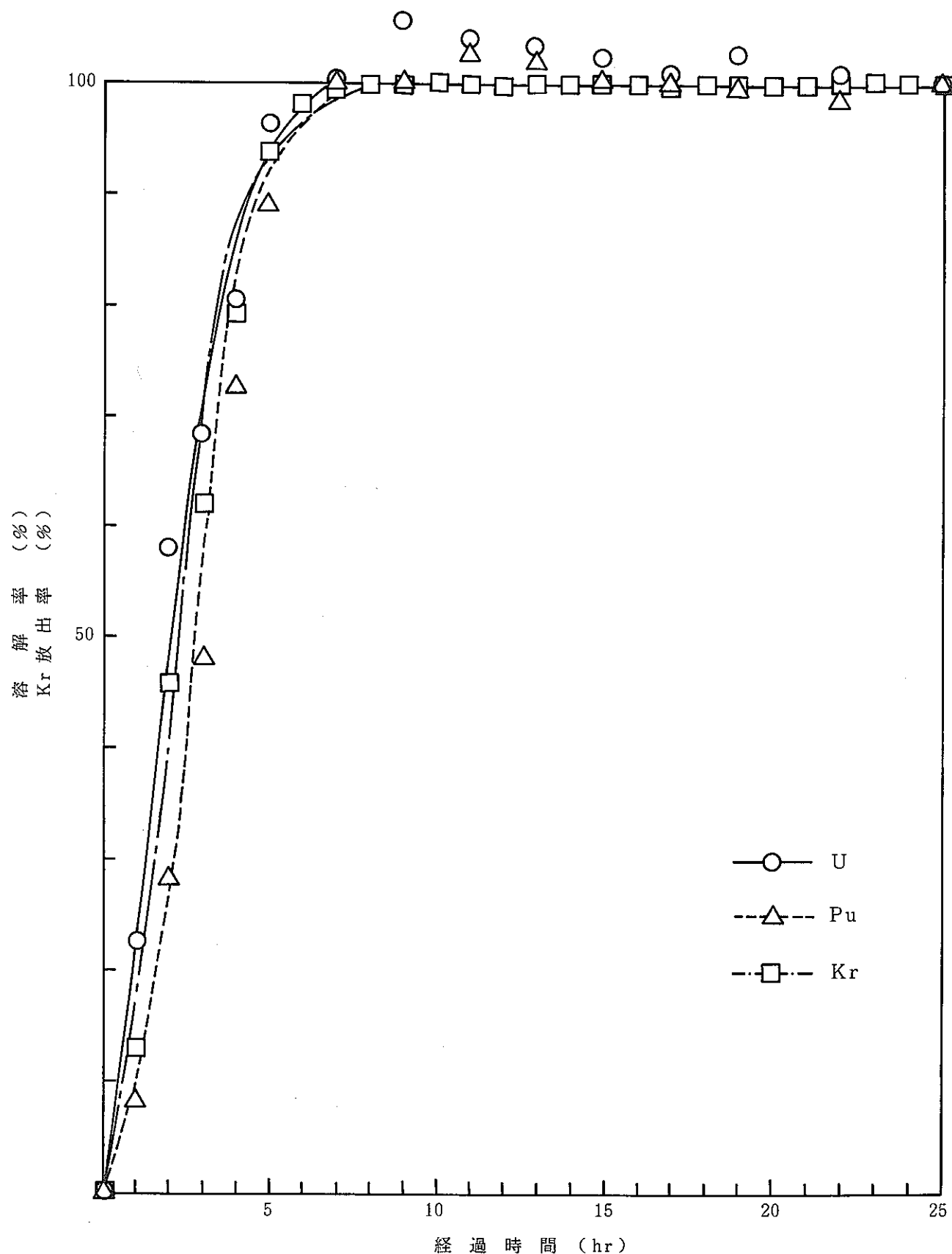


図 4-2-11 U, Pu の 溶 解 率

表 4-2-7 計算データ

液位計算		12 run							溶解率								
時間	密度(25°C)	密度(TEMP)	液位(20)	液量(TEMP)	液量(25°C)	温度	サンプル液量	溶解率	U	Pu	Zr	Cs	Ce	Ru	Bu	Sb	
0	1.1577056	1.15775229	33.613	1.4321403	3.14334080	24.95	0.018	0	0	0	0	0	0	0	0	0	
1	1.1894028	1.15816006	33.8	3.16152619	3.07848053	94.53	0.019	1	1.225.1495066	18.12883542	0.155.82884851	11.8312752	26.4108150	18.58604212	18.8637740	0	
2	1.25011928	1.21275243	32.712	9.2975053	2.84006362	102.89	0.016	2	1.58.1331568	28.3125367	25.3584722	103.363828	37.7775041	102.410704	28.10424961	45.7325123	1
3	1.2670284	1.22288967	32.812	9.01140772	2.81381604	103.12	0.019	3	1.58.1331568	48.0776156	43.52464585	120.899513	50.7623628	110.112355	45.6190590	64.3954337	2
4	1.3979488	1.35335116	25.3	2.03398104	1.96909257	105.55	0.01	4	1.41.6745842	72.4824950	61.8728571	131.1868898	71.4048672	123.4188899	65.8029237	83.9960442	3
5	1.4558572	1.40937032	24.511	8.9334480	1.83772289	104.79	0.018	5	1.56.3704817	89.0295412	81.2850418	119.119554209	259.498665	80.9058495	101.519718	101.519718	4
7	1.4742892	1.42717948	24.511	8.7741393	1.81742270	104.61	0.018	7	1.08.5472191	100.197784	83.6844571	119.212454	89.5926334	181.581731	92.0504855	102.454915	5
9	1.4970236	1.44881593	24.211	8.2848589	1.77057216	104.92	0.019	9	1.05.5695533	100.078480	87.9841123	136.656332	88.3837738	185.644861	89.4143057	98.3157043	6
11	1.4946288	1.44639637	23.711	7.9345569	1.73558384	105.12	0.018	11	1.11.1418991	102.521510	83.7468108	135.3692731	87.2197623	122.660784	85.2095419	94.239736	7
13	1.4921556	1.44396814	23.311	7.6507837	1.70807720	105.21	0.019	13	1.03.6575534	102.042355	93.4194999	115.9124421	100.984211	112.376257	95.8793621	101.380633	8
15	1.4951936	1.44679994	22.611	7.0786762	1.65259053	105.35	0.018	15	1.02.391759	100.358560	85.5330311	111.134596	101.703526	119.786732	99.1880952	104.508439	9
17	1.4932076	1.44394320	22.211	6.7978314	1.62436318	106.93	0.018	17	1.00.950076	100.200362	89.0384202	143.778649	97.2222382	141.784673	94.6728418	101.377492	10
19	1.4992288	1.44594845	22.111	6.56868909	1.60372466	107.21	0.02	19	1.09.602282	99.5404789	102.377308	148.089410	97.2842632	124.295059	101.386314	93.778227	11
22	1.495884	1.44607584	21.311	6.0792587	1.55438707	107.65	0.019	22	1.00.843420	98.6334402	81.0212245	102.88934598	98.0290716	124.842770	102.255605	103.519659	12
25	1.49824	1.44825594	21	1.58263777	1.52938305	107.78	0.031	25	100	100	100	100	100	100	100	100	13
		Total							384.617971	78.1149423	191.016392	51731.1556	10506.2127	3659.15980	4668.29123	2597.68496	14

U,Pu,硝酸		12 run												
時間	U(g/l)	サンプル中	Total(g)	Pu(g/l)	サンプル中	Total(g)	硝酸(M)	硝酸(mol)	サンプル中	サンプル中	Uで消費	Puで消費	Total(mol)	
0	0	0	0	0	0	0	4.72	14.8365686	0.08496	14.9215286	0	0	14.9215266	
1	28	0.532	86.7294551	2.05	0.03895	6.34983510	4.5	13.8531624	0.17046	14.0236224	0.97175880	0.10627339	15.1015544	
2	78.1	1.24961223.590568	7.73	0.123681	22.1163217	4.16	11.8146546	0.23702	11.02156846	2.505216451	0.370147641	14.9204871	14.9204871	
3	92	1.7481262.406675	13.21	0.2508	37.5558017	3.89	10.9457444	0.31093	11.2566744	12.94006359	0.62854898	14.8252869	14.8252869	
4	155	1.551310.288949	28.41	0.284	56.6196592	5.08	10.02995	0.36173	10.3647202	3.47662688	0.94760935	14.7883565	14.7883565	
5	197	3.5461370.658192	37.11	0.6678	16.9.5449719	4.87	18.94973971	0.449399	19.39912971	4.15303261	1.1699258	14.7160952	14.7160952	
7	206	3.7081386.722677	41.9	0.7542	78.2694413	4.91	18.92354548	0.53777	19.46131548	4.33302719	1.30994880	15.1042914	15.1042914	
9	220	4.181406.039477	42.5	0.8075	78.17627471	5.07	18.97680889	0.63419	19.6109089	4.54946192	1.30838907	15.4687518	15.4687518	
11	219	3.942400.548461	44	0.792	80.0846191	4.95	18.60849586	0.72338	19.33187586	4.48793794	1.34032835	15.1601421	15.1601421	
13	219	4.1611398.685507	44	0.836	79.7103268	4.87	18.31833597	0.81591	19.13424597	4.46706450	1.33406404	14.9353745	14.9353745	
15	221	3.9781393.817107	44.21	0.7956	78.3950315	4.88	18.06464180	0.903751	18.96839180	4.41251661	1.31205073	14.6929591	14.6929591	
17	219	3.942400.272136	44.41	0.7992	78.2714552	4.89	17.9431595	0.99177	18.93490595	4.35038808	1.3099251	14.5952765	14.5952765	
19	223	4.461394.627200	44.11	0.8821	77.7559877	4.94	17.92239985	1.09057	19.01269854	4.42159328	1.30135544	14.7359185	14.7359185	
22	223	4.2371387.861918	44.51	0.8455	77.0474550	4.8	17.46105797	1.18177	18.64282797	4.34579180	1.28949715	14.2781169	14.2781169	
25	220	6.82384.617971	45	1.395	78.1149423	51	17.64919126	1.33677	18.98596026	4.30944506	1.30736305	14.6027683	14	

FP		12 run																
時間	Zr濃度	サンプル(mCi)	Zr-95(mCi)	Cs濃度	サンプル(mCi)	Cs137(mCi)	Ce濃度	サンプル(mCi)	Ce144(mCi)	Ru濃度	サンプル(mCi)	Ru106(mCi)	Bu濃度	サンプル(mCi)	Bu155(mCi)	Sb濃度	サンプル(mCi)	Sb125(mCi)
0	0	0	0	0	0	0	0	0	0	0	0	0	0	0	0	0	0	0
1	0	0	0	9324	177.156	28880.9085	401.3	7.6347	1243.01894	312	5.928	966.413928	129.4	2.45861	400.813981	158.21	3.00531	490.021421
2	16.961	0.271361	48.4388389	18660	298.56	53471.3031	1387	22.192	3969.98494	1310	20.961	3747.371341	458.5	7.336	131.96376	414.91	6.63841	1187.986
3	29.251	0.55575183	1312292	21910	416.29	62542.7154	2243	42.017	6383.82308	1387	26.353	3956.00385	748.3	14.2177	2129.59084	537.11	11.15491	1672.79149
4	59.31	0.593118.187299	338401	338.41	67854.4988	3754	37.54	5751.94723	2255	22.551	4516.094761	1543	15.4	3071.81487	1092	10.921	2161.96819	
5	83.461	1.50228	156.299243	32580	586.44	61690.0533	4558	82.044	6568.38599	5076	91.368	9495.470861	2014	36.252	3776.85029	1464	25.272	2637.162
7	85.51	1.5391159.851031	32610	586.981	61669.9804	5024	90.432	3413.18137	3529	63.522	6644.36572	2301	41.418	4236.97194	1419	25.542	2661.45591	
9	91.421	1.73638	168.064077	38160	725.64	107693.8999	5031	95.589	91285.797281	36671	69.673	6793.04214	2267	43.073	4174.04240	1381	26.239	2553.93226
11	87.691	1.57842	159.970137	38150	686.71	70028.0896	5010	90.181	9163.49375	2387	42.965	4486.15863	2193	39.474	4005.76466	1334	24.012	2448.052
13	98.821	1.87758	178.440559	32510	617.69	59362.8458	5872	111.568	3639.61601	2394	45.486	4477.94231	2476	47.044	4475.87245	1457	27.683	2649.13558
15	92.02	1.65636	163.82110	31760	571.68	57401.2113	6049	108.382	10685.18828	2391	43.038	4383.18796	2524	47.232	4163.30285	1529	27.522	2714.80002
17	96.67	1.74006	170.077978	42240	760.321	74378.3567	5800	104.41	92124.3751	2396	52.128	5188.12777	2512	45.216	4149.52161	1489	26.802	2633.467
19	112.4	2.248	155.557442	43630	872.61	76608.3632	5805	115.1	10218.7903	2503	50.061	4548.15484	2706	54.121	4732.92024	1464	29.281	

表 4-2-8 溶解槽内の硝酸量

経過時間	液中硝酸量 (m o l)	サンプリング硝酸量 (m o l)	未反応硝酸量 (m o l)	U溶解消費量 (m o l)	Pu溶解消費量 (m o l)	トータル硝酸量 (m o l)
0	14.84	0.08	14.92	0	0	14.92
1	13.85	0.17	14.02	0.97	0.11	15.10
2	11.81	0.24	12.05	2.51	0.37	14.93
3	10.95	0.31	11.26	2.94	0.63	14.83
4	10.00	0.36	10.36	3.48	0.95	14.79
5	8.95	0.45	9.40	4.15	1.16	14.72
7	8.92	0.54	9.46	4.33	1.31	15.10
9	8.98	0.63	9.61	4.55	1.31	15.47
11	8.61	0.72	9.33	4.49	1.34	15.16
13	8.32	0.82	9.13	4.47	1.33	14.94
15	8.06	0.90	8.97	4.41	1.31	14.69
17	7.94	0.99	8.93	4.35	1.31	14.60
19	7.92	1.09	9.01	4.42	1.30	14.74
22	7.46	1.18	8.64	4.35	1.29	14.28
25	7.65	1.34	8.99	4.31	1.31	14.60

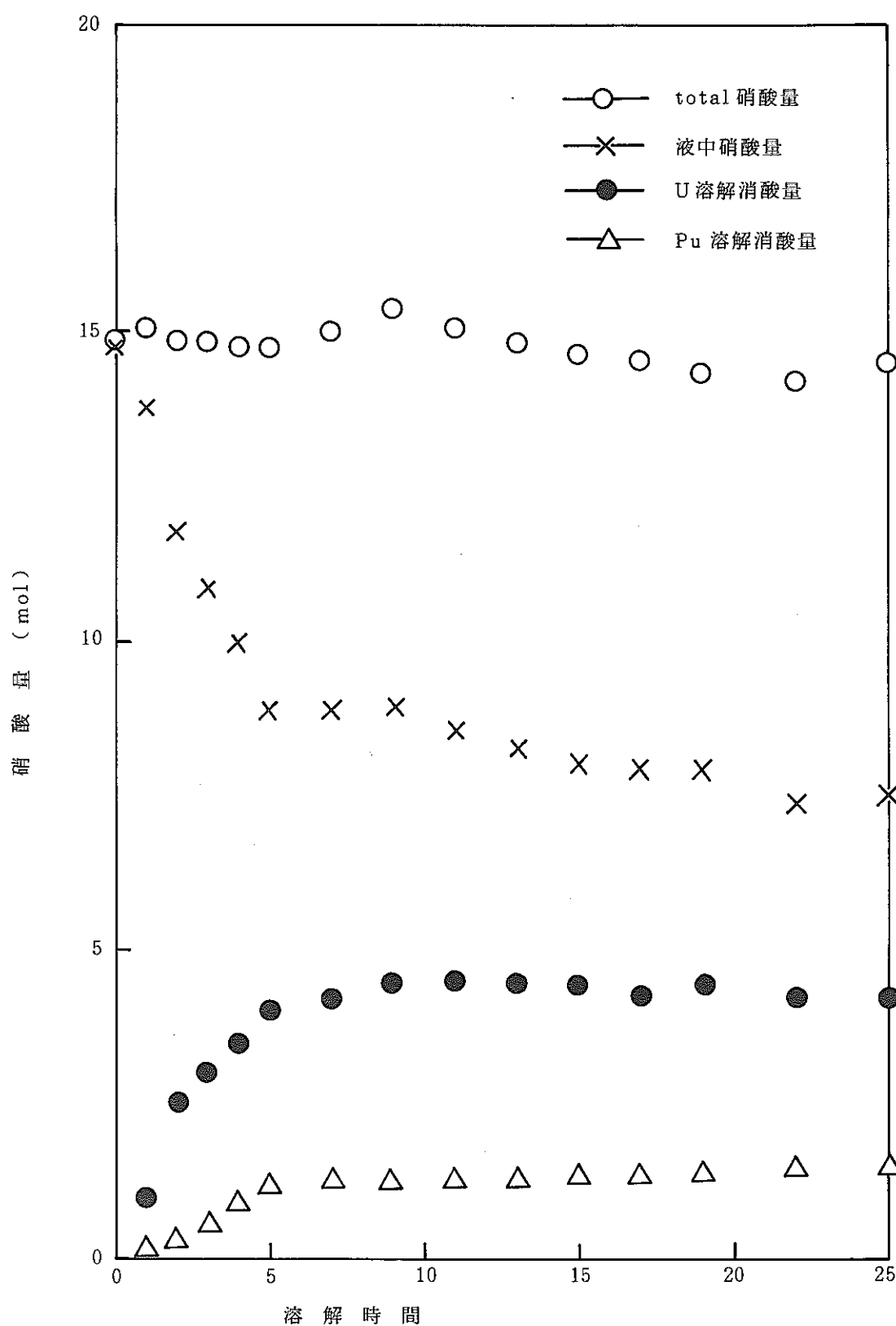


図 4-2-12 硝 酸 収 支

表 4 - 2 - 9 溶解液密度の変化

Variations of dissolver solution density

経過時間 (hr)	密 度 (g/cm ³)	
	計算値	実測値
0	1.158	1.149
1	1.158	1.111
2	1.213	1.149
3	1.229	1.159
4	1.353	1.275
5	1.409	1.348
7	1.427	1.370
9	1.449	1.374
11	1.446	1.372
13	1.444	1.376
15	1.447	1.390
17	1.444	1.373
19	1.450	1.370
22	1.446	1.350
25	1.448	1.343

※ 計算値はORIGIN値による

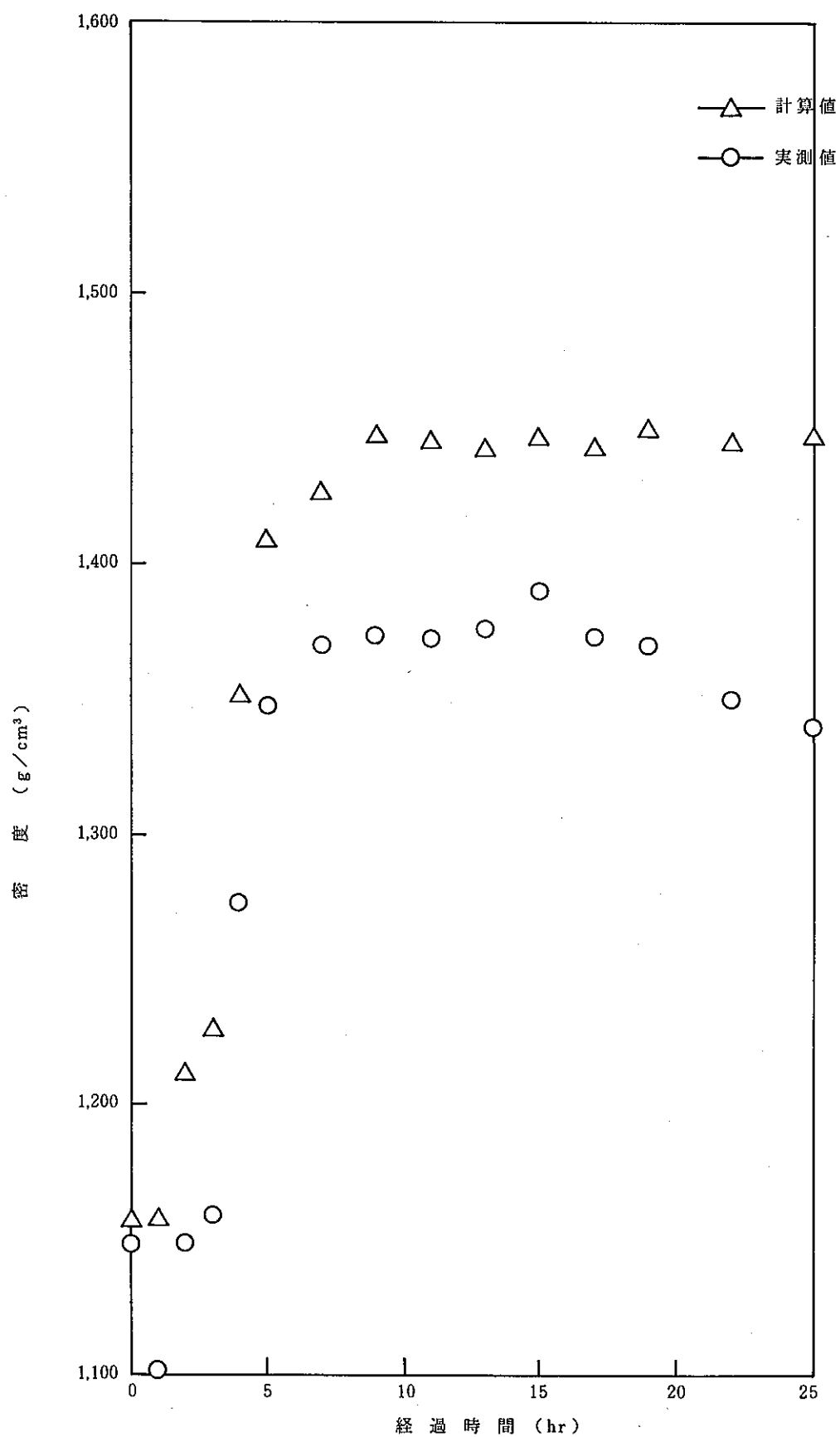


図4-2-13 溶解液中の液密度変化

表 4-2-10 溶解槽内のPu(VI)の量

Amounts of Pu(VI) valency in dissolver

経過時間 (hr)	Total Pu (g/l)	Pu ⁶⁺ (g/l)	Pu ⁶⁺ /Total Pu (%)
0	—	—	—
1	2.05	—	—
2	7.73	—	—
3	13.2	1.59	12.05
4	28.4	1.15	4.05
5	37.1	2.35	6.33
7	41.9	11.4	27.21
9	42.5	16.8	39.53
11	44.0	21.0	47.73
13	44.0	23.4	53.18
15	44.2	26.1	59.05
17	44.4	26.6	59.91
19	44.1	29.5	66.89
22	44.5	31.2	70.11
25	45.0	31.2	69.33

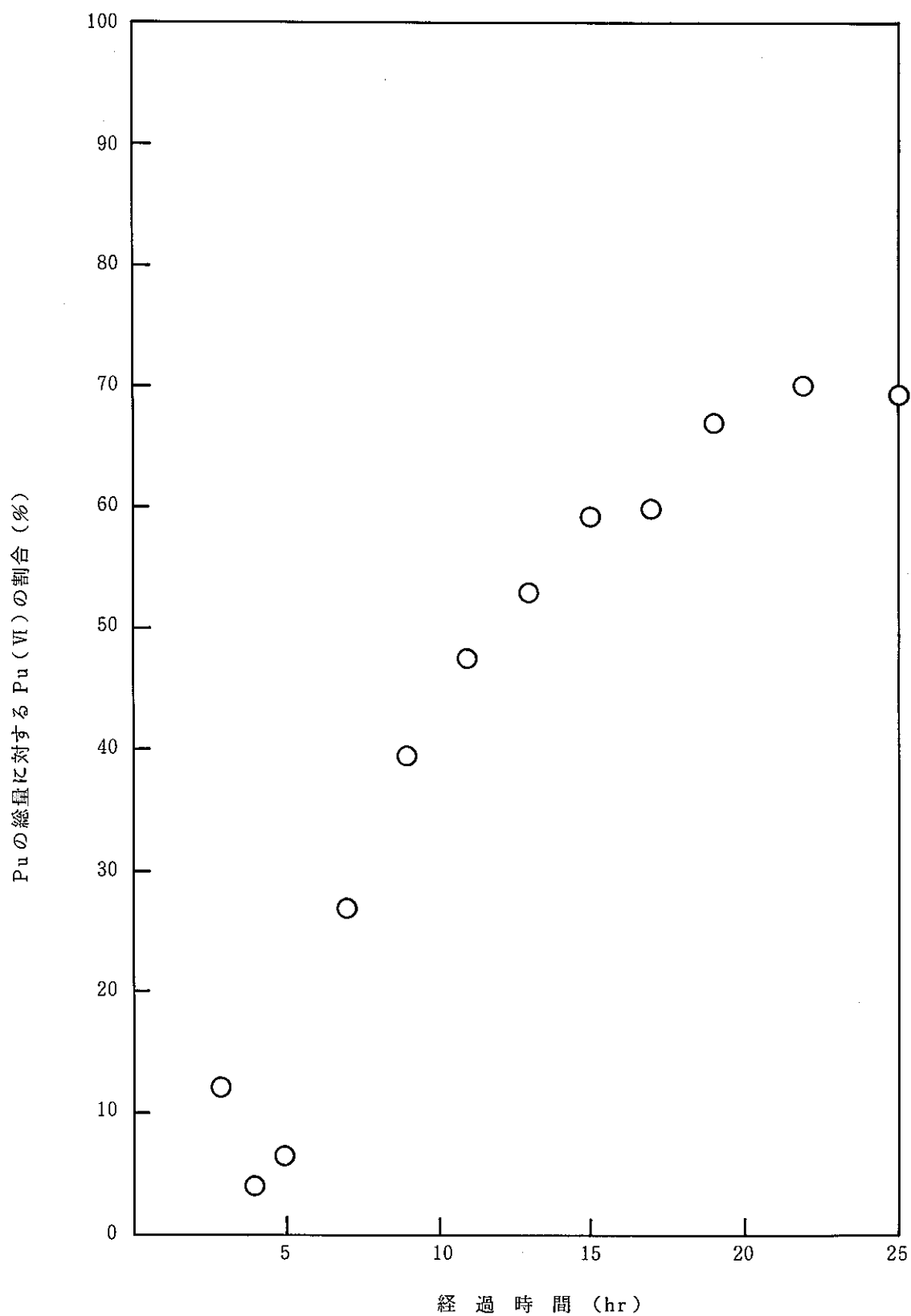


図4-2-14 溶解液中のPu(VI)の量

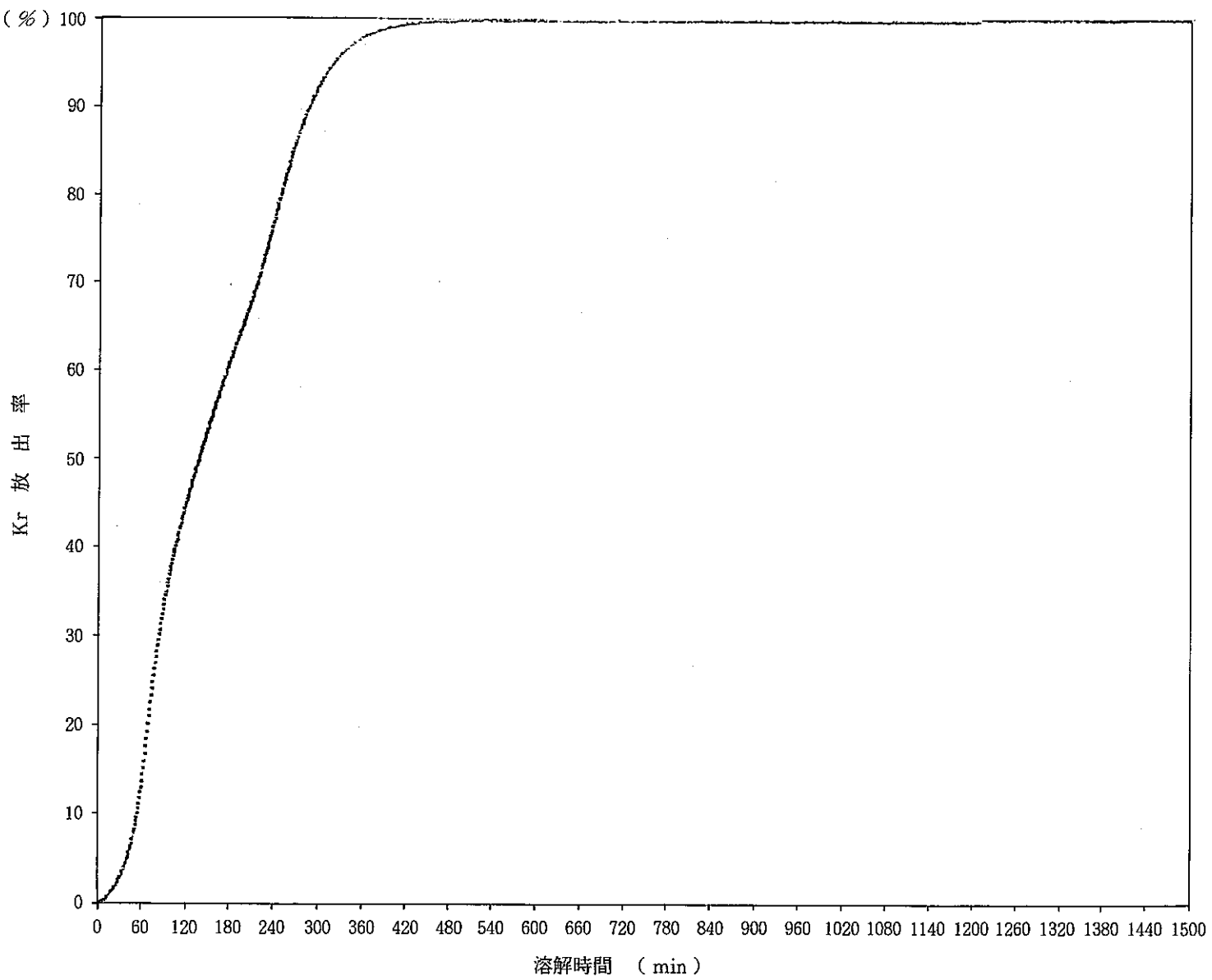


図4-2-15 ^{85}Kr の放出率

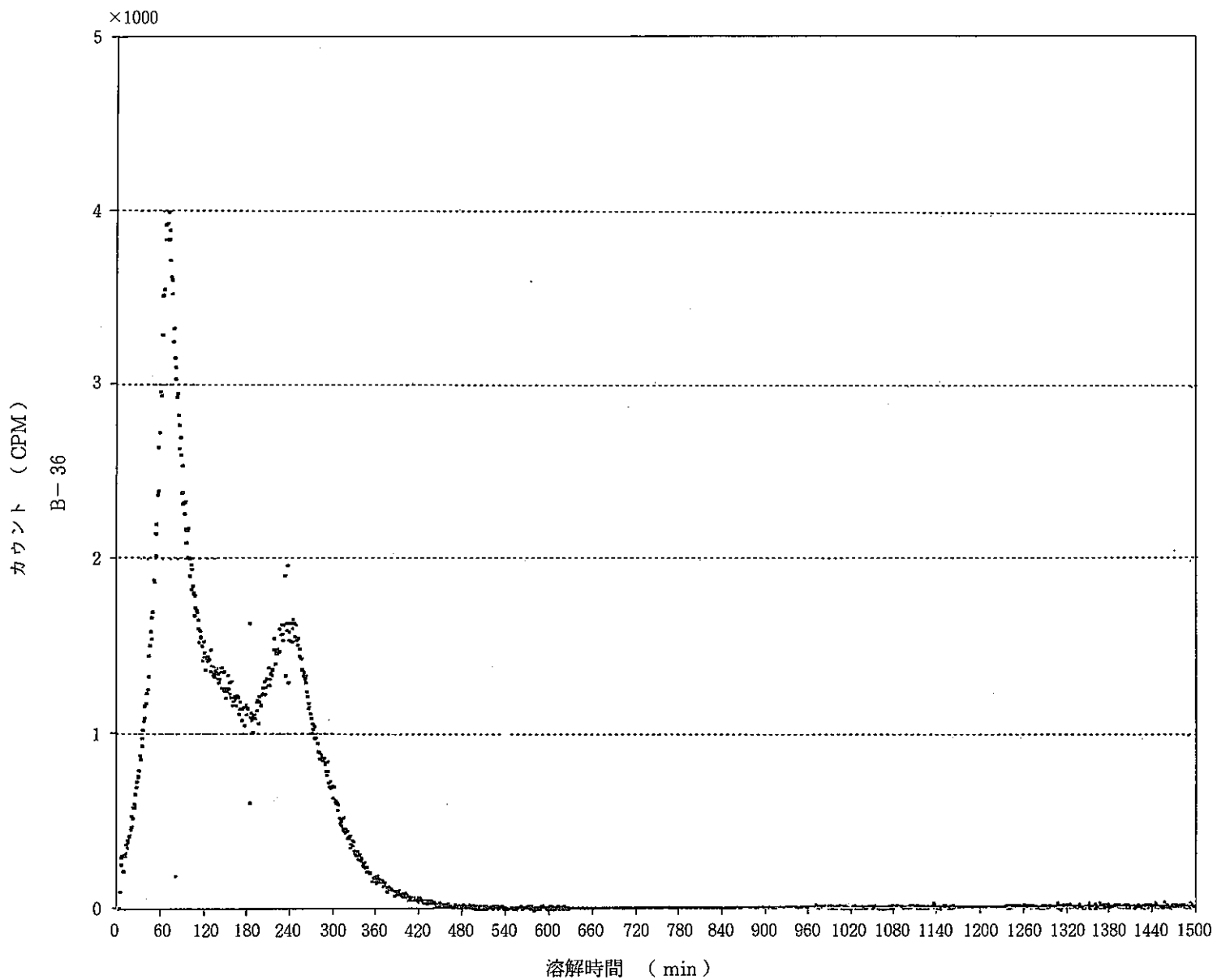


図4-2-16 ^{85}Kr の放 出 量

表 4-3-1 プレナム部浸漬試験条件

硝 酸 濃 度	3 m o l
硝 酸 液 量	3 0 0 m l
保 持 液 温	沸 点
浸 漬 時 間	約 4 時 間

表 4-3-2 分析結果一覽表

第12RUN プレナム浸漬工程 No.

プレナム浸漬工程

No.

表 4 - 4 - 1 小型溶解条件及び結果

ランNo	供 試 燃 料		初 期			溶解	攪拌	最 終			溶 解 速 度 (g / cm ² h)			
	燃焼度*	重量(g)	HNO ₃ mol	H.M g/l	液量 ml			温度 °C		HNO ₃ mol	H.M g/l	液量 ml	20~40% 溶解時	40~60% 溶解時
12-01	80.000	6.3	5.0	120	500	108	0	4.73	127	500		6.5	7.5	8.0
12-02	94.000	6.2	5.0	120	500	108	0	4.78	128	490		6.3	7.6	6.4
12-03	108.000	5.7	5.0	120	500	108	0	4.78	124	480		6.5	8.8	6.9
12-05	108.000	5.3	7.0	0	1000	110	0	6.98	4.1	1000		10.6	13.5	10.2
12-06	108.000	5.9	5.09	0	1000	107	0	4.93	4.4	1000		7.5	8.6	7.8
12-27	108.000	5.3	5.09	0	500	106	**	5.21	7.0	460		11.5	11.0	6.2
12-28	108.000	6.0	5.09	0	500	105	***	5.48	9.9	440		7.9	10.8	8.1
12-31	94.000	6.4	5.0	1278	500	104	0	5.24	138	470		7.9	8.5	8.0
12-32	108.000	6.0	4.85	2678	500	106	0	5.07	288	450		5.0	5.7	4.8
12-33	94.000	6.1	4.85	1266	500	95	0	4.96	143	495		7.3	7.4	5.7
12-34	80.000	6.1	4.91	1242	500	93	0	4.91	152	470		3.6	4.0	4.1
12-21	80.000	6.4	5.09	0	100	102	200	4.37	53	100		6.1	6.5	4.8
12-22	94.000	6.3	5.09	0	100	103	200	4.58	51	100		4.7	5.9	4.9
12-24	108.000		3.0	0	100	103	0							
12-25	108.000	5.5	7.0	0	100	105	200	7.24	51	90		14.7	11.8	8.2
12-29	プランケ	5.4	5.09	0	100	102	200	4.78	50	95		16.9	16.0	11.2

** Stirrer (Low rpm)
 *** Stirrer (High rpm)

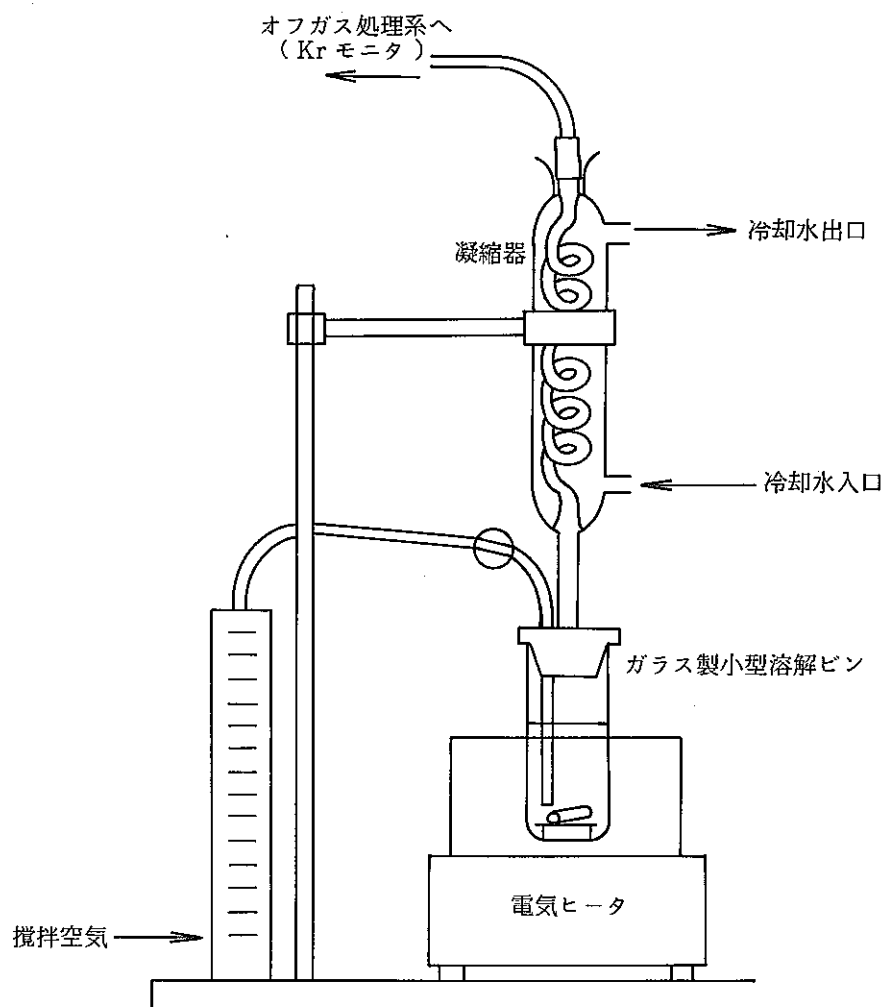
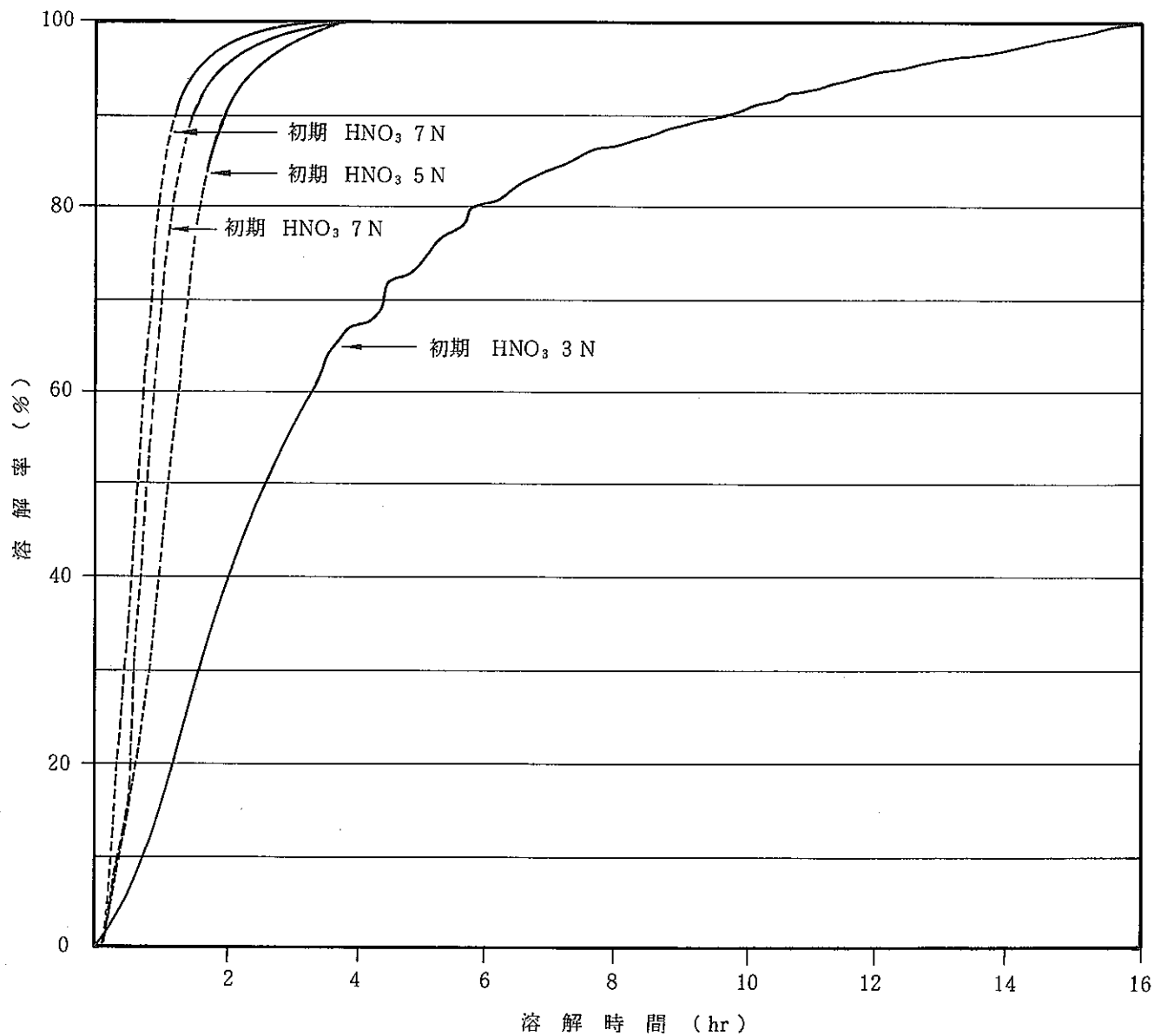


図 4-4-1 小型溶解試験装置概略図



溶解条件；燃焼度 108,000 MWd/t, 溶解温度 約 105 °C

図 4-4-2 酸濃度の影響

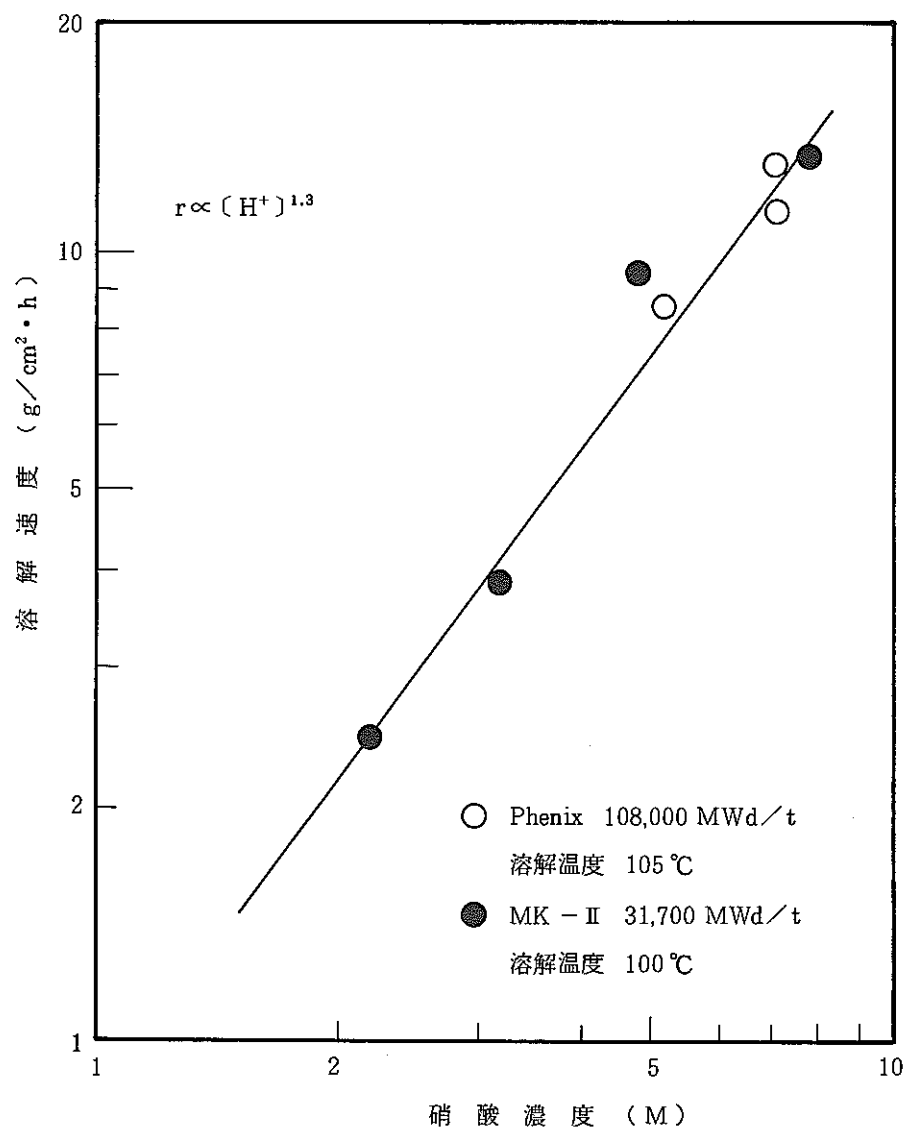
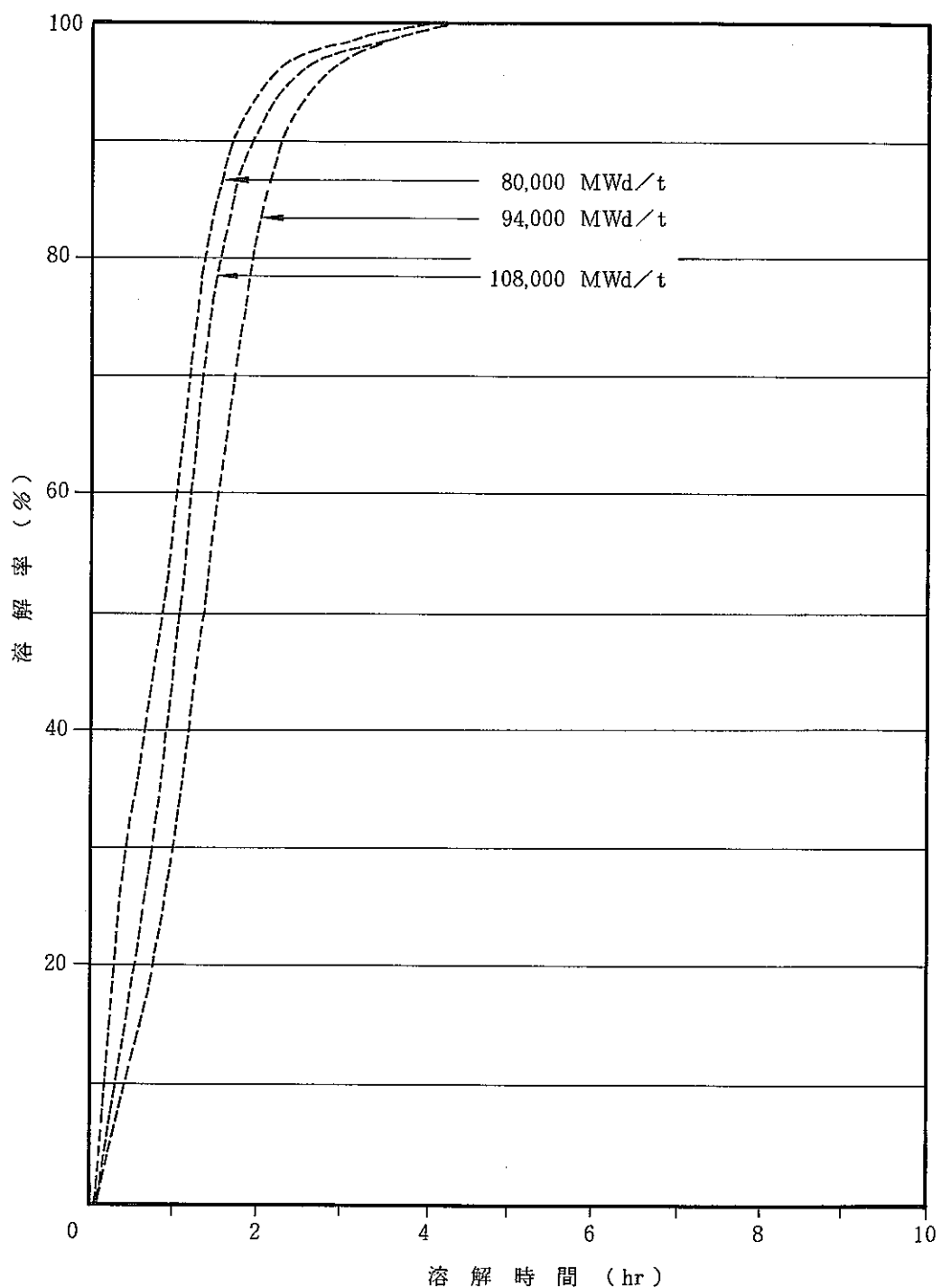


図 4-4-3 溶解速度 VS 硝酸濃度



溶解条件；初期酸濃度 5 N, 初期メタル濃度 120 g/ℓ

溶解温度 108 ℃

図4-4-4 燃焼度の影響(その1)

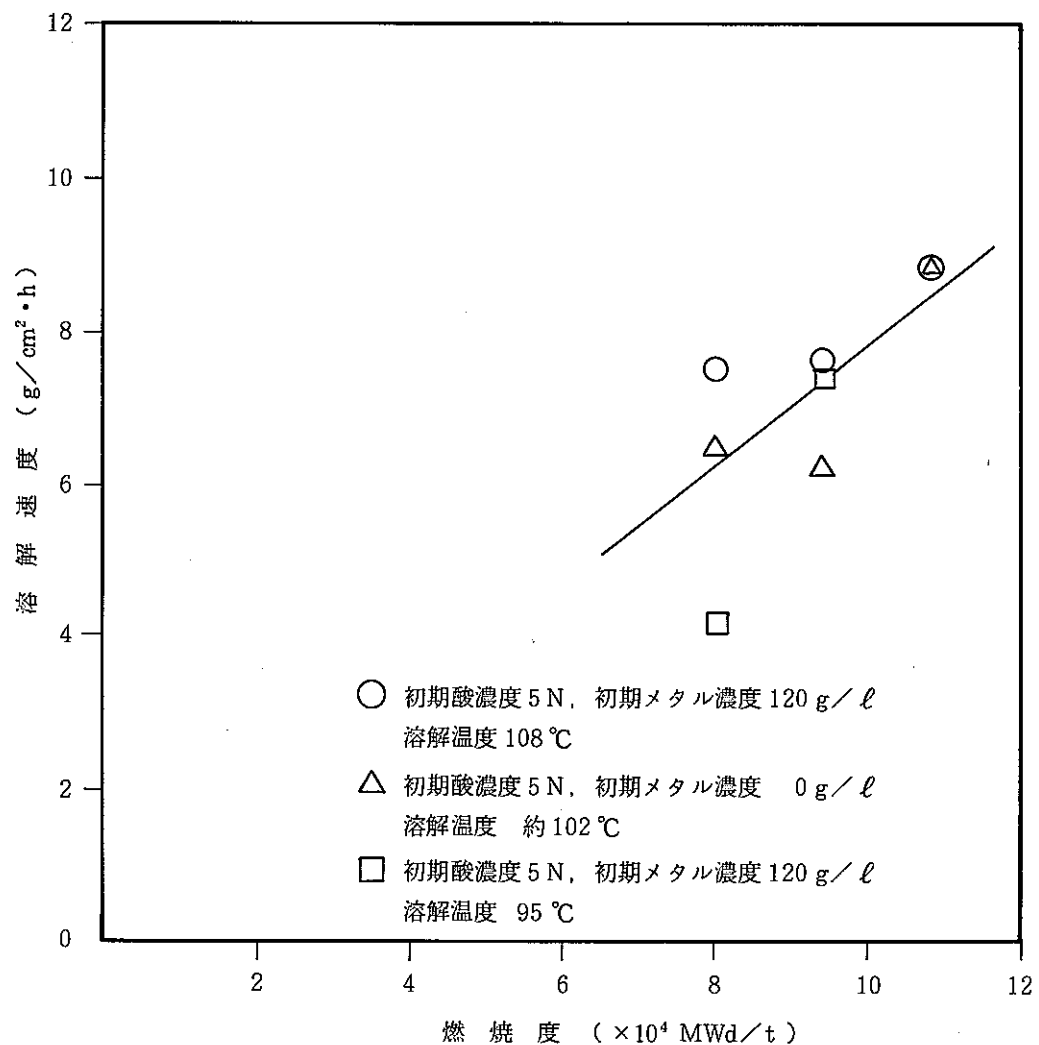
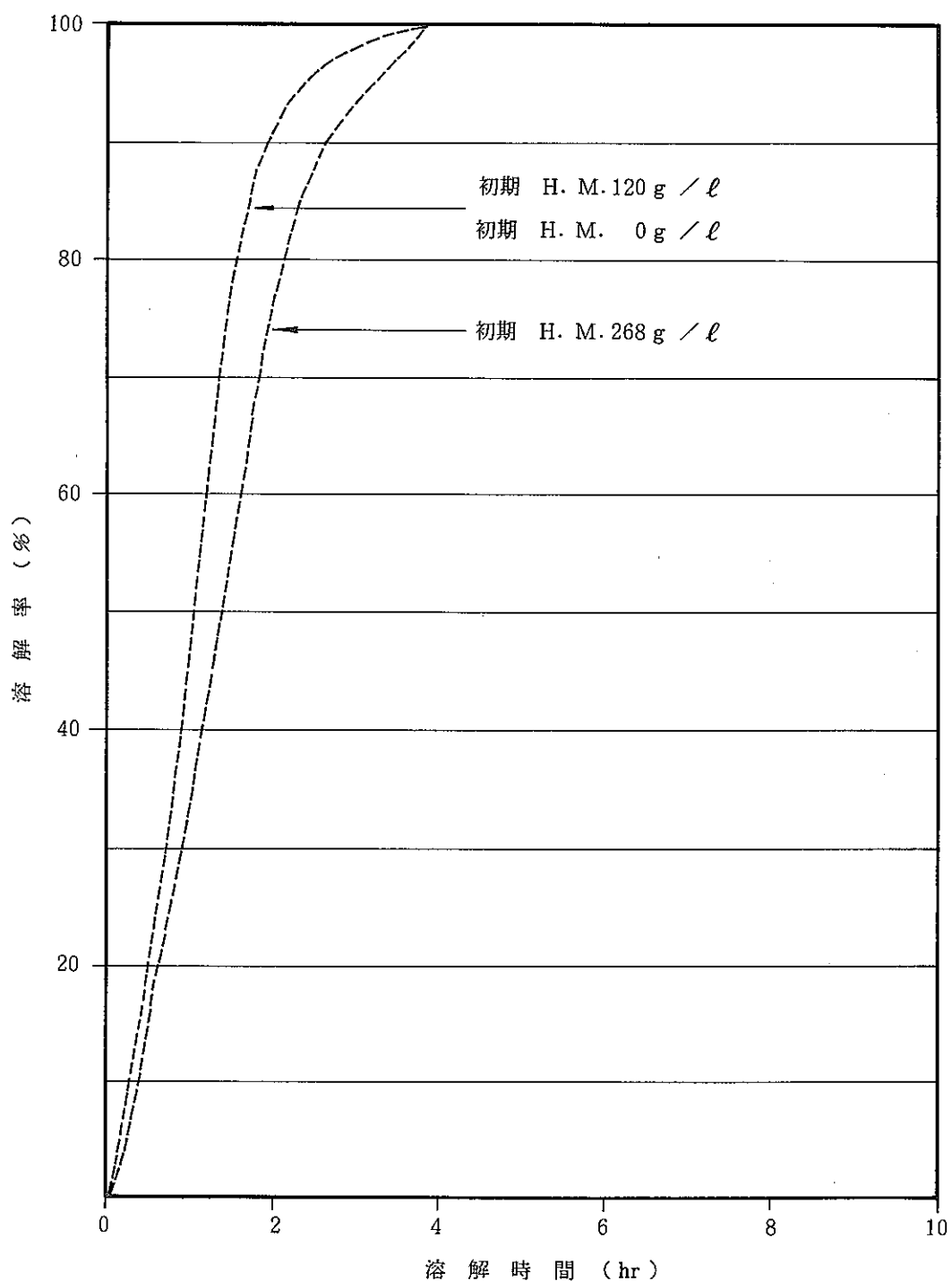


図 4-4-5 溶解速度 VS 燃焼度



溶解条件：燃焼度 108,000 MWd/t, 初期酸濃度 5 N

溶解温度 107 °C

図 4-4-6 H. M. 濃度の影響

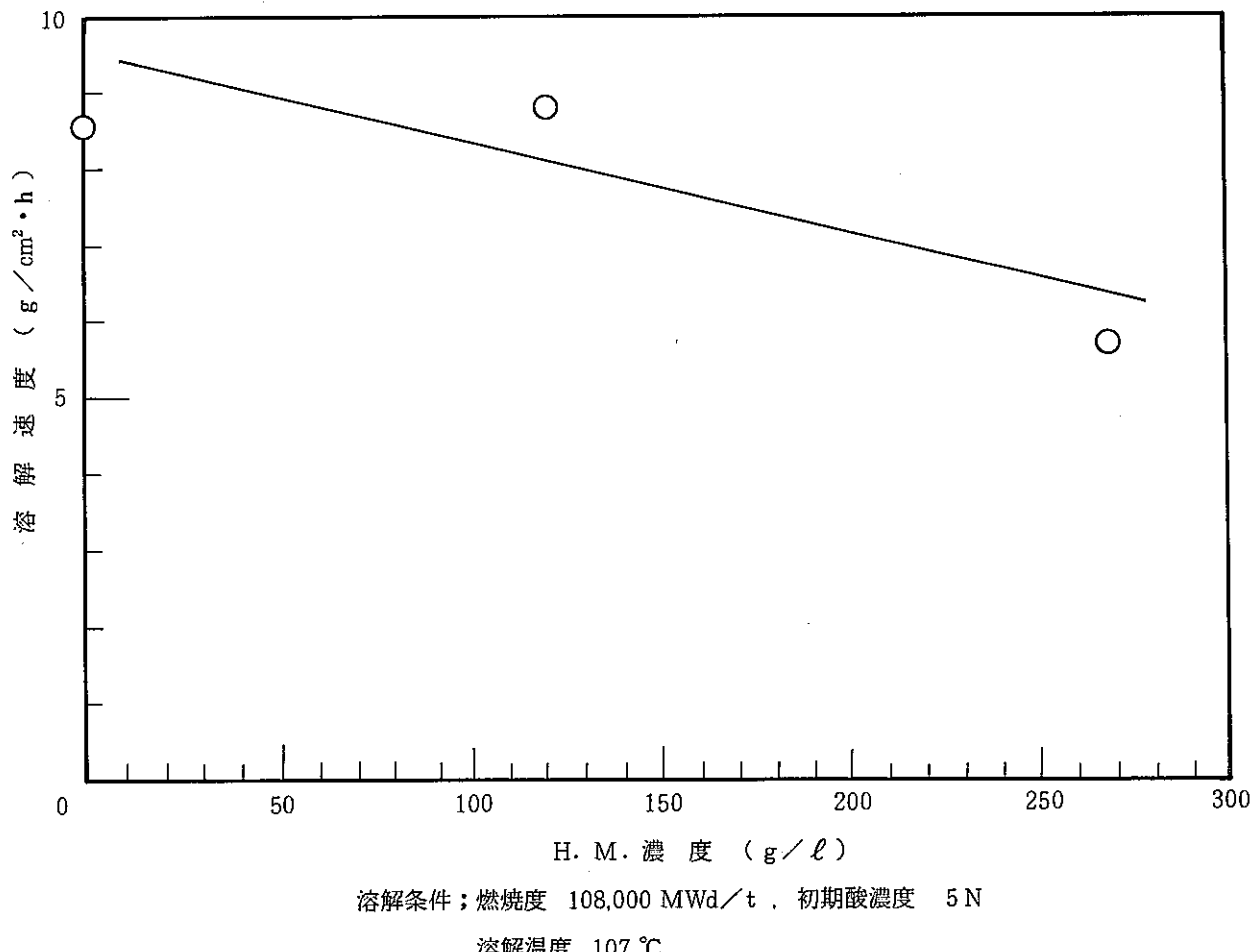
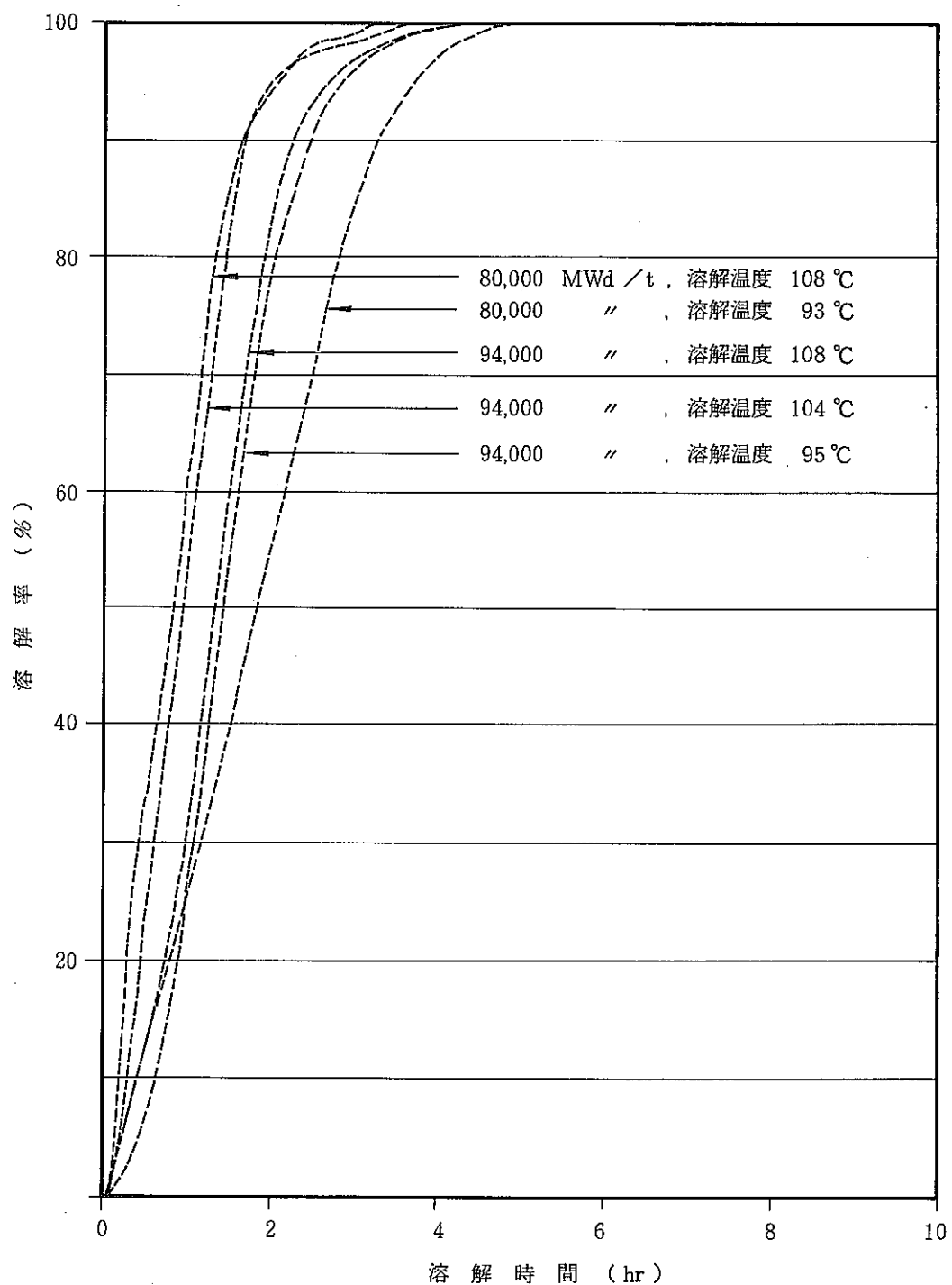


図 4-4-7 溶解速度 VS H, M, 濃度



溶解条件：初期酸濃度 5 N, 初期メタル濃度 120 g/l

図 4-4-8 温度の影響

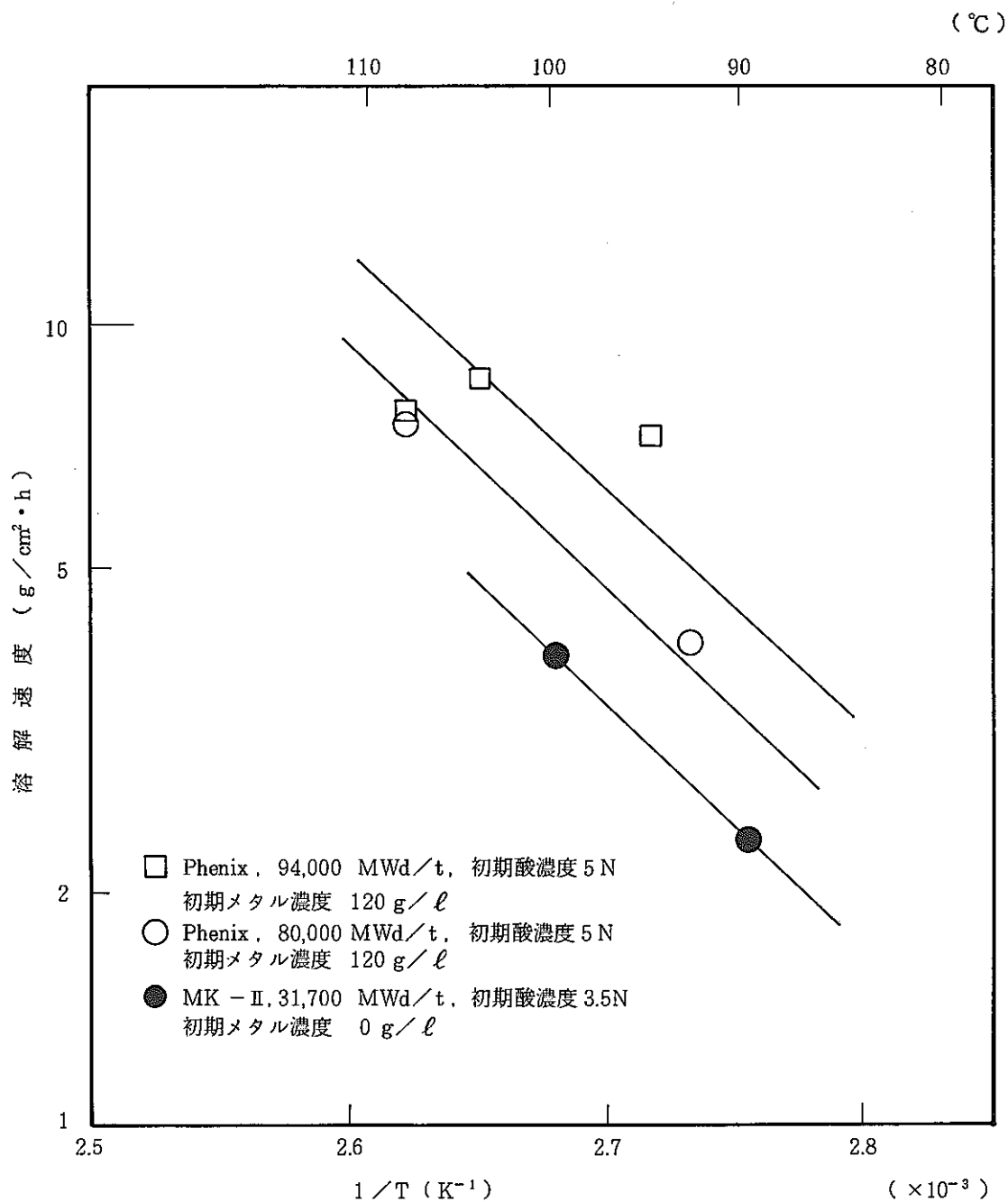


図 4-4-9 溶解速度 VS 温度
(50 % 溶解時)

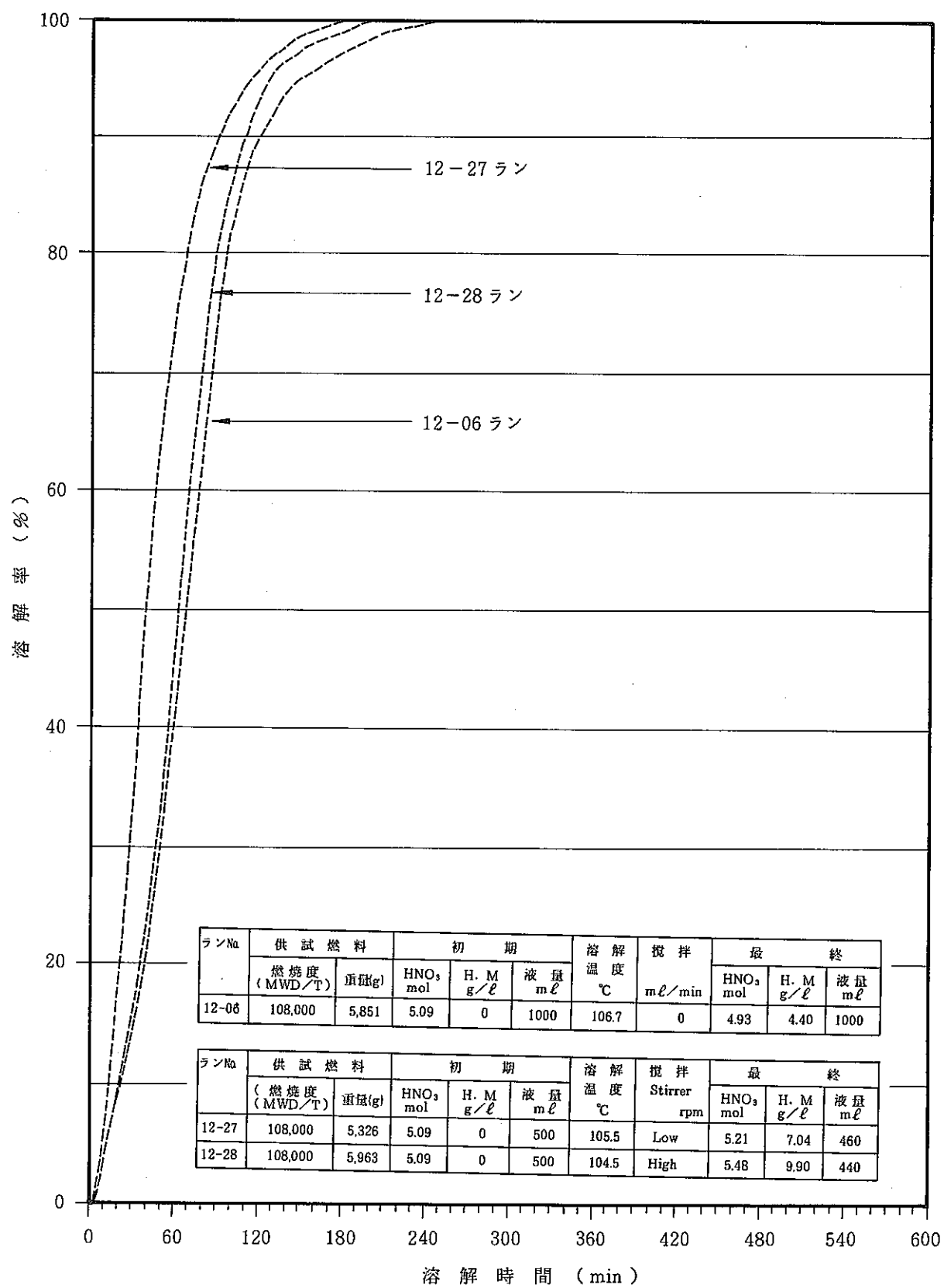
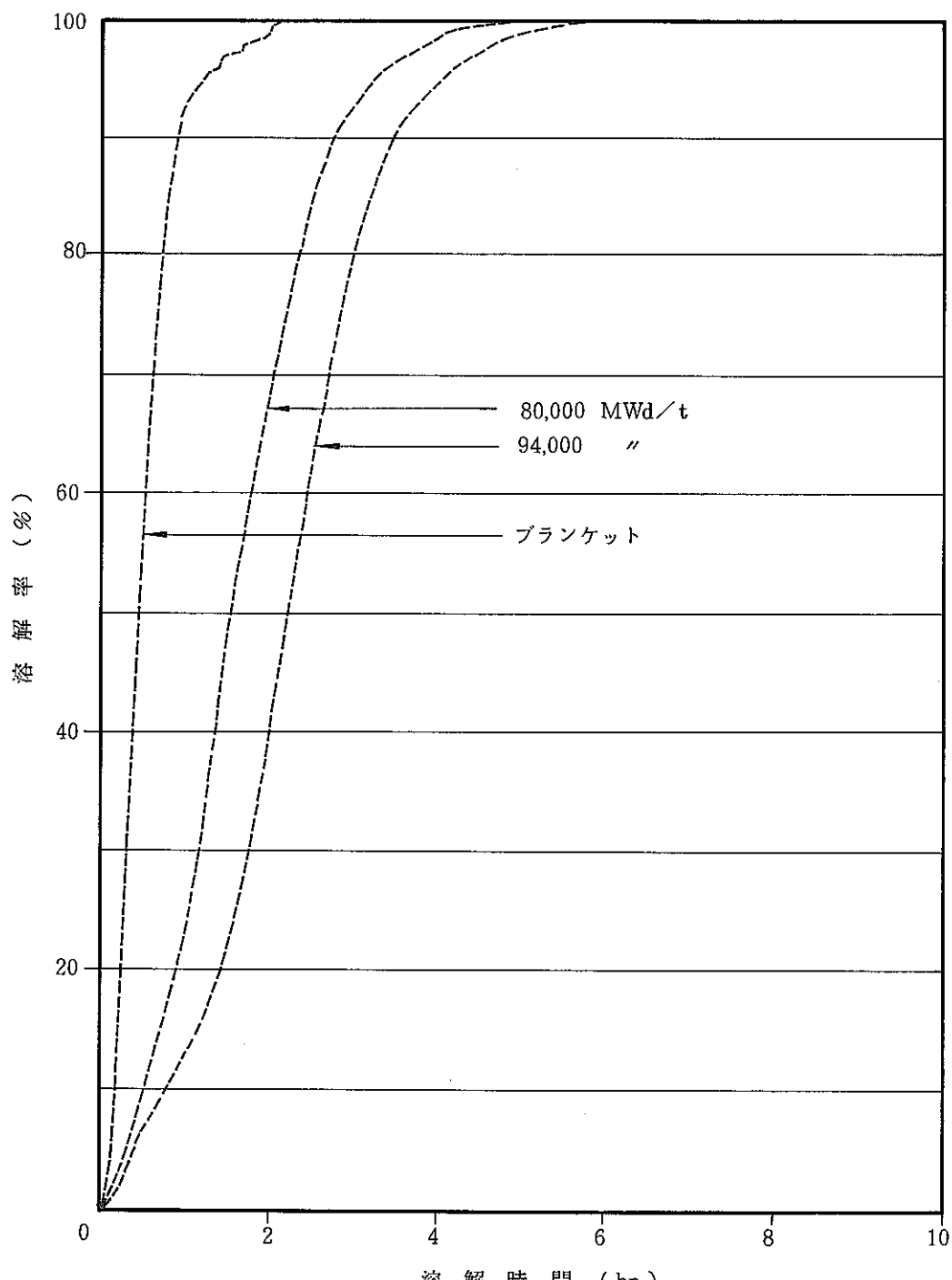


図 4-4-10 搅拌による影響



溶解条件：初期酸濃度 5 N, 初期メタル濃度 0 g/ℓ

溶解温度 102 °C

図 4-4-11 燃焼度の影響(その2)

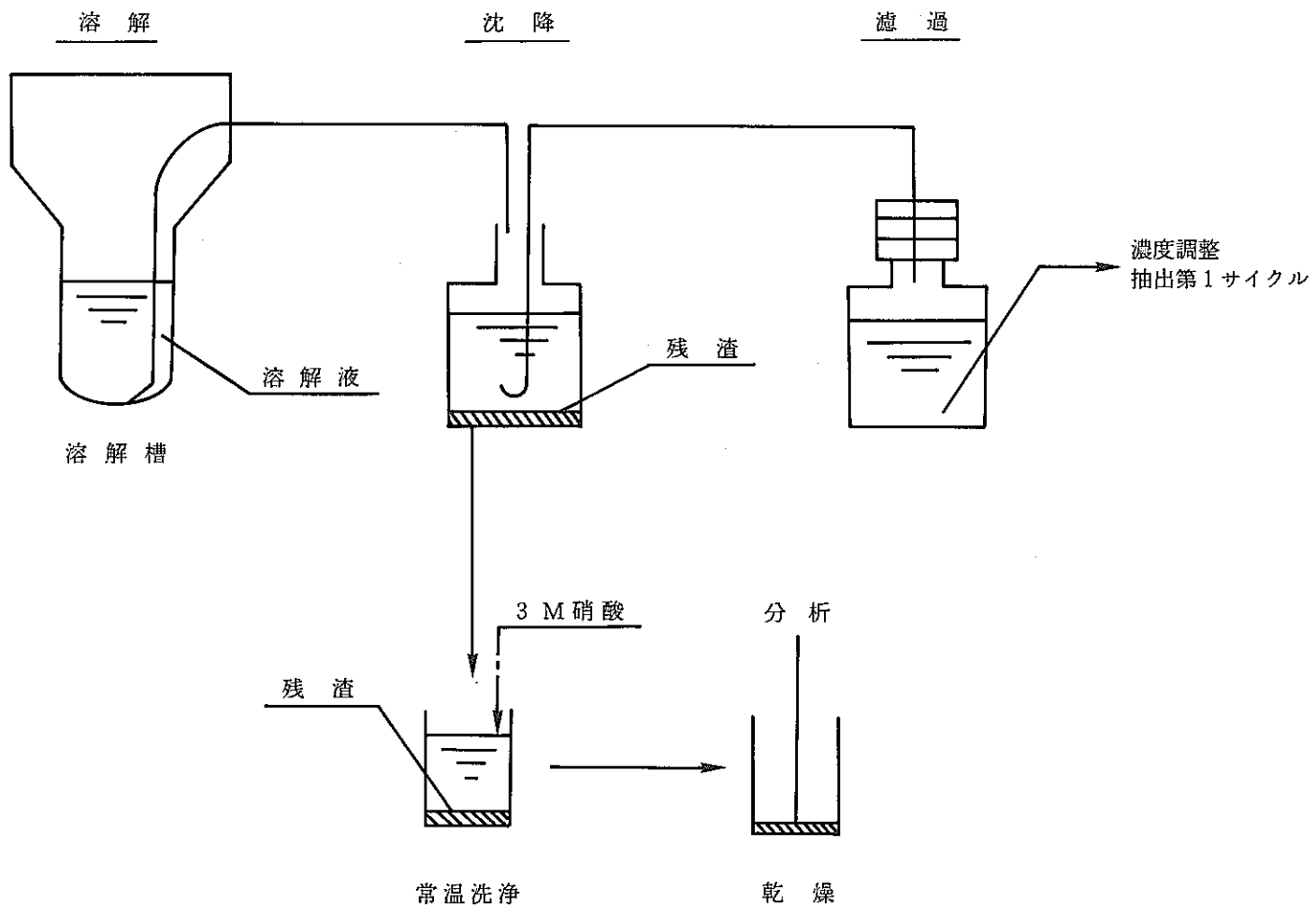


図4-5-1 不溶解性残渣の回収フロー

Flow diagram for recovery of insoluble residue

表 4-5-1 洗浄条件

Rinsing condition

項目	条 件		備 考
移 送 方 法	減圧又はポンプ移送		
清 澄 方 法	重量沈降, ガラス纖維フィルター		0.5, 0.6, 1 μm
洗 淨 I 方 法	硝酸濃度 液 量 方 法	0.2 N 2.0 ℥ 沸点 1 時間保持	空気攪拌
洗 淨 II 方 法	硝酸濃度 液 量 方 法	0.2 N 2.0 ℥ 沸点 1 時間保持	空気攪拌
測 定 対 象	洗浄効果 (Pu, U, FP, 重量) ハ ル (Pu, U, FP, 重量) フィルター (Pu, U, FP, 重量)		不溶解性残渣

表 4 - 5 - 2 溶解液、洗浄液の多段汎過量

Amounts of dissolved solution and rinsed
solution filtered by multi stage filter
unit

単位 (ℓ)

工 程	沈降槽液量	汎 過 量	沈降槽残液	備 考
溶 解 液	2. 2	1. 9	0. 3	
洗浄液 (I)	2. 1 5	1. 9 5	0. 2	
洗浄液 (II)	2. 0 5	1. 8	0. 2 5	
合 計		5. 6 5		

表 4-5-3 残渣常温洗净

洗浄保管日数	洗浄液濃度M	全体液量ml	沈降残渣液量ml	サンプルNo	サンプル量
1	HNO ₃ 3M	150	20	SW02-12	20
1	HNO ₃ 3M	150	20	SW03-12	20
2	HNO ₃ 3M	148	* 45	SW04-12	20
1	HNO ₃ 3M	150	20	SW05-12	20
1	HNO ₃ 3M	150	20	SW06-12	20

※ 硝酸 3M 常温洗净 5回
 純水 常温洗净 1回

* 上澄み液を抜き出し中に、残渣が舞い上がった為、液抜きを最後まで出来なかった。

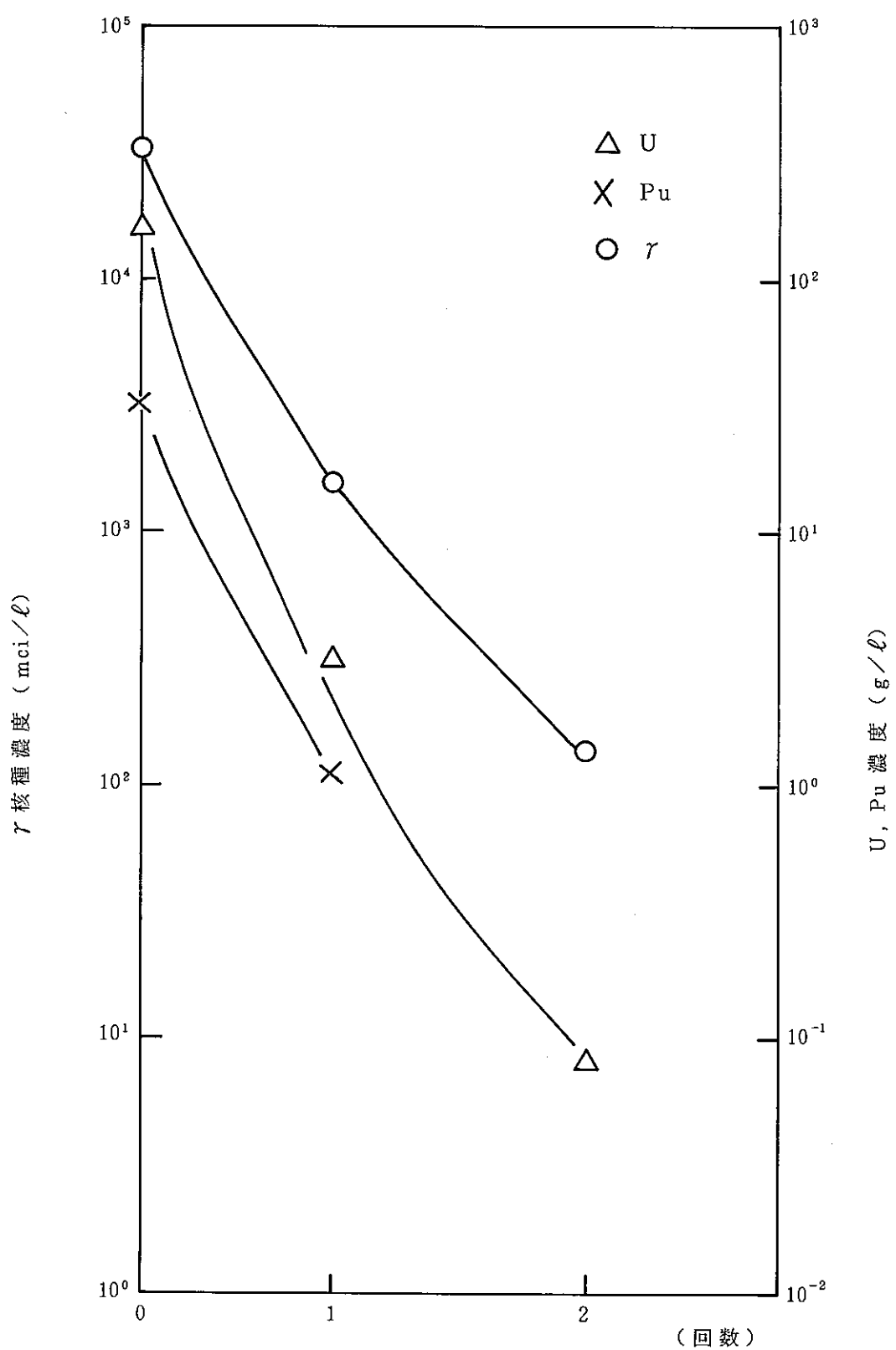


図4-5-2 溶解槽洗浄液中の U, Pu, γ 核種の濃度

表 4-5-4 分析結果一覽表

第12RUN 溶解槽洗净工程 No.

表 4 - 5 - 5 溶解槽洗净係数

種類	1	2
ウラン	0.099	0.099
Total (γ)	0.430	0.430

※ 洗浄係数

$$\left(\frac{\text{溶解最終全体液量 (放射能量)}}{\text{槽内検出限界液量 (放射能量)}} \right)^{\text{洗浄回数} + 1}$$

第12RUN 残渣洗浄工程

表4-5-6 分析結果一覧表

サンプル 名称	湿式分析 (g/ℓ, H ⁺ : mol/ℓ)								放射能分析 (mci/ℓ)										その他		備 考		
	U	Pu	PuIII	PuVI	H ⁺	HAN	HDZ		Zr ⁹⁵	Nb ⁹⁵	Ru ¹⁰³	Ru ¹⁰⁶	Sb ¹²⁵	Cs ¹³⁴	Cs ¹³⁷	Ce ¹⁴⁴	Pr ¹⁴⁴	Bu ¹⁵⁴	Eu ¹⁵⁵	Total γ			
SW01-12	0.25	37.2m			2.11				—	—	—	5.9	2.0 ×10	1.0 ×10	7.7 ×10	1.3 ×10	1.3 ×10	2.0	5.1	1.5 ×10 ²			
SW02-12	0.10	24.0m			3.08				—	—	—	5.5 ×10	5.1 ×10	6.0	4.6 ×10	4.4	4.4	—	1.7	1.7 ×10 ²			洗浄1回目
SW03-12	0.06	11.4m			3.02				—	—	—	2.1 ×10	5.1 ×10	3.9	3.0 ×10	3.0	3.0	—	1.2	1.1 ×10 ²			"2"
SW04-12	0.13	23.8m			3.02				—	—	—	1.2 ×10	8.0 ×10	4.7	3.7 ×10	5.3	5.3	—	2.2	1.5 ×10 ²			"3"
SW05-12	0.04	21.3m			3.09				—	—	—	9.8	6.5 ×10	2.8	2.3 ×10	4.0	4.0	—	1.7	1.1 ×10 ²			"4"
SW06-12	<0.03	3.94m			3.13				—	—	—	9.3	6.0 ×10	2.5	2.0 ×10	3.0	3.0	—	1.3	1.0 ×10 ²			"5"
プロット記号	●Aq	▲Aq			■Aq				○	○	□	△	⊗	■	□	▲	▲	○	□	●			

表 4-5-7 残渣常温洗浄における溶出量

洗浄回数 \n核種	1 (1 Day)	2 (1 Day)	3 (2 Day)	4 (1 Day)	5 (1 Day)
U (mg/l)	35.5	13.8	3.0	18.7	5.4
Pu (mg/l)	5.6	3.4	0.6	3.2	3.1
⁹⁵ Zu (mCi/l)	—	—	—	—	—
⁹⁵ Nb	—	—	—	—	—
¹⁰³ Ru	—	—	—	—	—
¹⁰⁶ Ru	—	7.83×10^3	2.57×10^3	1.60×10^3	1.28×10^3
¹²⁵ Sb	1.98×10^3	6.63×10^3	3.95×10^3	1.10×10^4	8.55×10^3
¹³⁴ Cs	1.38×10^3	8.22×10^2	3.66×10^2	6.49×10^2	3.70×10^2
¹³⁷ Cs	—	—	—	—	—
¹⁴⁴ Ce - ¹⁴⁴ Pr	1.86×10^3	6.00×10^2	2.06×10^2	7.15×10^2	5.40×10^2
¹⁵⁴ Eu	—	—	—	—	—
¹⁵⁵ Eu	7.31×10^2	2.31×10^2	7.86×10	2.96×10^2	2.29×10^2
Total γ	1.91×10^4	2.33×10^4	9.53×10^3	2.03×10^4	1.45×10^4

表 4-5-8 残渣常温洗浄 (3N, HNO₃) におけるU溶出量

Dissolving amount of U during rinsing

insoluble residue at room temperature

(3N HNO₃)

- 85 -

	日数	沈降液量 (V ₁)	濃度 (C ₁)	含有量 (N ₁)	全液量 (V ₂)	濃度 (C ₂)	含有量 (N ₂)	溶出量	日割
洗浄 1	1	20	0.10	2.0	150	0.25	37.5	35.5	35.5
	2	1	20	0.06	1.2	150	0.10	15.0	13.8
	3	2	45	0.13	5.85	148	0.06	8.88	3.03
	4	1	20	0.04	0.8	150	0.13	19.5	18.7
	5	1	20	< 0.03	< 0.6	150	0.04	6.0	5.4
					150	< 0.03			
保管前									

$$N_1 = V_1 \times C_1 \quad \text{溶出量} = N_2 - N_1$$

(単位 V=mℓ, C=g/ℓ, N=mg)

$$N_2 = V_2 \times C_2$$

表 4 - 5 - 9 残渣常温洗净 (3N, HNO₃) におけるPu溶出量

Dissolving amount of Pu during rinsing

insoluble residue at room temperature

(3N HNO₃)

-86-

	日数	沈降液量 [V ₁]	濃度 [C ₁]	含有量 [N ₁]	全液量 [V ₂]	濃度 [C ₂]	含有量 [N ₂]	溶出量	日割
洗淨 1	1	20	2.4×10^{-2}	4.8×10^{-1}	150	3.72×10^{-2}	5.58	5.1	5.1
	2	1	1.14×10^{-2}	2.28×10^{-1}	150	2.4×10^{-2}	3.60	3.372	3.372
	3	2	45	2.38×10^{-2}	1.071	148	1.14×10^{-2}	1.6872	0.3081
	4	1	20	2.13×10^{-2}	4.26×10^{-1}	150	2.38×10^{-2}	3.57	3.144
	5	1	20	3.94×10^{-3}	7.88×10^{-2}	150	2.13×10^{-2}	3.195	3.1162
					150	3.94×10^{-3}			
保管前									

$$N_1 = V_1 \times C_1 \quad \text{溶出量} = N_2 - N_1$$

(単位 $V = m\ell$, $C = g/\ell$, $N = mg$)

$$N_2 = V_2 \times C_2$$

表 4-5-10 残渣常温洗净 (3N, HNO₃) における ¹⁰⁶Ru 溶出量Dissolving amount of ¹⁰⁶Ru during rinsing

insoluble residue at room temperature

(3N HNO₃)

-87-

	日数	沈降液量 (V ₁)	濃度 (C ₁)	含有量 (N ₁)	全液量 (V ₂)	濃度 (C ₂)	含有量 (N ₂)	溶出量	日割
洗净 1	1	20	5.5×10	1.1×10 ³	150	5.9	8.85×10 ²	—	—
	2	1	2.1×10	4.2×10 ²	150	5.5×10	8.25×10 ³	7.83×10 ³	7.83×10 ³
	3	2	45	1.2×10	148	2.1×10	3.108×10 ³	2.568×10 ³	1.284×10 ³
	4	1	20	9.8	150	1.2×10	1.8×10 ³	1.604×10 ³	1.604×10 ³
	5	1	20	9.3	150	9.8	1.47×10 ³	1.284×10 ³	1.284×10 ³
					150	9.3	1.395×10 ³	—	—
保管前									

$$N_1 = V_1 \times C_1 \quad \text{溶出量} = N_2 - N_1$$

(单位 V=mℓ, C=mCi/ℓ, N=mCi)

$$N_2 = V_2 \times C_2$$

表 4-5-11 残渣常温洗净 (3N, HNO₃) における ¹²⁵Sb 溶出量Dissolving amount of ¹²⁵Sb during rinsing

insoluble residue at room temperature

(3N HNO₃)

-8-

	日数	沈降液量 [V ₁]	濃度 [C ₁]	含有量 [N ₁]	全液量 [V ₂]	濃度 [C ₂]	含有量 [N ₂]	溶出量	日割
洗净 1	1	20	5.1×10	1.02×10 ³	150	2.0×10	3.0×10 ³	1.98×10 ³	1.98×10 ³
2	1	20	5.1×10	1.02×10 ³	150	5.1×10	7.65×10 ³	6.63×10 ³	6.63×10 ³
3	2	45	8.0×10	3.6×10 ³	148	5.1×10	7.548×10 ³	3.948×10 ³	1.974×10 ³
4	1	20	6.5×10	1.3×10 ³	150	8.0×10	1.2×10 ⁴	1.07×10 ⁴	1.07×10 ⁴
5	1	20	6.0×10	1.2×10 ³	150	6.5×10	9.75×10 ³	8.55×10 ³	8.55×10 ³
保管前					150	6.0×10	9.0×10 ³	—	—

$$N_1 = V_1 \times C_1 \quad \text{溶出量} = N_2 - N_1$$

(单位 V=mℓ, C=mCi/ℓ, N=mCi)

$$N_2 = V_2 \times C_2$$

表 4-5-12 残渣常温洗净 (3N HNO₃) における ¹³⁴Cs 溶出量Dissolving amount of ¹³⁴Cs during rinsing

insoluble residue at room temperature

(3N HNO₃)

- 89 -

	日数	沈降液量 (V ₁)	濃度 (C ₁)	含有量 (N ₁)	全液量 (V ₂)	濃度 (C ₂)	含有量 (N ₂)	溶出量	日割
洗浄 1	1	20	6.0	1.2×10 ²	150	1.0×10	1.5×10 ³	1.38×10 ³	1.38×10 ³
	2	1	20	3.9	150	6.0	9.0×10 ²	8.22×10 ²	8.22×10 ²
	3	2	45	4.7	148	3.9	5.772×10 ²	3.657×10 ²	1.8285×10 ²
	4	1	20	2.8	150	4.7	7.05×10 ²	6.49×10 ²	6.49×10 ²
	5	1	20	2.5	150	2.8	4.2×10 ²	3.70×10 ²	3.70×10 ²
					150	2.5	3.75×10 ²	—	—
保管前									

$$N_1 = V_1 \times C_1 \quad \text{溶出量} = N_2 - N_1$$

(单位 V=mℓ, C=mCi/ℓ, N=mCi)

$$N_2 = V_2 \times C_2$$

表 4-5-13 残渣常温洗净 (3N, HNO₃) における ¹⁴⁴Ce ¹⁴⁴Pr 溶出量Dissolving amount of ¹⁴⁴Ce ¹⁴⁴Pr during rinsing

insoluble residue at room temperature

(3N HNO₃)

- 60 -

	日数	沈降液量 (V ₁)	濃度 (C ₁)	含有量 (N ₁)	全液量 (V ₂)	濃度 (C ₂)	含有量 (N ₂)	溶出量	日割
洗浄 1	1	20	4.4	8.8×10	150	1.3×10	1.95×10 ³	1.862×10 ³	1.862×10 ³
	2	20	3.0	6.0×10	150	4.4	6.6×10 ²	6.0×10 ²	6.0×10 ²
	3	2	45	5.3	2.385×10 ²	148	3.0	4.44×10 ²	2.055×10 ²
	4	1	20	4.0	8.0×10	150	5.3	7.95×10 ²	7.15×10 ²
	5	1	20	3.0	6.0×10	150	4.0	6.0×10 ²	5.4×10 ²
					150	3.0	4.5×10 ²	—	—
保管前									

$$N_1 = V_1 \times C_1 \quad \text{溶出量} = N_2 - N_1$$

(单位 V=mℓ, C=mCi/ℓ, N=mCi)

$$N_2 = V_2 \times C_2$$

表 4-5-14 残渣常温洗浄 (3N HNO₃) における ¹⁵⁵Eu 溶出量Dissolving amount of ¹⁵⁵Eu during rinsing

insoluble residue at room temperature

(3N HNO₃)

- 91 -

	日数	沈降液量 (V ₁)	濃度 (C ₁)	含有量 (N ₁)	全液量 (V ₂)	濃度 (C ₂)	含有量 (N ₂)	溶出量	日割
洗浄 1	1	20	1.7	3.4×10	150	5.1	7.65×10 ²	7.31×10 ²	7.31×10 ²
	2	1	20	1.2	2.4×10	150	1.7	2.55×10 ²	2.31×10 ²
	3	2	45	2.2	9.9×10	148	1.2	1.776×10 ²	7.86×10
	4	1	20	1.7	3.4×10	150	2.2	3.3×10 ²	2.96×10 ²
	5	1	20	1.3	2.6×10	150	1.7	2.55×10 ²	2.29×10 ²
					150	1.3	1.95×10 ²	—	—
保管前									

$$N_1 = V_1 \times C_1$$

$$\text{溶出量} = N_2 - N_1$$

(単位 $V = \text{m}\ell$, $C = \text{mCi}/\ell$, $N = \text{mCi}$)

$$N_2 = V_2 \times C_2$$

表 4-5-15 残渣常温洗浄 (3N, HNO₃) における Total γ 溶出量Dissolving amount of Total γ during rinsing

insoluble residue at room temperature

(3N HNO₃)

- 62 -

	日数	沈降液量 [V ₁]	濃度 [C ₁]	含有量 [N ₁]	全液量 [V ₂]	濃度 [C ₂]	含有量 [N ₂]	溶出量	日割	
洗浄 1	1	20	1.7×10^2	3.4×10^3	150	1.5×10^2	2.25×10^4	1.91×10^4	1.91×10^4	
	2	1	1.1×10^2	2.2×10^3	150	1.7×10^2	2.55×10^4	2.33×10^4	2.33×10^4	
	3	2	45	1.5×10^2	6.75×10^3	148	1.1×10^2	1.628×10^4	9.53×10^3	4.765×10^3
	4	1	20	1.1×10^2	2.2×10^3	150	1.5×10^2	2.25×10^4	2.03×10^4	2.03×10^4
	5	1	20	1.0×10^2	2.0×10^3	150	1.1×10^2	1.65×10^4	1.45×10^4	1.45×10^4
					150	1.0×10^2	1.5×10^4	—	—	
保管前										

$$N_1 = V_1 \times C_1 \quad \text{溶出量} = N_2 - N_1$$

(単位 $V = \text{m l}$, $C = \text{mCi/l}$, $N = \text{mCi}$)

$$N_2 = V_2 \times C_2$$

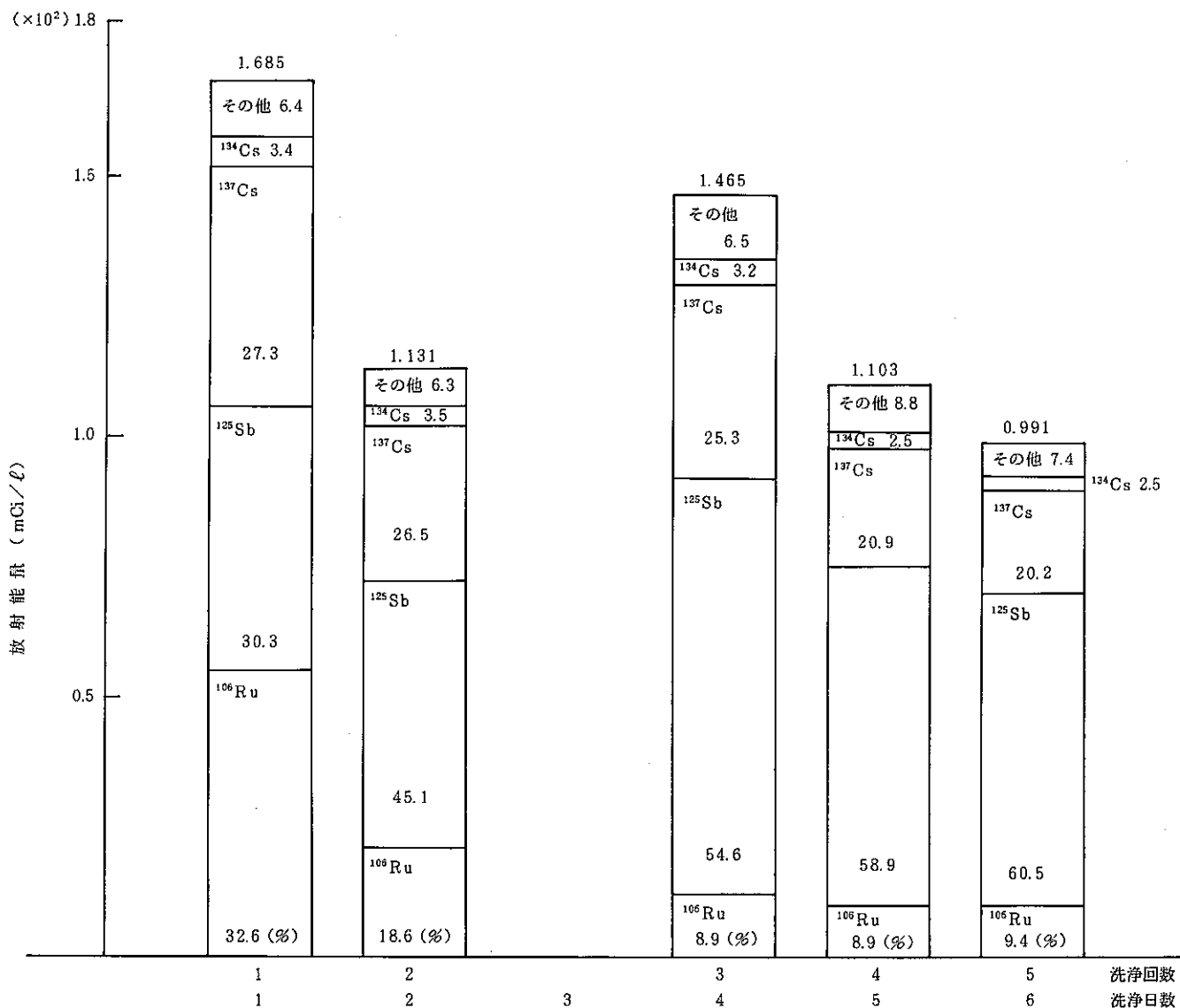
図 4-5-3 残渣洗浄における γ 核種の放射能量と割合

表4-5-16 残渣洗浄における γ 核種の放射能量と割合

核種	洗浄回数	1	2	3	4	5
	洗浄日数	1	2	3	4	5
¹⁰⁶ Ru	32.64	18.57	8.19	8.88	9.38	
	5.5×10	2.1×10	1.2×10	9.8	9.3	
¹²⁵ Sb	30.27	45.09	54.61	58.93	60.54	
	5.1×10	5.1×10	8.0×10	6.5×10	6.0×10	
¹³⁴ Cs	3.56	3.45	3.21	2.54	2.52	
	6.0	3.9	4.7	2.8	2.5	
¹³⁷ Cs	27.3	26.53	25.26	20.85	20.18	
	4.6×10	3.0×10	3.7×10	2.3×10	2.0×10	
¹⁴⁴ Ce, Pr	2.61	2.65	3.62	3.63	3.03	
	4.4	3.0	5.3	4.0	3.0	
¹⁵⁵ Eu	1.01	1.06	1.50	1.54	1.31	
	1.7	1.2	2.2	1.7	1.3	
Total	100	100	100	100	100	
	1.685×10^2	1.131×10^2	1.465×10^2	1.103×10^2	9.91×10	

割合 (%)
放射能量 (mc i / ℓ)

表 4 - 5 - 1 7 残渣重量

Weight of insoluble residue

(g)

		ろ過後ろ紙	ろ過前ろ紙	残渣量
溶解液ろ過	上段 (1. 0 μm)	0. 762	0. 714	0. 048
	中段 (0. 6 μm)	0. 716	0. 602	0. 114
	下段 (0. 5 μm)	0. 396	0. 324	0. 072
	合 計			0. 234
沈降残渣重量		3. 990		
残渣総重量		4. 224		

表 4-5-18 残渣割合

Distribute rate of insoluble residue

	燃料総重量 (g)	残渣重量 (g)	残渣割合 (%)
溶解液ろ過	543.0	0.24	0.04
沈降残渣	543.0	3.99	0.74
合計	543.0	4.23	0.78

$$\text{※ 残渣含有率 } (\%) = \frac{\text{残渣重量 (g)}}{\text{M o x 燃料総重量 (g)}} \times 100$$

※ 沈降残渣移し換えの際、残渣量として約 0.5 g 全残渣量の 10 % 程、が回収されませんでした、回収されなかった量については推定値なので上記表には、含まれておりません。

表 4-5-19 分析結果一覧表

第12RUN 溶解液ろ紙 No.

サンプル 名称	湿式分析 (g/ℓ, H ⁺ : mol/ℓ)								放射能分析 (mci/ℓ)										その他		備 考		
	U	Pu	PuIII	PuVI	H ⁺	HAN	HDZ		Zr ⁹⁵	Nb ⁹⁵	Ru ¹⁰³	Ru ¹⁰⁶	Sb ¹²⁵	Cs ¹³⁴	Cs ¹³⁷	Ce ¹⁴⁴	Pr ¹⁴⁴	Eu ¹⁵⁴	Eu ¹⁵⁵	Total γ			
FT01-12									—	1.9 ×10	—	2.7 ×10 ⁴	1.8 ×10 ³	6.5 ×10	5.0 ×10 ²	—	—	7.4	—	3.0 ×10 ⁴			濾紙上段
FT02-12									—	4.0 ×10	—	6.9 ×10 ⁴	4.4 ×10 ³	1.7 ×10 ²	1.4 ×10 ³	1.7 ×10 ²	1.7 ×10 ²	2.9 ×10	—	7.6 ×10 ⁴			"中段
FT03-12									—	2.2 ×10	—	5.7 ×10 ⁴	4.1 ×10 ³	8.1 ×10	7.2 ×10 ²	—	—	—	—	6.2 ×10 ⁴			"下段
プロット記号	●Aq	▲Aq			■Aq			○	●	□	△	⊗	■	□	▲	▲	○	□	●				
	○Org	△Org			□Org																		

表 4-5-20 溶解液ろ過 ろ紙上の γ 核種の割合と量

核種 ろ紙	上段 ($1.0 \mu\text{m}$)	中段 ($0.6 \mu\text{m}$)	下段 ($0.5 \mu\text{m}$)
^{95}Nb	< 0.1 1.9×10	< 0.1 4.0×10	< 0.1 2.2×10
^{106}Ru	91.9 2.7×10^4	91.5 6.9×10^4	92.0 5.7×10^4
^{125}Sb	6.1 1.8×10^3	5.8 4.0×10^3	6.6 2.2×10^3
^{134}Cs	0.2 6.5×10	0.2 1.7×10^2	0.1 8.1×10
^{137}Cs	1.7 5.0×10^2	1.9 1.4×10^3	1.2 7.2×10^2
^{144}Ce	— —	0.2 1.7×10^2	— —
^{144}Pr	— —	0.2 1.7×10^2	— —
^{154}Eu	< 0.1 7.4	< 0.1 2.9×10	— —
TOTAL	100.0 2.94×10^4	100.0 7.54×10^4	100.0 6.19×10^4
残渣重量 (g)	0.0484	0.1141	0.0724
枠内		上段 (%)	
		下段 (mcil/ℓ)	

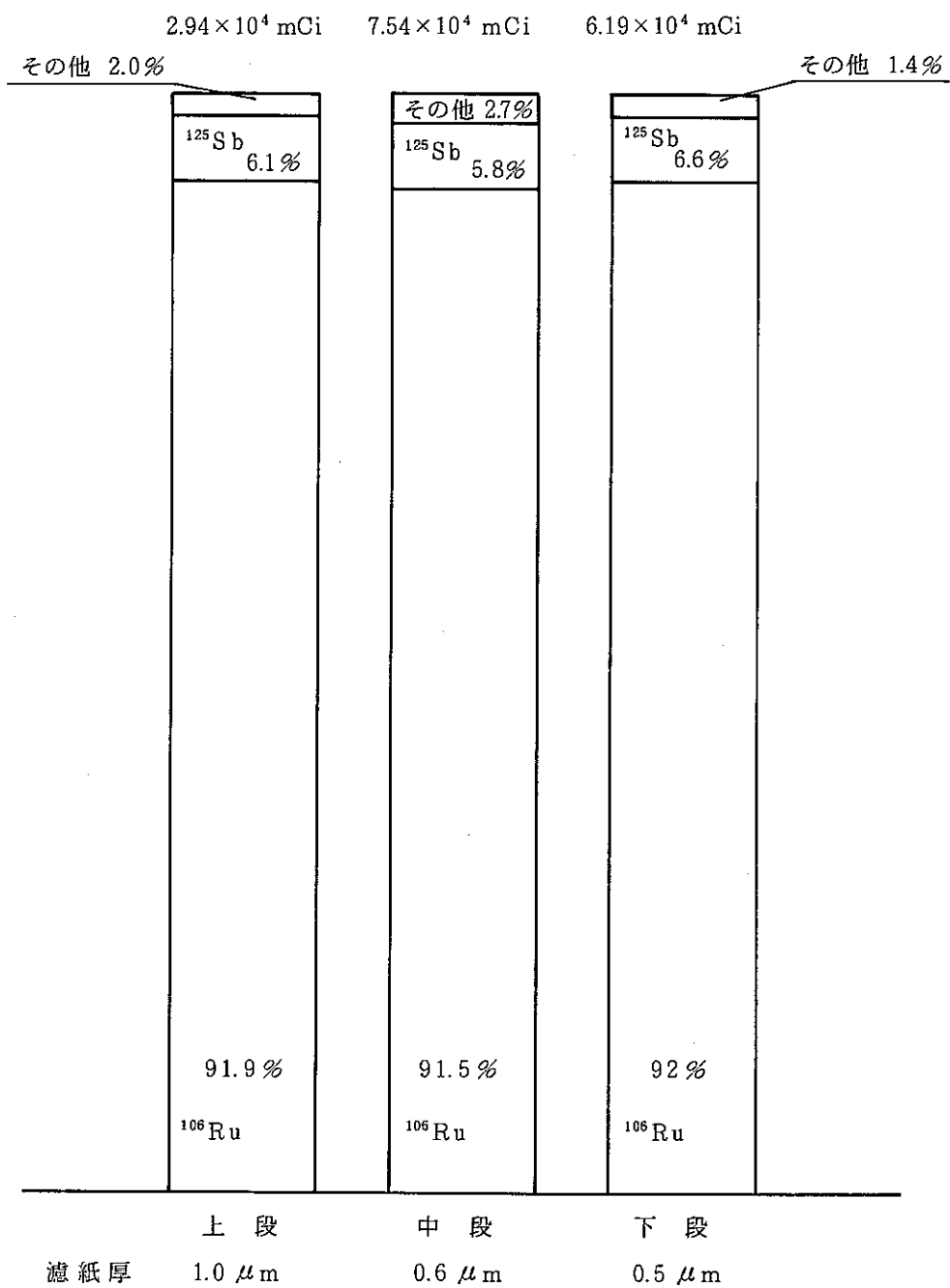
図4-5-4 溶解液、濾過、濾紙上の γ 核種の割合

表 4-5-21 不溶解性残渣成分割合

(wt%)

成分	M o	P d	Z n	R u	R h	T c	U	P u	残渣率
回収残渣	14	10.7	0.4	24	10	10	3.9	3.2	0.8
ORIGEN値 に対する 割合	8.4	9.4	0.3	16.3	20.3	23.0	0.03	0.15	0.7

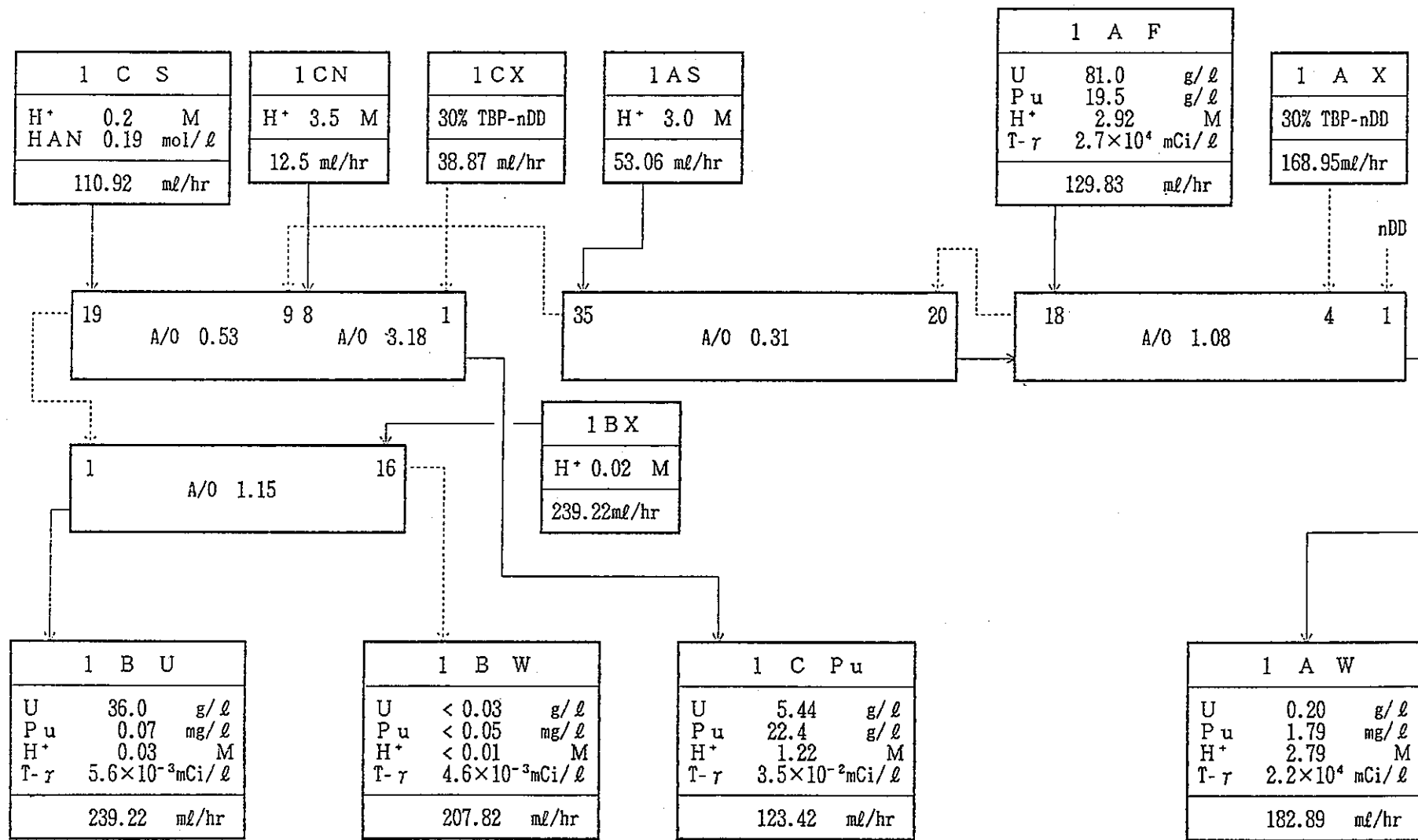


図 4 - 6 - 1 第12ラン 抽出工程フローシート (77 g / l, 59.2%)

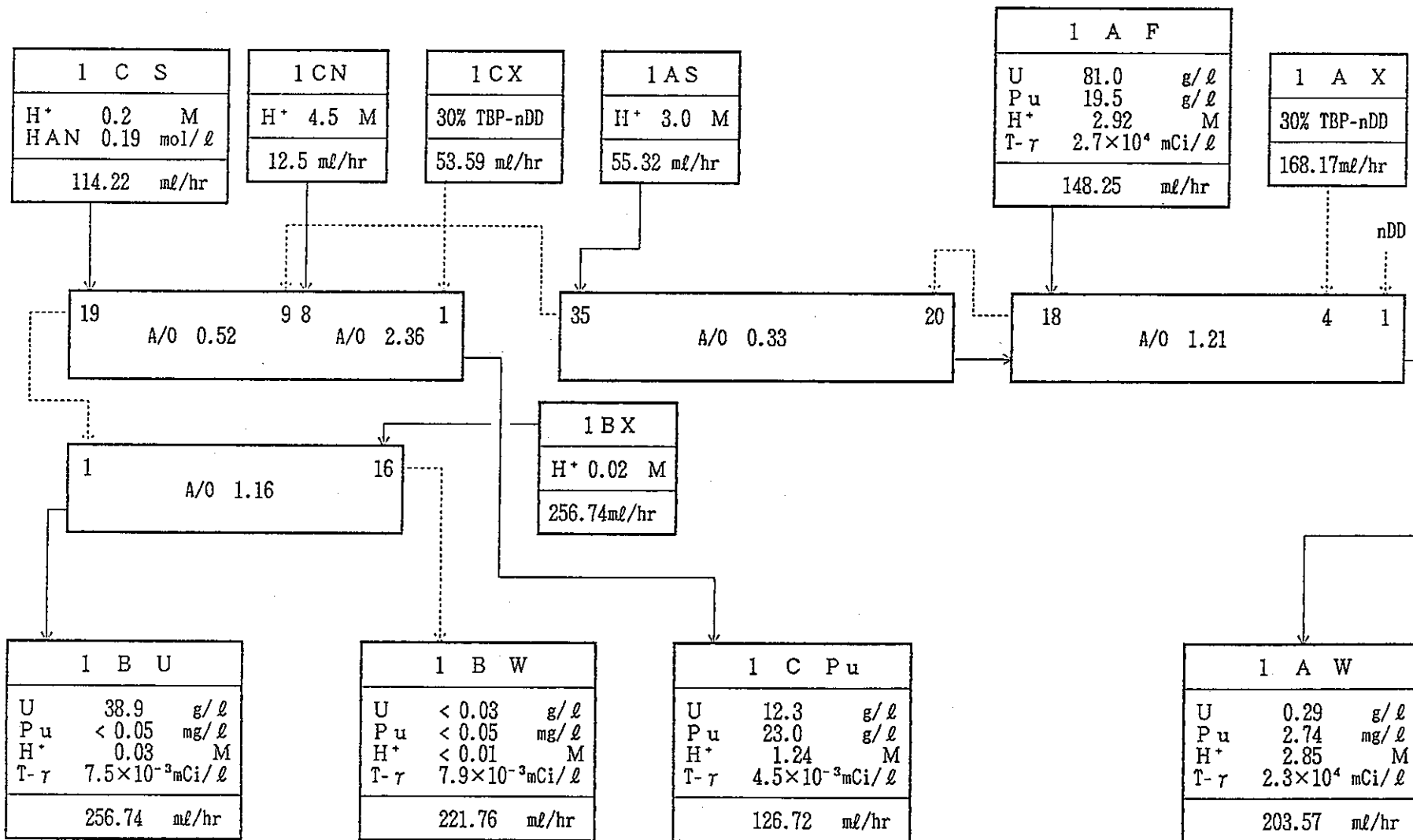


図 4-6-2 第12ラン 抽出工程フローシート (89 g/l, 68.5%)

表 4-6-1 フィード組成

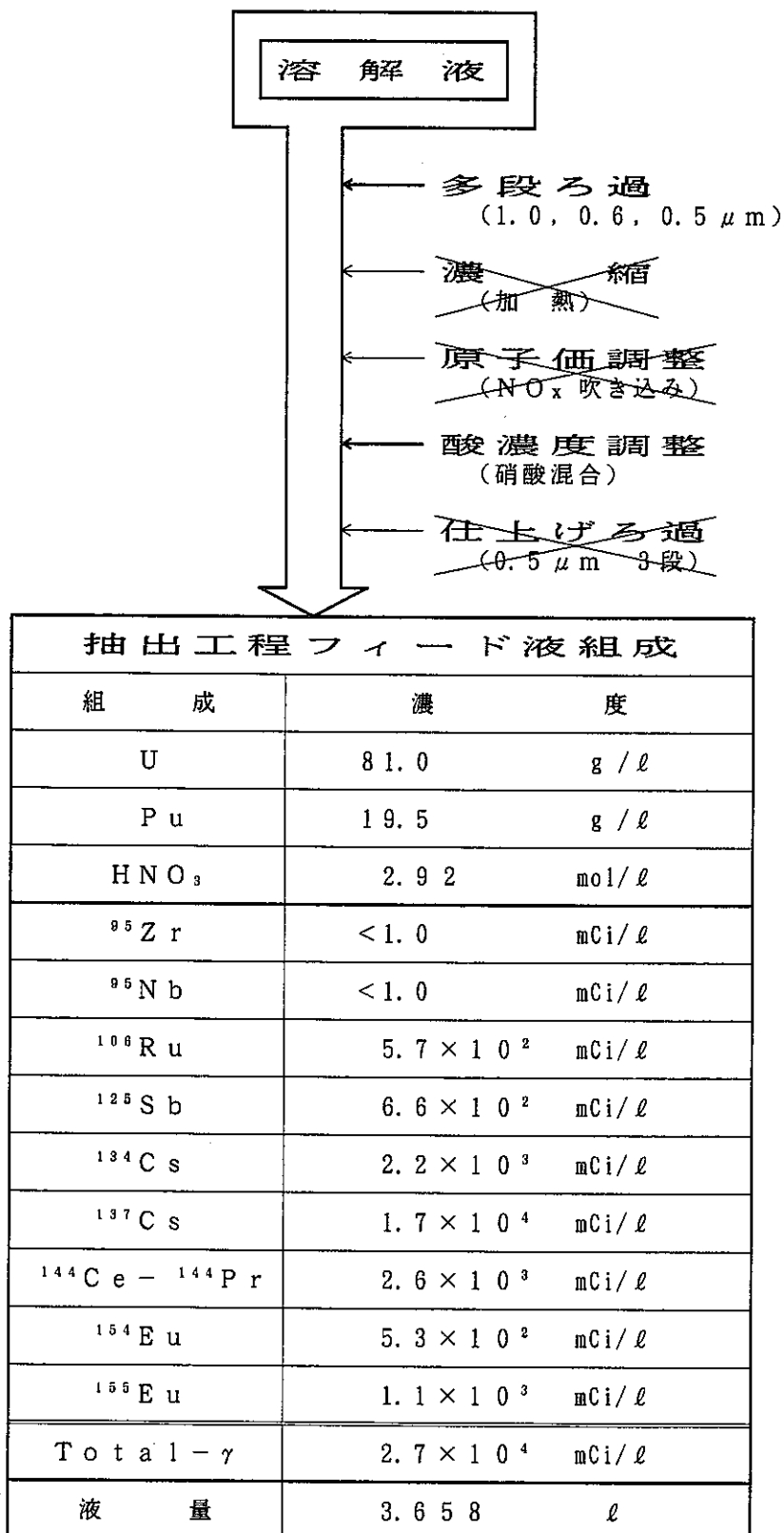


表4-6-2 [抽出工程 ポンプ流量監視記録] (77g/ℓ)

63年7月19日

時 刻	IAF 供給 PU-1223 ml/hr	IAX 供給 PU-1624 ml/hr	IAD 供給 PU-1621 ml/hr	IAS 供給 PU-1607 ml/hr	ICX 供給 PU-1625 ml/hr	ICS 供給 PU-1615 ml/hr	IBX 供給 PU-1613 ml/hr	ICN 供給 PU-1235 ml/hr	PU起動チャック
	●	▲	■	◆	○	△	□	◇	PU-1222 ① PU-1231 ② PU-1255 ③
	126.0	168.0	30.0	54.0	39.0	110.0	237.0	12.0	(①) (②) (③)
14:10	3.599 ℥	169.1	31.03	26.8	39.00	111.7	233.7	350ml	✓ ✓ ✓
15:00	3.469 ℥	169.1	31.49	63.0	39.00	111.7	234.8	340ml	✓ ✓ ✓
	130ml							10ml	
16:00	3.348 ℥	166.9	31.49	54.0	38.76	110.0	235.9	325ml	✓ ✓ ✓
	121ml							15ml	
17:00	3.225 ℥	170.3	31.21	—	38.76	111.7	239.3	310ml	✓ ✓ ✓
	123ml							15ml	
18:00	3.099	169.1	31.30	—	38.76	109.7	239.3	299ml	✓ ✓ ✓
	126ml							11ml	
19:00	2.968	169.1	31.40	—	38.76	110.9	240.4	287ml	✓ ✓ ✓
	131ml							12ml	
20:00	2.861	169.1	30.94	53.6	39.0	110.9	240.4	275ml	✓ ✓ ✓
	129ml							12ml	
21:00	2.729	170.3	31.30	55.5	39.0	110.9	241.6	265ml	✓ ✓ ✓
	132ml							10ml	
22:00	2.595	169.1	31.21	55.5	39.0	110.9	241.6	250ml	✓ ✓ ✓
	134ml							15ml	
23:00	2.458	169.1	31.21	55.5	38.76	110.9	242.7	235ml	✓ ✓ ✓
	137ml							15ml	
0:00	2.319	169.1	30.77	55.7	38.76	110.9	240.4	225ml	✓ ✓ ✓
	139ml							10ml	
1:00	2.188	166.9	30.34	55.5	38.76	110.9	241.6	208ml	✓ ✓ ✓
	131ml							17ml	
2:00	2.063	169.1	30.51	55.5	39.00	110.9	238.1	200ml	✓ ✓ ✓
	125ml							8ml	
:									
平均 流量	129.83	168.95	31.09	53.06	38.87	110.92	239.22	12.5	
:									
:									
:									
:									
:									
:									
:									
:									

表 4-6-3 [抽出工程 ポンプ流量監視記録] (89 g/ℓ)

63年7月20日

時 刻	1AP 供給 PU-1223 ml/hr	1AX 供給 PU-1624 ml/hr	1AD 供給 PU-1621 ml/hr	1AS 供給 PU-1607 ml/hr	1CX 供給 PU-1625 ml/hr	1CS 供給 PU-1615 ml/hr	1BX 供給 PU-1613 ml/hr	1CN 供給 PU-1235 ml/hr	PU起動チェック
	PU-1222 ①	PU-1231 ②	PU-1255 ③						
	126.0	168.0	30.0	54.0	54.0	115.0	253.0	12.0	
2:35	1.979 ℥	168.0	30.94	55.5	41.29	110.9	265.8	500ml	✓ ✓ ✓
3:00	1.912 (134ml)	168.0	31.49	55.5	55.42	115.3	263.1	490ml 10ml	✓ ✓ ✓
4:01	1.777 135ml	168.0	30.59	55.5	54.47	115.0	255.0	480ml 約10ml	✓ ✓ ✓
5:00	1.614 163ml	169.1	31.40	55.2	61.2	117.7	266.8	465ml 15ml	✓ ✓ ✓
6:00	1.452 162ml	169.1	31.30	55.2	58.7	115.9	259.1	450ml 15ml	✓ ✓ ✓
7:00	1.306 146ml	168.0	30.94	55.2	41.6	113.2	246.8	445ml 5ml	✓ ✓ ✓
8:00	1.159 147ml	168.0	31.40	55.5	55.0	113.2	253.0	425ml 20ml	✓ ✓ ✓
9:00	1.009 150ml	168.0	30.51	55.2	55.0	114.1	253.0	415ml 10ml	✓ ✓ ✓
10:00	0.840 169ml	168.0	30.51	55.5	54.5	114.1	255.5	400ml 15ml	✓ ✓ ✓
11:00	0.686 154ml	168.0	31.03	55.2	55.0	114.1	254.3	390ml 10ml	✓ ✓ ✓
12:00	0.530 156ml	168.0	30.86	55.2	55.0	114.1	254.3	375ml 15ml	✓ ✓ ✓
13:00	0.396 134ml	168.0	30.68	55.2	54.5	114.1	255.5	360ml 15ml	✓ ✓ ✓
14:00	0.267 129ml	168.0	30.86	55.2	55.0	113.2	255.5	350ml 10ml	✓ ✓ ✓
15:00	14:45 ホットフィード終了								
:									
平均 流量	148.25	168.17	30.96	55.32	53.59	114.22	256.74	12.5	
:									
:									
:									
:									
:									
:									
:									

(抽出第一工程 MS-1201 の監視)

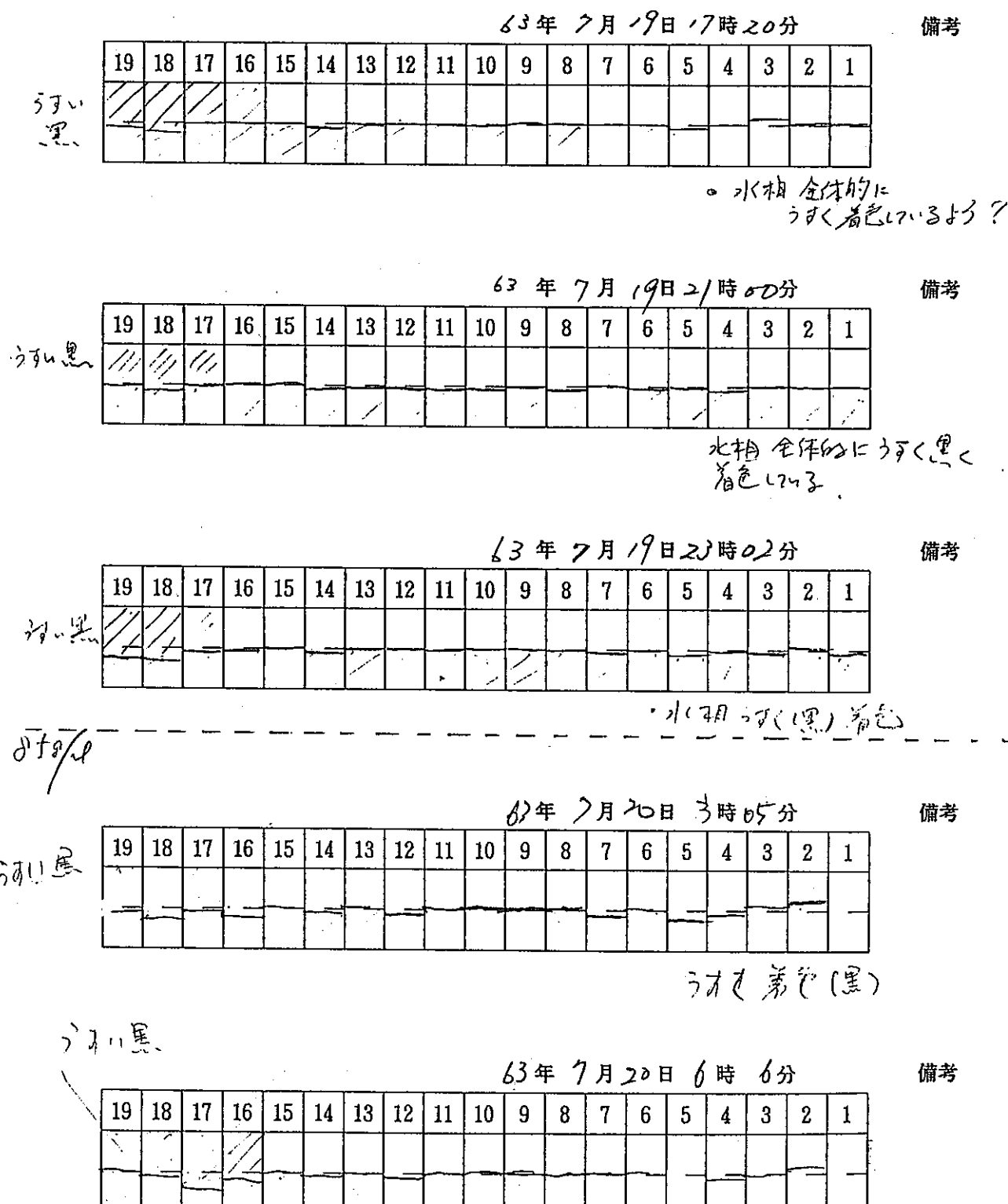
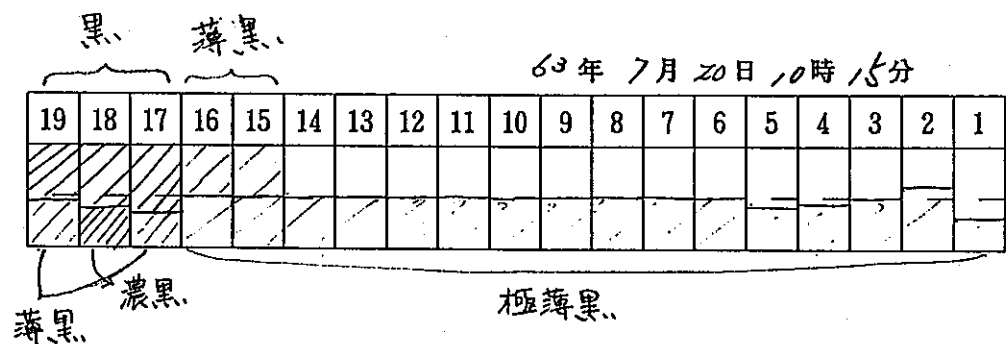


図 4-6-3 ミキサ・セトラ界面観察記録 No.1

(抽出第一工程 MS-1201 の監視)



備考

年 月 日 時 分

19	18	17	16	15	14	13	12	11	10	9	8	7	6	5	4	3	2	1
—	—	—	—	—	—	—	—	—	—	—	—	—	—	—	—	—	—	—

備考

年 月 日 時 分

19	18	17	16	15	14	13	12	11	10	9	8	7	6	5	4	3	2	1
—	—	—	—	—	—	—	—	—	—	—	—	—	—	—	—	—	—	—

備考

年 月 日 時 分

19	18	17	16	15	14	13	12	11	10	9	8	7	6	5	4	3	2	1
—	—	—	—	—	—	—	—	—	—	—	—	—	—	—	—	—	—	—

備考

年 月 日 時 分

19	18	17	16	15	14	13	12	11	10	9	8	7	6	5	4	3	2	1
—	—	—	—	—	—	—	—	—	—	—	—	—	—	—	—	—	—	—

備考

図 4-6-4 ミキサ・セトラ界面観察記録 No.2

(抽出第一工程 MS-1202 の監視)

63年 7月 19日 17時 15分

備考 ←薄黒、

16	15	14	13	12	11	10	9	8	7	6	5	4	3	2	1
/	/	/	/	/	/	/	/	/	/	/	/	/	/	/	/

63年 7月 19日 21時 00分

備考 うすい黒

16	15	14	13	12	11	10	9	8	7	6	5	4	3	2	1
/	/	/	/	/	/	/	/	/	/	/	/	/	/	/	/

63年 7月 19日 23時 05分

備考 うすい黒、

16	15	14	13	12	11	10	9	8	7	6	5	4	3	2	1
/	/	/	/	/	/	/	/	/	/	/	/	/	/	/	/

258/l

63年 7月 20日 3時 55分

備考 淡黒、

16	15	14	13	12	11	10	9	8	7	6	5	4	3	2	1
/	/	/	/	/	/	/	/	/	/	/	/	/	/	/	/

63年 7月 20日 6時 7分

備考 淡黒、

16	15	14	13	12	11	10	9	8	7	6	5	4	3	2	1
/															

図4-6-5 ミキサ・セトラ界面観察記録 No.3

(抽出第一工程 MS-1202 の監視)

1~16段 真黒(有キ相)

63年7月20日10時20分

備考

16	15	14	13	12	11	10	9	8	7	6	5	4	3	2	1
/	/	/	/	/	/	/	/	/	/	/	/	/	/	/	/

→薄茶

年 月 日 時 分

備考

16	15	14	13	12	11	10	9	8	7	6	5	4	3	2	1
-	-	-	-	-	-	-	-	-	-	-	-	-	-	-	-

年 月 日 時 分

備考

16	15	14	13	12	11	10	9	8	7	6	5	4	3	2	1
-	-	-	-	-	-	-	-	-	-	-	-	-	-	-	-

年 月 日 時 分

備考

16	15	14	13	12	11	10	9	8	7	6	5	4	3	2	1
-	-	-	-	-	-	-	-	-	-	-	-	-	-	-	-

年 月 日 時 分

備考

16	15	14	13	12	11	10	9	8	7	6	5	4	3	2	1
-	-	-	-	-	-	-	-	-	-	-	-	-	-	-	-

図4-6-6 ミキサ・セトラ界面観察記録 No.4

(抽出第一工程 MS-1205 の監視)

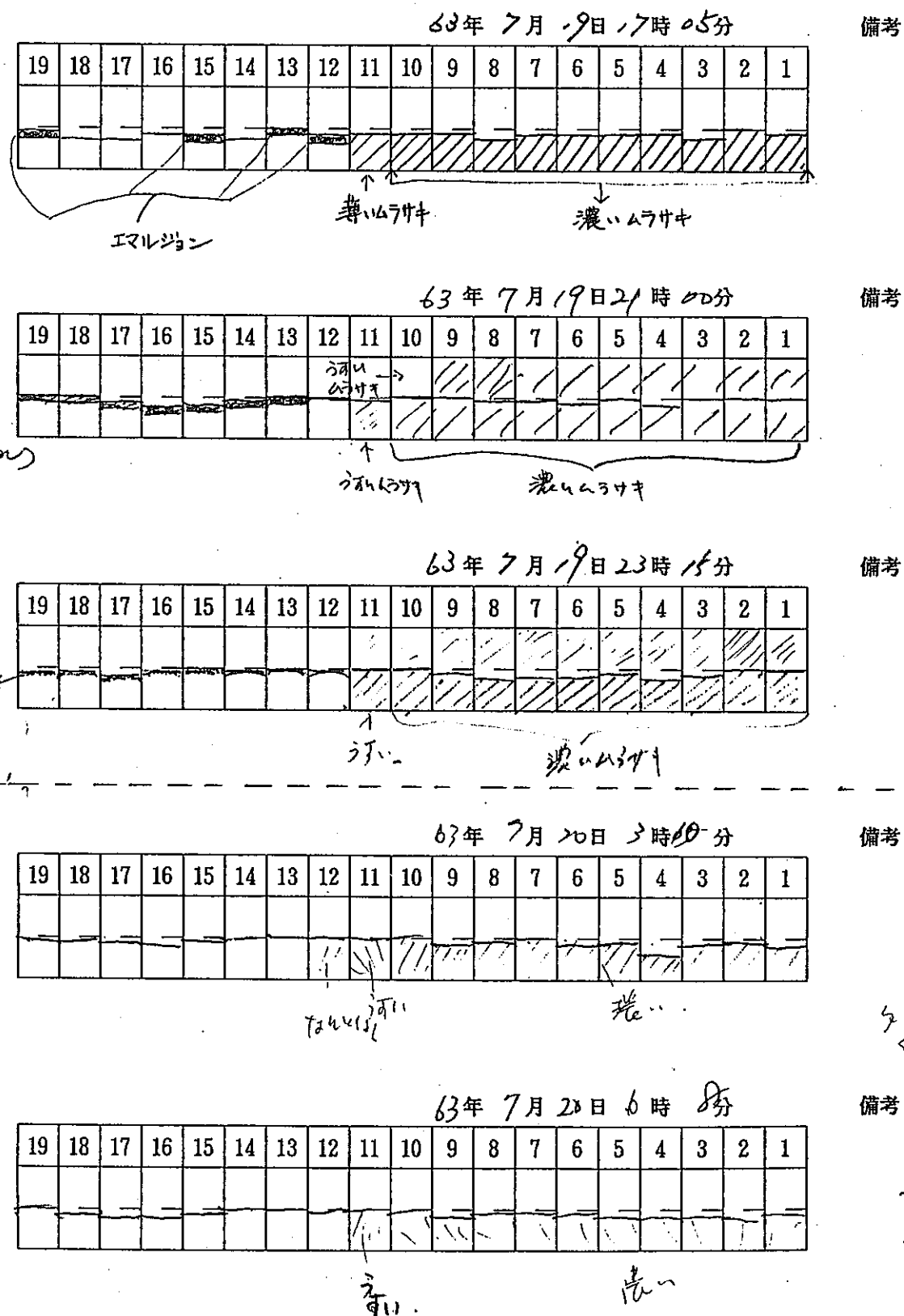


図 4-6-7 ミキサ・セトラ界面観察記録 No.5

(抽出第一工程 MS-1205 の監視)

1~10段 茶緑の極薄 (2~3段が少し濃い) 有キ相

63年 7月 20日 10時23分

備考

19	18	17	16	15	14	13	12	11	10	9	8	7	6	5	4	3	2	1

薄み茶

1~10段 真黒 (本相)

年	月	日	時	分	備考
19	18	17	16	15	14
-	-	-	-	-	-

年	月	日	時	分	備考
19	18	17	16	15	14
-	-	-	-	-	-

年	月	日	時	分	備考
19	18	17	16	15	14
-	-	-	-	-	-

年	月	日	時	分	備考
19	18	17	16	15	14
-	-	-	-	-	-

図 4-6-8 ミキサ・セトラ界面観察記録 №6

(抽出第一工程 MS-1206 の監視)

63年7月19日17時25分

16	15	14	13	12	11	10	9	8	7	6	5	4	3	2	1
/	/	/	/	/	/	/	/	/	/	/	/	/	/	/	/
/	/	/	/	/	/	/	/	/	/	/	/	/	/	/	/

黄色

備考

63年7月19日21時00分

16	15	14	13	12	11	10	9	8	7	6	5	4	3	2	1
/	/	/	/	/	/	/	/	/	/	/	/	/	/	/	/
/	/	/	/	/	/	/	/	/	/	/	/	/	/	/	/

かすい黄色

備考

63年7月19日 時 分

16	15	14	13	12	11	10	9	8	7	6	5	4	3	2	1
/	/	/	/	/	/	/	/	/	/	/	/	/	/	/	/
/	/	/	/	/	/	/	/	/	/	/	/	/	/	/	/

<マル2>

うす黄色

備考

85811

63年7月19日23時10分

備考

16	15	14	13	12	11	10	9	8	7	6	5	4	3	2	1
/	/	/	/	/	/	/	/	88800200000	/000	80000000000000000000	/000	/000	/000	/000	/000
/	/	/	/	/	/	/	/	/	/	/	/	/	/	/	/

うす

うす

63年7月20日6時10分

16	15	14	13	12	11	10	9	8	7	6	5	4	3	2	1
/	/	/	/	/	/	/	/	/	/	/	/	/	/	/	/
/	/	/	/	/	/	/	/	/	/	/	/	/	/	/	/

うす 黄

備考

全体的に少
エラ音

図4-6-9 ミキサ・セトラ界面観察記録 No.7

(抽出第一工程 MS-1206 の監視)

全体的レタルラン

63年7月20日10時27分

備考

16	15	14	13	12	11	10	9	8	7	6	5	4	3	2	1

薄黄色 黄色

年 月 日 時 分

備考

16	15	14	13	12	11	10	9	8	7	6	5	4	3	2	1
-	-	-	-	-	-	-	-	-	-	-	-	-	-	-	-
-	-	-	-	-	-	-	-	-	-	-	-	-	-	-	-

年 月 日 時 分

備考

16	15	14	13	12	11	10	9	8	7	6	5	4	3	2	1
-	-	-	-	-	-	-	-	-	-	-	-	-	-	-	-
-	-	-	-	-	-	-	-	-	-	-	-	-	-	-	-

年 月 日 時 分

備考

16	15	14	13	12	11	10	9	8	7	6	5	4	3	2	1
-	-	-	-	-	-	-	-	-	-	-	-	-	-	-	-
-	-	-	-	-	-	-	-	-	-	-	-	-	-	-	-

年 月 日 時 分

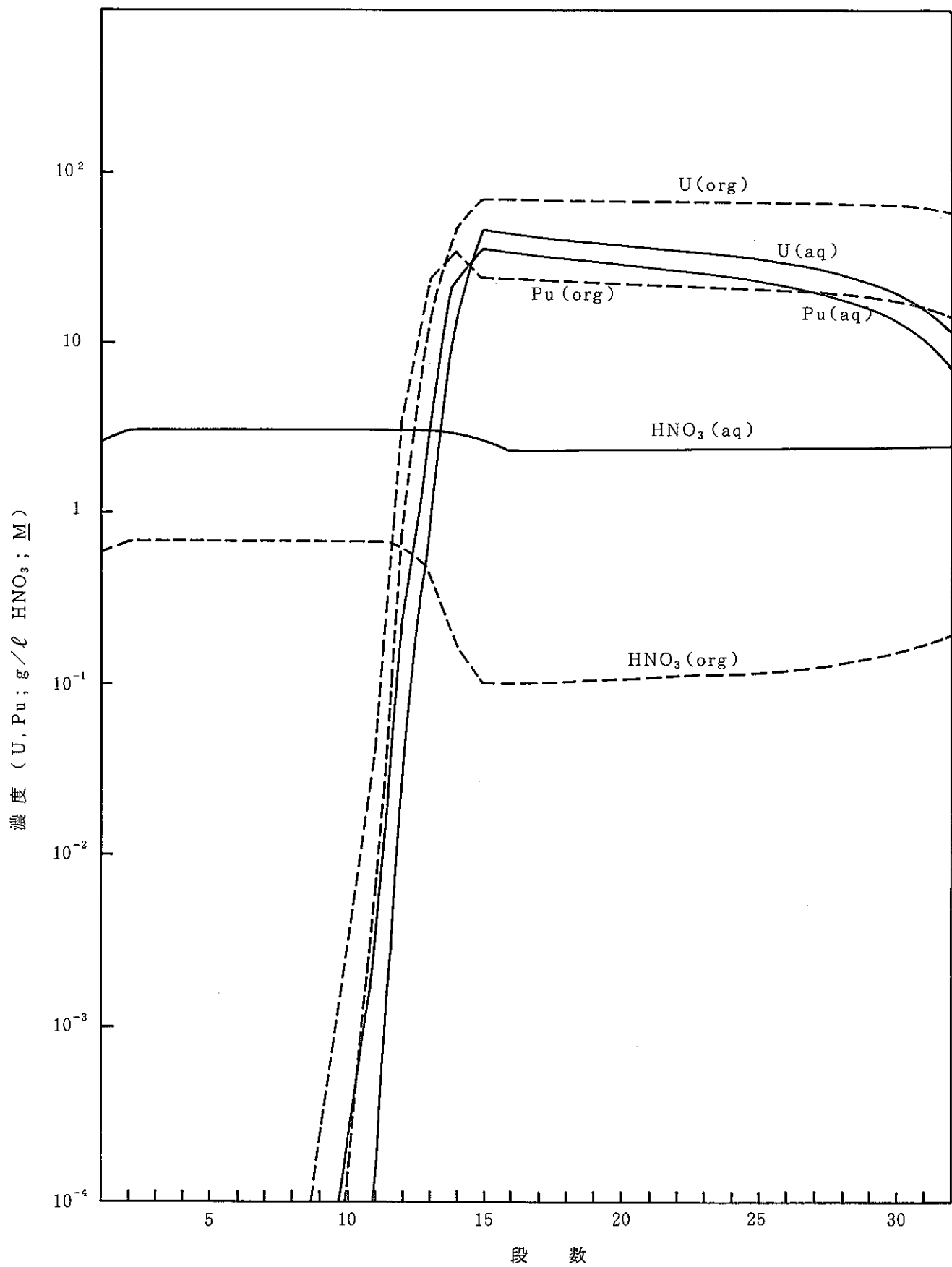
備考

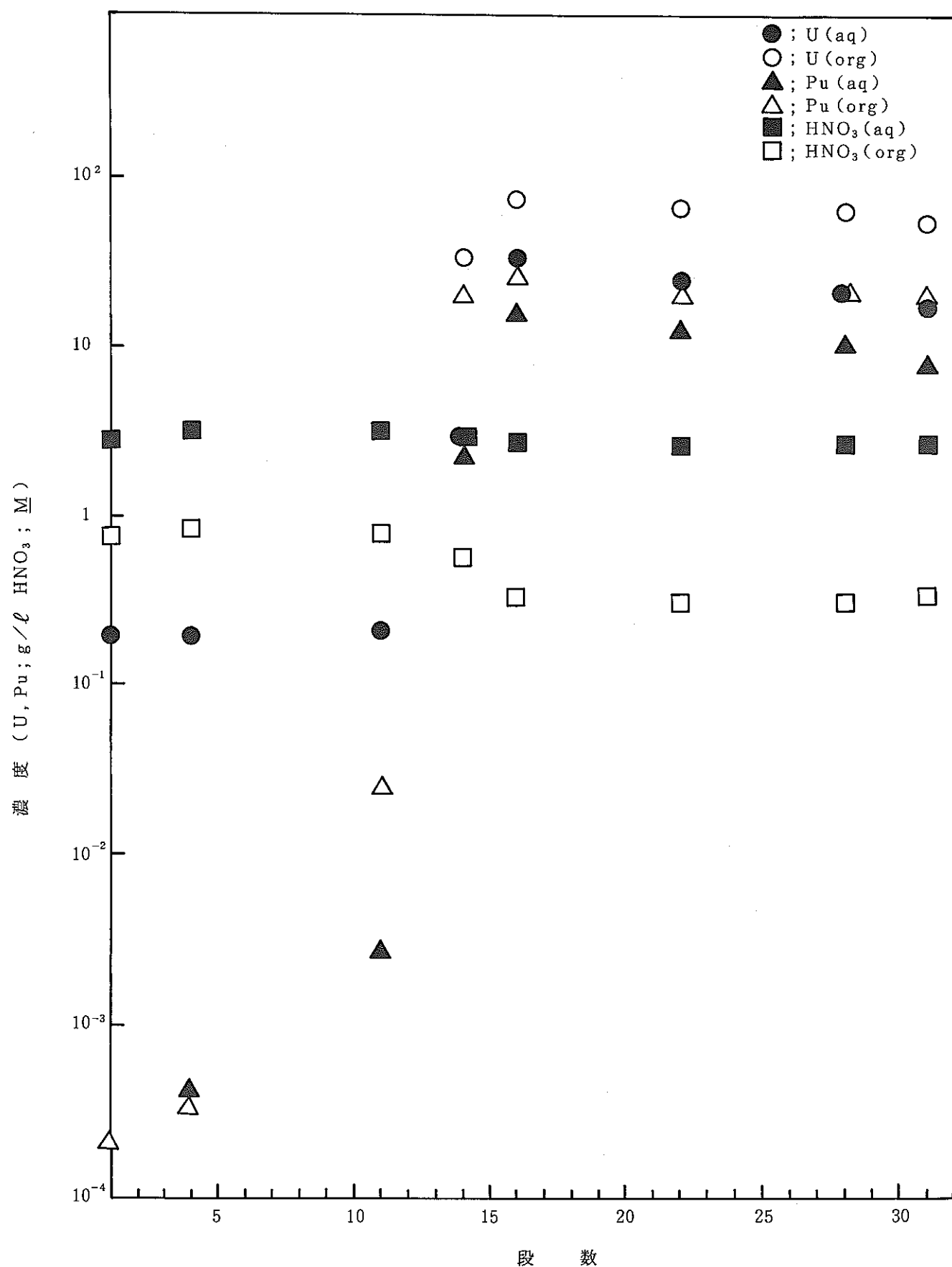
16	15	14	13	12	11	10	9	8	7	6	5	4	3	2	1
-	-	-	-	-	-	-	-	-	-	-	-	-	-	-	-
-	-	-	-	-	-	-	-	-	-	-	-	-	-	-	-

表4-6-4 分析結果一覧表

第12RUN 抽出工程

サンプル 名称	湿式分析 (g/ℓ, H ⁺ : mol/ℓ)								放射能分析 (mci/ℓ)										その他		備 考	
	U	Pu	PuIII	PuVI	H ⁺	HAN	HDZ		Zr ⁹⁵	Nb ⁹⁵	Ru ¹⁰³	Ru ¹⁰⁶	Sb ¹²⁵	Cs ¹³⁴	Cs ¹³⁷	Ce ¹⁴⁴	Pr ¹⁴⁴	Eu ¹⁵⁴	Eu ¹⁵⁵	Total γ	Np	
4F01-12	28.8	<0.05m			0.05				—	—	—	7.7 ×10 ⁻³	—	—	2.6 ×10 ⁻³	—	—	—	—	1.1 ×10 ⁻²		αβγ
5F01-12	3.33	14.6			1.16				—	—	—	1.7 ×10 ⁻²	—	—	1.4 ×10 ⁻²	—	—	—	—	3.2 ×10 ⁻²	7.3 ×10 ⁻³	αβγ
VE-1250-12	0.05	0.94m			3.26				—	—	—	1.6 ×10 ²	1.9 ×10 ²	7.5 ×10 ²	6.4 ×10 ³	9.2 ×10 ²	9.2 ×10 ²	2.0 ×10 ²	4.4 ×10 ²	1.0 ×10 ⁴		
VE-1215-12	<0.03	0.3m			0.01																	
プロット記号	●Aq	▲Aq			■Aq				○	○	□	△	⊗	■	□	▲	▲	●	■	●		

図 4-6-11 共除染工程濃度プロファイル ($89 \text{ g}/\ell$) [$\text{U}, \text{Pu}, \text{HNO}_3$] MIXSET 値

図 4-6-12 共除染工程濃度プロフィール (89 g/ℓ) [U, Pu, HNO₃] 分析結果

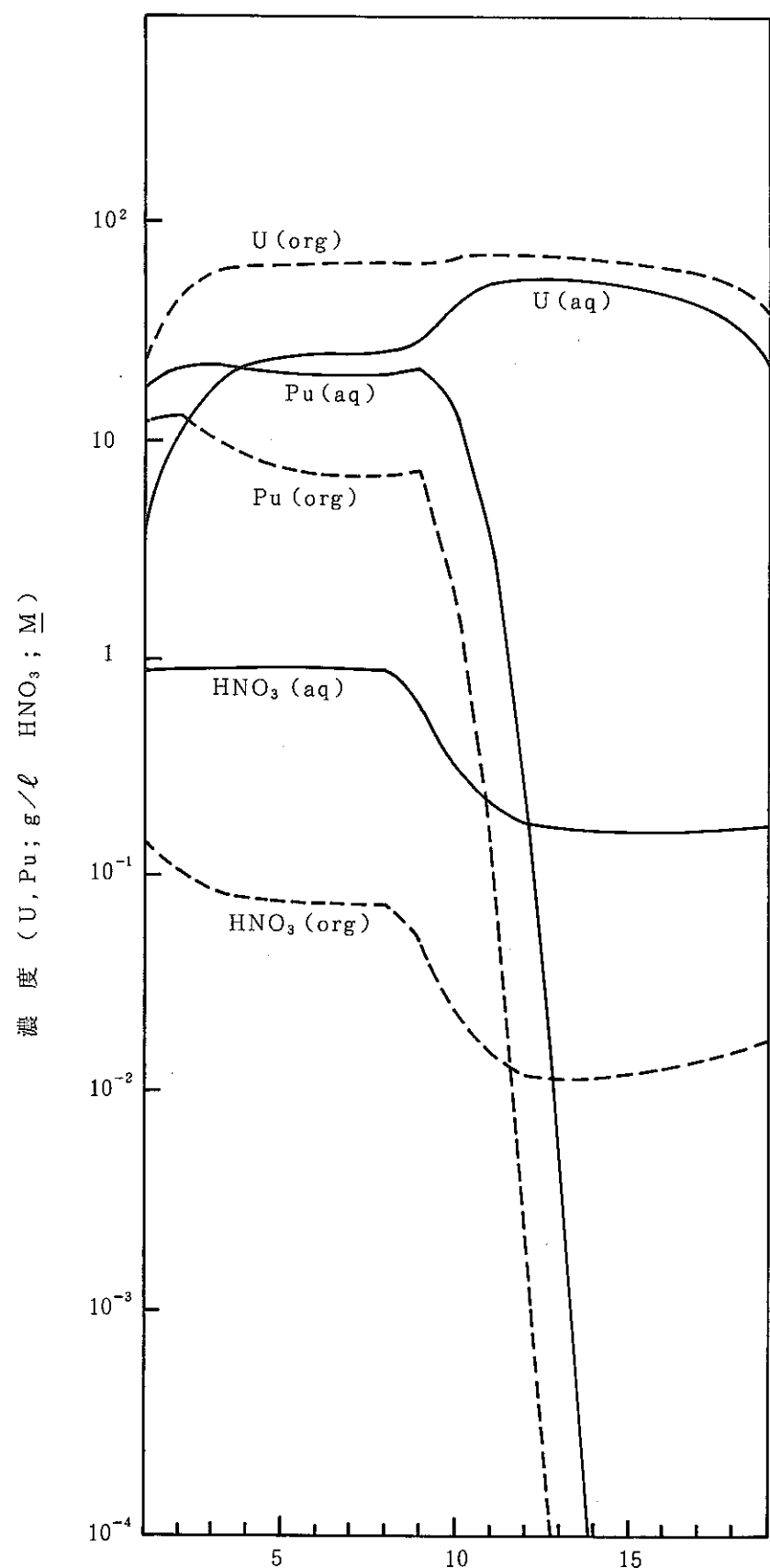


図 4-6-13 分配工程濃度プロフィール [U, Pu, HNO₃] MIXSET 値

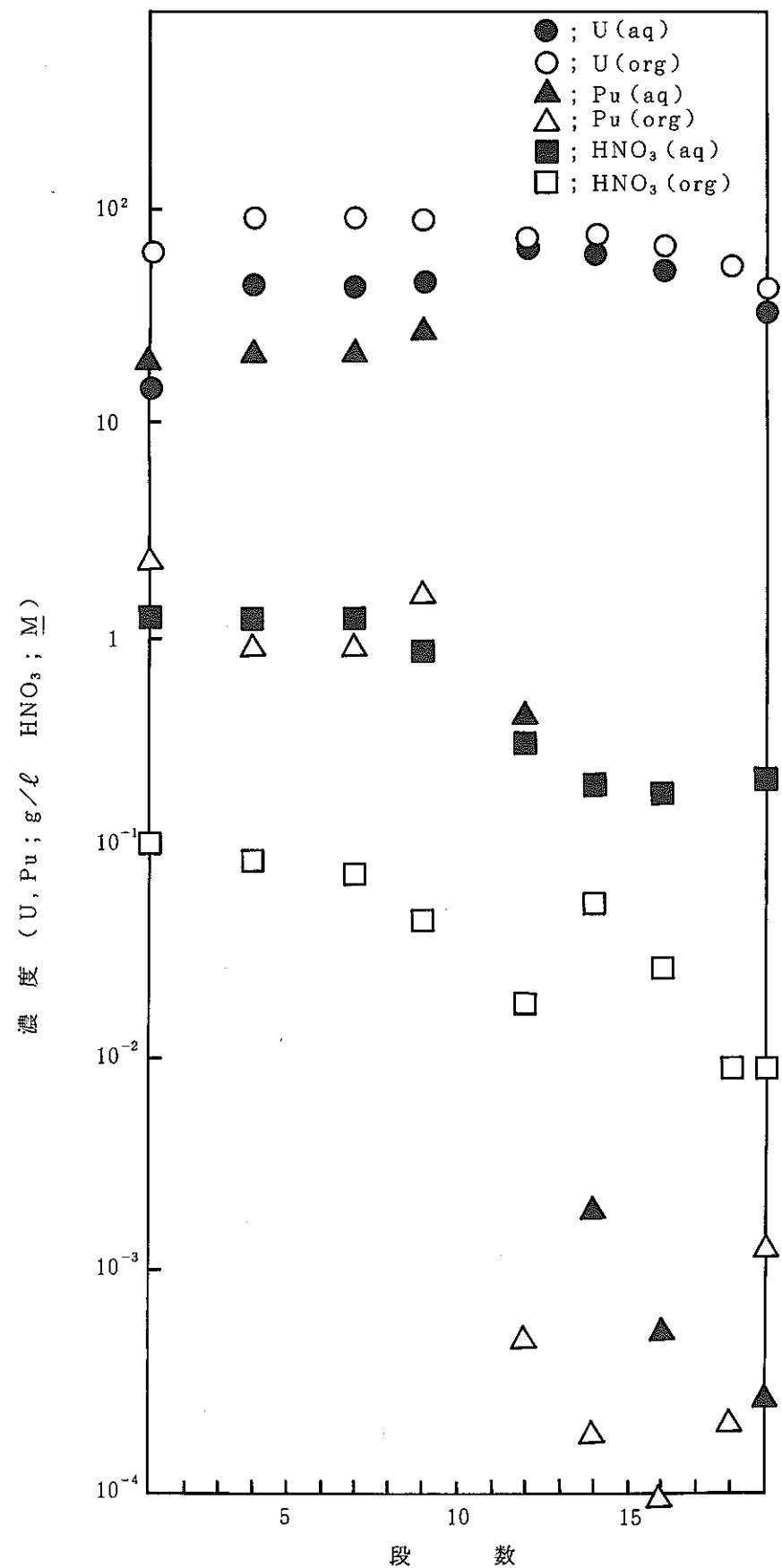
図4-6-14 分配工程濃度プロフィール [U, Pu, HNO₃] 分析結果

表 4-6-5 飽和度の違いによるDF

飽和度	元 素	1AP濃度 (mCi/ℓ)	除染係数 (DF)
59.2 % (77 g/ℓ)	¹⁰⁶ Ru	9.9 × 10 ⁻³	4.7 × 10 ⁴
	¹³⁷ Cs	1.8 × 10 ⁻³	7.7 × 10 ⁶
	Total γ	1.3 × 10 ⁻²	1.7 × 10 ⁶
68.5 % (89 g/ℓ)	¹⁰⁶ Ru	7.3 × 10 ⁻³	6.8 × 10 ⁴
	¹³⁷ Cs	2.4 × 10 ⁻³	6.2 × 10 ⁶
	Total γ	1.1 × 10 ⁻²	2.1 × 10 ⁶

$$(U+Pu) \text{ Feed} = 100.5 \text{ g/ℓ}$$

$$(U+Pu) \text{ 1AP (77 g/ℓ)} = 82.1 \text{ g/ℓ}$$

$$(U+Pu) \text{ 1AP (89 g/ℓ)} = 87.3 \text{ g/ℓ}$$

$$DF = \frac{(FP) \text{ Feed} / (U+Pu) \text{ Feed}}{(FP) \text{ 1AP} / (U+Pu) \text{ 1AP}}$$

表 4 - 6 - 6 鮫和度の違いによる U, P u のロス率

鮫和度		U	P u
59.2% (77 g/l)	1 AW	0.35 %	0.01 %
	1 BW	< 0.06 %	< 0.0004 %
68.5% (89 g/l)	1 AW	0.49 %	0.02 %
	1 BW	< 0.06 %	< 0.0004 %

$$\text{ロス率 (1 AW)} = \frac{(U + P_u)_{1 AW} \times \text{流量}}{(U + P_u)_{\text{Feed}} \times \text{流量}}$$

$$\text{ロス率 (1 BW)} = \frac{(U + P_u)_{1 BW} \times \text{流量}}{(U + P_u)_{\text{Feed}} \times \text{流量}}$$

表4-6-7 HAN単独によるDFU, DFPu

Puプロダクト中の U濃度 (g/l)	DFU	Uプロダクト中の Pu濃度 (g/l)	DFPu
12.3	6.0	<0.05×10 ⁻³	>2.4×10 ⁵

$$DFU = \frac{(Pu)_{1CPu} / (U)_{1CPu}}{(Pu)_{1AP} / (U)_{1AP}}$$

$$DFPu = \frac{(U)_{1Bu} / (Pu)_{1Bu}}{(U)_{1AP} / (Pu)_{1AP}}$$

表 4-6-8 Np の挙動
(Np - 237)

	濃度 ($\mu Ci/m\ell$)	流量 ($m\ell/h$)	濃度×流量 ($\mu Ci/h$)	割合 (%)
Feed	2.0×10^{-2}	148.25	2.965	100
1 AW	6.8×10^{-3}	203.57	1.384	46.7
1 CPu	3.3×10^{-3}	126.72	0.418	14.1
1 BU	$< 2 \times 10^{-4}$	256.74	< 0.05	< 1.7
1 BW	分析せず	—	—	—

※ 陰イオン交換・TTA-キシレン分離 α 波高測定法

溶液中の Np の分離法としては、陰イオン交換・TTA-キシレン抽出法により Np を分離後、 α スペクトル分析法において Np - 237 (4.78 MeV) の測定を行っている。

表 4-6-9

244 Cm の挙動

	濃度 (mCi/l)	流量 (ml/h)	濃度×流量 (mCi/h)	割合 (%)
Feed	1.2 × 10 ²	148.25	1.8 × 10 ⁴	100
1 AW	8.5 × 10	203.57	1.7 × 10 ⁴	94.4
1 CPu	< 1	126.72	< 1.3 × 10 ²	< 0.7
1 BU	< 1 × 10 ⁻⁵	256.74	< 2.6 × 10 ⁻³	< 1.4 × 10 ⁻⁵
1 BW	分析せず	—	—	—

242 Cm の挙動

	濃度 (mCi/l)	流量 (ml/h)	濃度×流量 (mCi/h)	割合 (%)
Feed	9.3 × 10	148.25	1.4 × 10 ⁴	100
1 AW	8.0 × 10	203.57	1.6 × 10 ⁴	114
1 CPu	< 1	126.72	< 1.3 × 10 ²	< 0.9
1 BU	< 1 × 10 ⁻⁵	256.74	< 2.6 × 10 ⁻³	< 1.9 × 10 ⁻⁵
1 BW	分析せず	—	—	—

238 Pu + 241 Am の挙動

	濃度 (mCi/l)	流量 (ml/h)	濃度×流量 (mCi/h)	割合 (%)
Feed	1.8 × 10 ³	148.25	2.7 × 10 ⁵	100
1 AW	1.1 × 10 ³	203.57	2.2 × 10 ⁵	83.9
1 CPu	1.0 × 10 ³	126.72	1.3 × 10 ⁵	47.5
1 BU	< 1 × 10 ⁻⁵	256.74	< 2.6 × 10 ⁻³	< 9.6 × 10 ⁻⁷
1 BW	分析せず	—	—	—

表 4-6-10 ^3H の挙動

	濃度 ($\mu\text{Ci}/\text{ml}$)	流量 (ml/h)	濃度×流量 ($\mu\text{Ci}/\text{h}$)	割合 (%)
Feed	7.9×10^{-1}	148.25	117.1	100
1 AW	5.5×10^{-1}	203.57	112.0	95.6
1 CPu	分析せず	—	—	<0.3
1 BU	$<1 \times 10^{-3}$	256.74	<0.3	
1 BW	分析せず	—	—	—

※ ORIGIN値 1.14 Ciと比較して、Feed液中の ^3H 濃度は
約0.25%である。

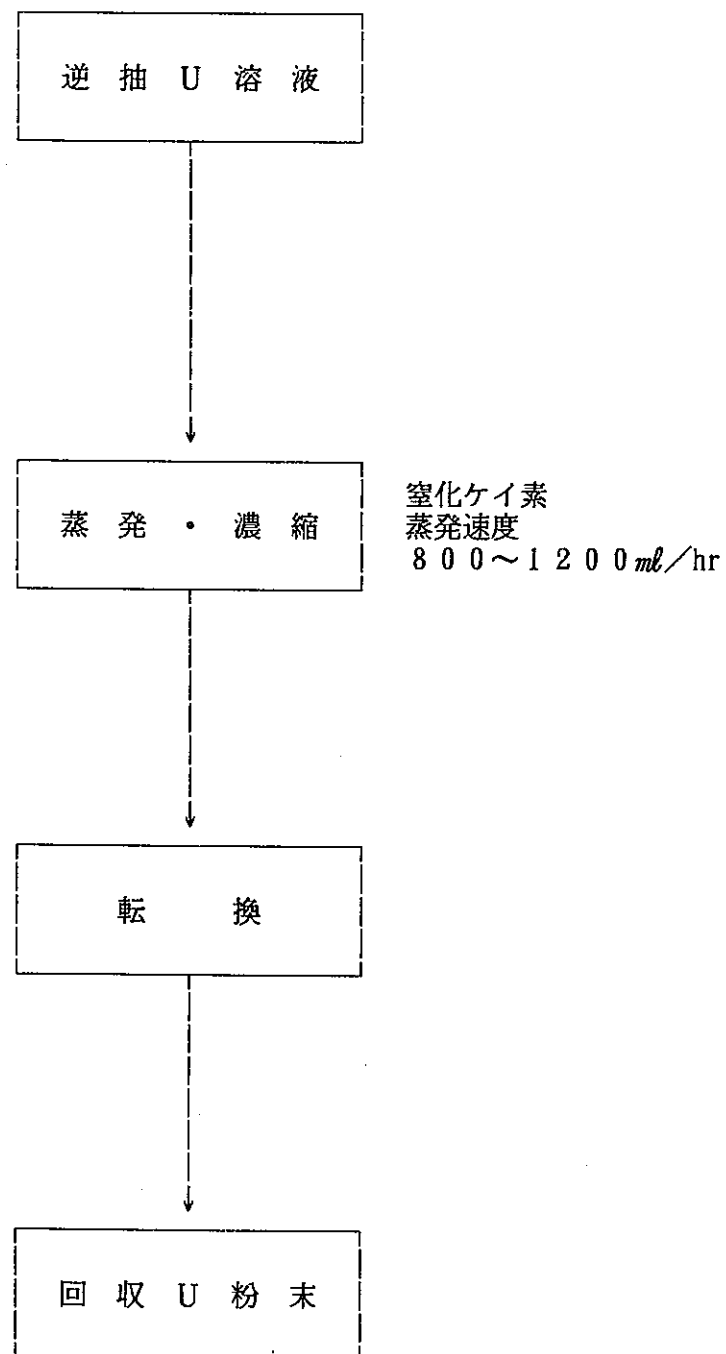


図 4-7-1 転換工程試験フロー

Test at conversion process

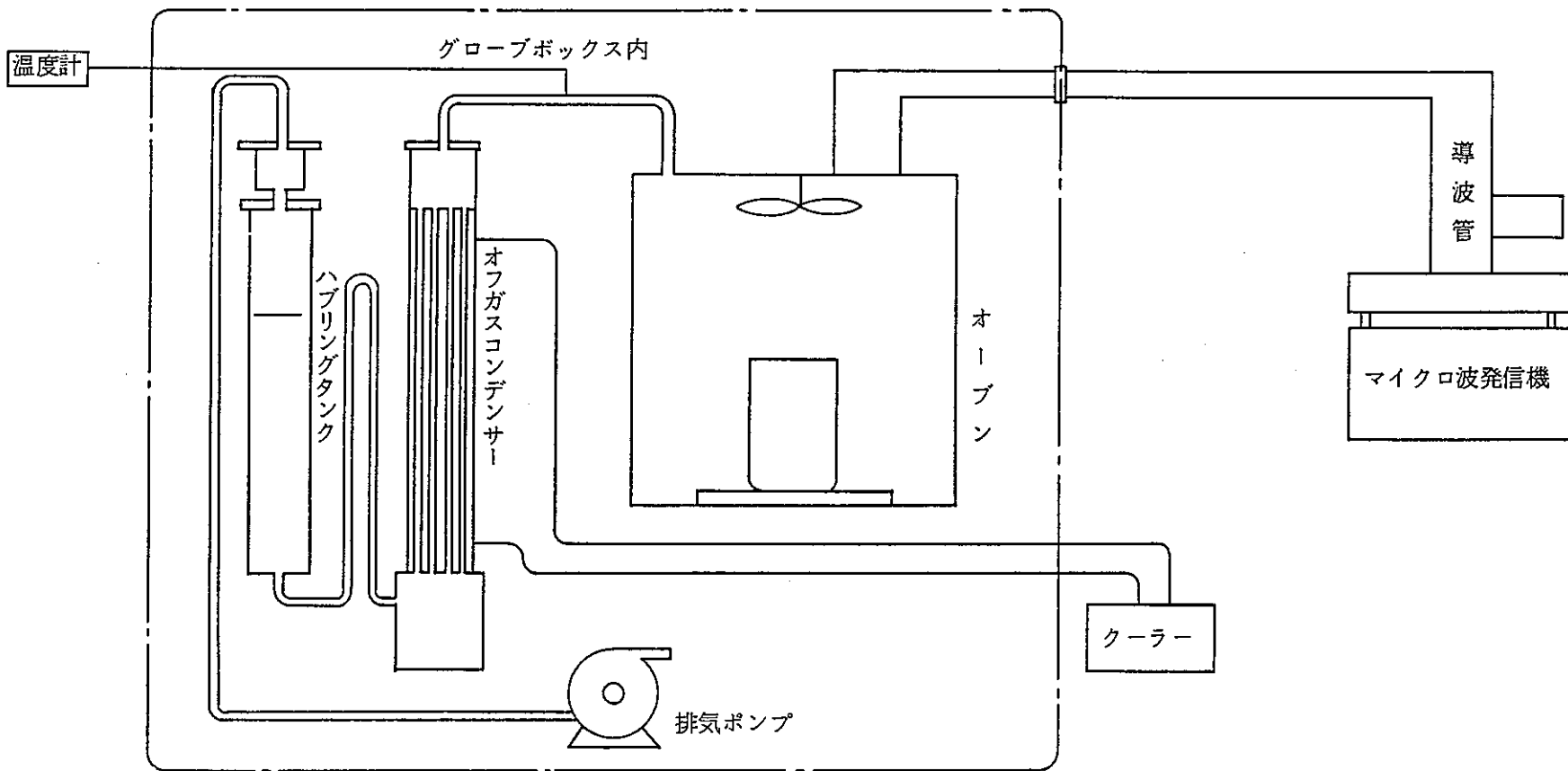


図 4-7-2 転換工程マイクロ波加熱システム

Microwave heating system at conversion
process

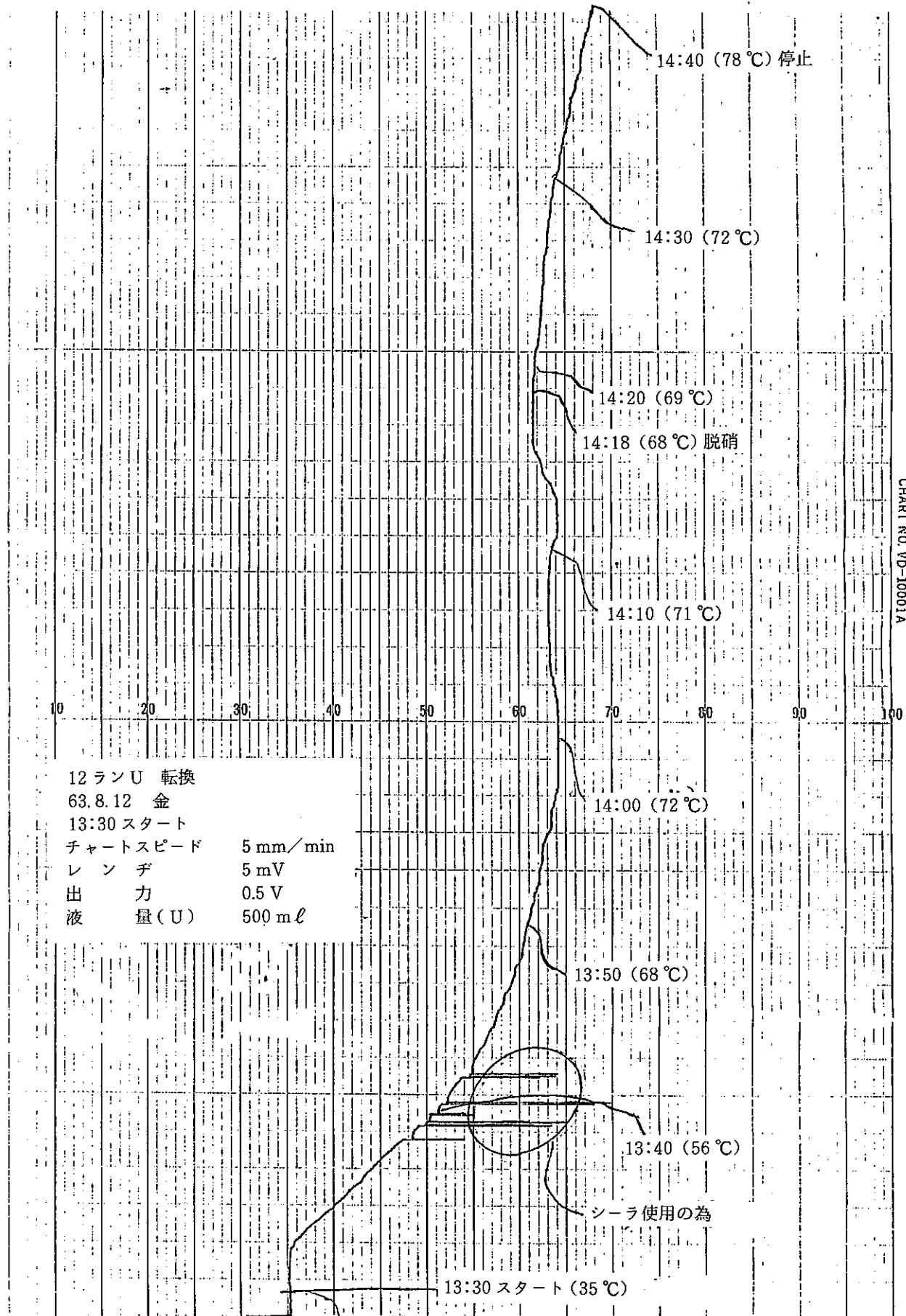


図 4-7-3 U 液転換中のオフガス温度変化

表 4-7-1 運転記録 vol. 1

Monitoring of Uranium conversion
ウラン転換 (濃縮, 脱硝, 転換)

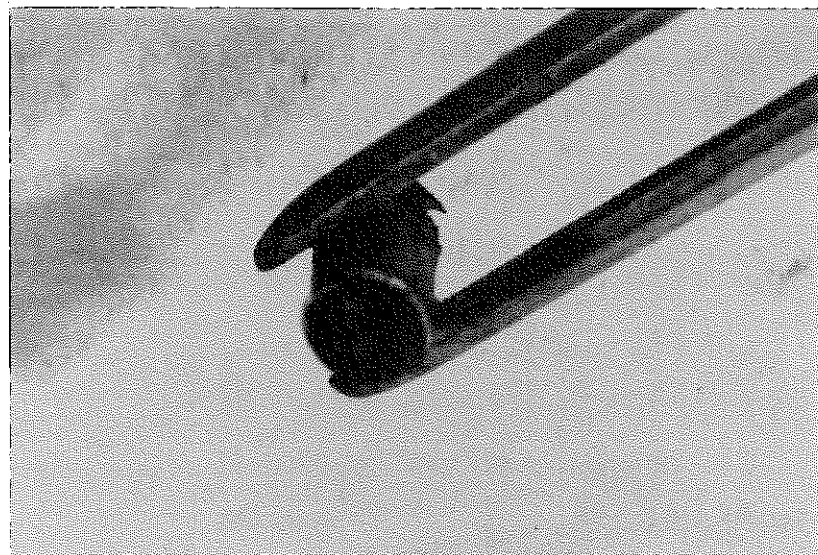
マイクロ波発振管印加電圧 0.5 V 窒化ケイ素

月 日	時 間	液 量 (mℓ)		蒸発量 (mℓ)	蒸発速度 (mℓ/hr)	total 蒸発量 (mℓ)	備 考
		加熱前	加熱後				
8 / 9 火	11 : 17 ~ 11 : 47	2300	1900	400	800	400	0.5 V 30 min
"	13 : 26 ~ 15 : 26	2600	200	2400	1200	2800	0.5 V 120 min
"	15 : 34 ~ 16 : 34	2000	900	1100	1100	3900	0.5 V 60 min
8 / 10 水	9 : 38 ~ 11 : 38	3000	1100	1900	950	5800	0.5 V 120 min
"	13 : 30 ~ 15 : 30	3000	1200	1800	900	7600	0.5 V 120 min
"	15 : 35 ~ 16 : 35	3000	2000	1000	1000	8600	0.5 V 60 min
8 / 11 木	9 : 50 ~ 11 : 20	3000	1500	1500	1000	10100	0.5 V 90 min
"	13 : 35 ~ 15 : 35	3000	1300	1700	850	11800	0.5 V 120 min
"	15 : 40 ~ 16 : 40	2000	900	1100	1100	12900	0.5 V 60 min
8 / 12 金	9 : 30 ~ 11 : 00	2200	1000	1200	800	14100	0.5 V 90 min
"	11 : 00 ~ 11 : 30	1000	500	500	1000	14600	0.5 V 30 min
TOTAL 運転時間 14時間30分		回収ウラン重量 容器重量 + 粉末 容器重量 粉末					

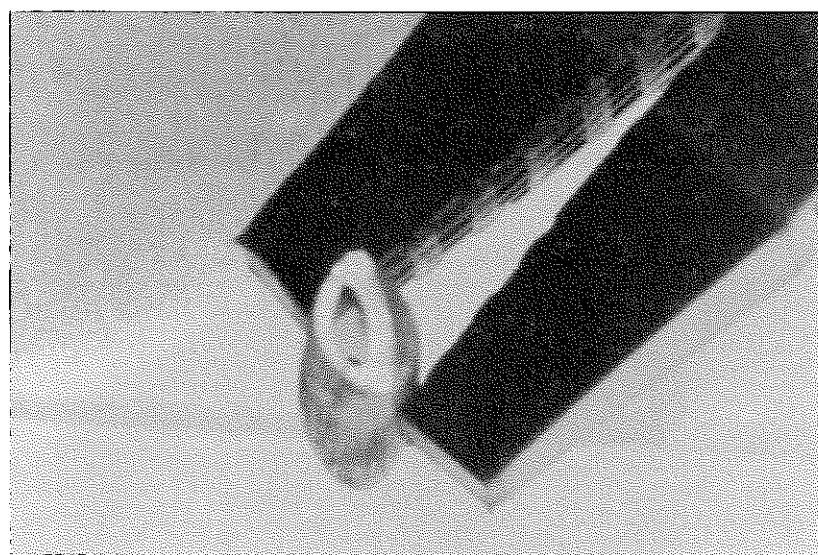
表 4-7-2 運転記録 vol. 2

Monitoring of Uranium conversion ウラン転換（濃縮、脱硝、転換）

マイクロ波発振管印加電圧 0.5 V 窒化ケイ素



(燃料部剪断片)



(プレナム部剪断片)

写真4-1 剪 断 片